

S T U D I A F O R E S T A L I A S U E C I C A

Nr 19

1964

---

Studier över klimatet i Norrland,  
Dalarna och Värmland

*Studies of the Climate in North and  
Central Sweden*

av

B E N G T H : S O N A G E R

MED TVÅ PLANSCHER

---

SKOGSHÖGSKOLAN

STOCKHOLM

ESSELTE AB, STHLM 64  
412724

## INNEHÅLLSFÖRTECKNING

### List of contents

	Sida Page
Beteckningar .....	8
Symbols .....	9
Förord .....	9
Preface .....	9
Kap. 1 Inledning.....	11
Introduction .....	11
Kap. 2 Temperatur.....	14
Temperature .....	14
Kap. 3 Nederbörd.....	31
Precipitation .....	31
Kap. 4 Vind.....	33
Wind .....	33
4.1 Vindstyrka.....	33
Wind velocity .....	33
4.2 Vindriktning.....	37
Wind direction .....	37
Kap. 5 Snötäcke.....	38
Snow cover .....	38
5.1 Material.....	38
Material .....	38
5.2 Snödjup vid olika tidpunkter .....	40
Snow depth at various dates .....	40
5.2.1 Snödjup vid SMHI-stationer .....	40
Snow depth at SMHI stations .....	40
5.2.2 Jämförelse av snödjup vid SMHI:s stationer och på skogstrakter .....	40
Comparison of snow depths at SMHI stations and at forest tracts .....	40
5.2.3 Snödjup i skogsområden.....	42
Snow depth in forest areas .....	42
5.2.4 Variation i snödjup från år till år.....	48
Variation of snow depth between years .....	48
5.2.5 Årligt maximisnödjup.....	50
Annual maximum snow depth .....	50
5.3 Varaktigheten av olika snödjup .....	55
Duration of various snow depths .....	55
5.4 Snödjupets förändring med höjdläget .....	62
The dependence of snow depth on altitude .....	62
5.5 Snödjupets förändring under perioden 1931/32—1958/59....	65
Trends during the period of 1931/32—1958/59 .....	65
5.6 Snöns konsistens.....	66
Snow texture .....	66
Kap. 6 Tillämpningsexempel.....	70
Examples of application .....	70
Referenser .....	76
References .....	76
Bilagor .....	77
Appendices .....	77
Summary in English .....	103
Planscher .....	103
Plates .....	103

FÖRTECKNING ÖVER FIGURER, TABELLER OCH PLANSCHER  
List of figures and tables

<i>Temperatur. Temperature</i>	Sida Page
Fig. 2: 1 I utredningen använda stationer med temperaturobservationer ..... Stations submitting temperature measurements used in the investigation	15
Fig. 2: 2 Medelantal dygn (procent) per månad med temperatur understigande olika värden. November—april 1929/30—1958/59 för dygnets maximili- resp. minimitemperatur ..... Monthly relative frequencies of days with temperature below certain values. Mean values November—April 1929/30—1958/59 for daily maximum and minimum temperatures	16
Fig. 2: 3 Standardavvikelsen som funktion av medelantalet dygn per månad med temperatur över- eller understigande olika värden Relationship between standard deviation and monthly mean number of days with temperature above or below various limits	23
Fig. 2: 4 a Medelantal dygn under november—april med maximitemperatur lika med och lägre än — 10,0° C ..... Mean number of days with maximum temperature equal and less than — 10,0° C during November—April	25
Fig. 2: 4 b Medelantal dygn under november—april med maximitemperatur lika med och lägre än — 20,0° C ..... Mean number of days with maximum temperature equal and less than — 20,0° C during November—April	26
Fig. 2: 4 c Medelantal dygn under november—april med minimitemperatur lika med och lägre än — 10,0° C ..... Mean number of days with minimum temperature equal and less than — 10,0° C during November—April	27
Fig. 2: 4 d Medelantal dygn under november—april med minimitemperatur lika med och lägre än — 20,0° C ..... Mean number of days with minimum temperature equal and less than — 20,0° C during November—April	28
Fig. 2: 5 Frekvensen av år med minst en (1) period av minst $n$ dagar per månad med temperaturer lika med och lägre än — 10,0° C resp. — 20,0° C som funktion av medelantalet dygn per månad med motsvarande temperaturer ..... Frequency of years with at least one (1) period of minimum $n$ days with temperature equal and less than — 10,0° C and — 20,0° C respectively in relation to the monthly mean number of days with corresponding temperature values	29
Tab. 2: 1 Förteckning över använda temperaturstationer samt uppgift om de år och månader för vilka data erhållits genom interpolering. Bilaga 1 ..... List of temperature stations and information on the years and months when data have been obtained by interpolation. Appendix 1	77

	Sida Page
Tab. 2: 2 Antal dygn per vinter (november—april) — medeltal ( $\bar{x}$ ) och variationsvidd ( $R$ ) — med dygnets maximi- resp. minimitemperatur understigande olika gränser.....	24
Number of days per winter (November—April)—average ( $\bar{x}$ ) and range ( $R$ )—with daily maximum and minimum temperature respectively below certain critical values	
Tab. 2: 3 Temperaturklimatets förändring under 30-årsperioden 1929/30—1958/59.....	30
Change of temperature climate during the 30-yearperiod 1929/30—1958/59	
<i>Nederbörd. Precipitation</i>	
Fig. 3: 1 Frekvensen av år med olika månatlig nederbördsmängd vid olika månadsmittelnederbörd.....	31
Frequency of years with various amounts of monthly precipitation at different mean monthly precipitation	
Tab. 3: 1 Medelnederbörd månadsvis 1931—60 för 205 stationer i Norrland, Dalarna och Värmland. Bilaga 2.....	78
Mean monthly precipitation 1931—60 for 205 stations in Norrland, Dalarna and Värmland. Appendix 2	
<i>Vind. Wind</i>	
Tab. 4: 1 Samband mellan vindstyrka (Beauforts vindskala), vindhastighet och vindens verkaningar .....	34
Relationship between winds (Beaufort scale), wind velocity and effect of the wind	
Tab. 4: 2 Vindstyrkefrekvenser 1931—60; Medeltal för hela året ( $\bar{x}$ ) samt för månad med högsta (max) resp. lägsta (min) 30-års medeltal.....	35
Frequencies of winds in 1931—60; Mean values for the whole year and for month with highest (max) and lowest (min) 30 year average	
Tab. 4: 3 Genomsnittliga vindriktningsfrekvenser 1931—60, hela året	36
Average frequencies of various wind directions 1931—60, whole year	
<i>Snötäcke. Snow cover</i>	
Fig. 5: 1 Frekvensen av år med snödjup överstigande olika värden vid olika tidpunkter under vintern; 79 SMHI-stationer perioden 1931/32—1958/59. Bilaga 4 .....	89
Frequency of years with snow depth exceeding various values at various dates in winter; 79 SMHI stations 1931/32—1958/59. Appendix 4	
Fig. 5: 2 a Medelsnödjup 15 december (1931—1958).....	43
Mean snow depth on December 15th (1931—1958)	
Fig. 5: 2 b Medelsnödjup 31 januari (1932—1959).....	44
Mean snow depth on January 31st (1932—1959)	
Fig. 5: 2 c Medelsnödjup 28 februari (1931—1959).....	45
Mean snow depth on February 28th (1932—1959)	
Fig. 5: 2 d Medelsnödjup 31 mars (1932—1959).....	46
Mean snow depth on March 31st (1932—1959)	
Fig. 5: 2 e Medelsnödjup 15 april (1932—1959).....	47
Mean snow depth on April 15th (1932—1959)	

	Sida Page
Fig. 5: 3 Regionindelning lämplig för bedömning av frekvensen av olika snödjup vid olika tidpunkter enl. fig. 5: 4.....	48
Fig. 5: 4 Frekvensen av år med snödjup större än 10, 30, 50, 70 och 90 cm vid olika tidpunkter under vintern för olika medelsnödjup den 28/2.....	49
Frequency of years with snow depth exceeding 10 cm, 30 cm, 50 cm, 70 cm and 90 cm at various dates in winter for different mean snow depths on February 28th.	
Fig. 5: 5 a Högsta värde av årliga maximisnödjup 1931/32—1958/59 ... Highest value of annual maximum snow depths 1931/32—1958/59	52
Fig. 5: 5 b Medeltal av årliga maximisnödjup 1931/32—1958/59.....	53
Average annual maximum snow depth 1931/32—1958/59	
Fig. 5: 5 c Lägsta värde av årliga maximisnödjup 1931/32—1958/59....	54
Lowest value of annual maximum snow depths 1931/32—1958/59	
Fig. 5: 6 Medeltidpunkten för det årliga maximisnödjupet 1931/32—1958/59 .....	55
Average date of annual maximum snow depth 1931/32—1958/59	
Fig. 5: 7 Regionindelning använd vid analys av varaktigheten av olika snödjup .....	59
Regional division used at the analysis of the duration of various snow depths	
Fig. 5: 8 Medelantal dagar per år med snödjup överstigande 10, 30, 50, 70 och 90 cm som funktion av medelsnödjupet 28/2. Bilaga 6 .	101
Mean annual number of days with snow depth above 10 cm, 30 cm, 50 cm, 70 cm and 90 cm in relation to the mean snow depth on February 28th. Appendix 6	
Fig. 5: 9 Medelantal dagar per år med snödjup större än 100 resp. 120 cm som funktion av medelantalet dagar med snödjup större än 90 cm.....	60
Mean annual number of days with snow depth exceeding 100 cm and 120 cm resp. in relation to the mean annual number of days with snow depth exceeding 90 cm	
Fig. 5: 10 Närmevärden för variationskoefficienten vid olika medelantal dagar per år med snödjup överstigande olika värden.....	61
Approximate values for the coefficient of variation at various mean annual numbers of days with snow depth above various values	
Fig. 5: 11 Kvoten mellan maximalt antal dygn och medelantalet dygn per vinter med snödjup överstigande olika värden som funktion av medelantalet dygn 1931/32—1958/59.....	62
Ratio between maximum number of days and mean annual number of days with snow depth above various values in relation to the mean number of days; period 1931/32—1958/59	
Fig. 5: 12 Regionindelning vid studium av sambandet mellan snödjup och höjdläge.....	63
Regional division applied at a study of the relationship between snow depth and altitude	
Fig. 5: 13 Relativa snödjupet 28 februari som funktion av höjdläget....	64
Relative snow depth on February 28th in relation to altitude	
Fig. 5: 14 Fördelningen för olika snökonsistens månadsvis .....	67
Regional distribution of various snow textures by months	

	Sida Page
Tab. 5: 1 Landarealens procentuella fördelning på ägoslag för vissa län exkl. fjällskog och fjällmark . . . . .	39
Distribution of land area by categories for certain provinces excl. mountain forests and bare mountains	
Tab. 5: 2 Snödjupen vid olika tidpunkter samt årligt maximidjup i Norrland, Dalarna och Värmland; 79 SMHI-stationer perioden 1931/32—1958/59. Bilaga 3 . . . . .	83
Snow depth at various dates and maximum annual depth in Norrland and the provinces of Dalarna and Värmland; 79 SMHI stations during the period of 1931/32—1958/59. Appendix 3	
Tab. 5: 3 Antal skogstrakter vid olika tidpunkter med observationer över snödjupet (Norrland och Dalarna) . . . . .	41
Number of forest tracts with observations of snow depth at various dates (Norrlan and Dalarna)	
Tab. 5: 4 Jämförelse av snödjup vid SMHI:s stationer och vid skogstrakterna. Bilaga 5 . . . . .	99
Comparison of snow depth at SMHI stations and at forest tracts. Appendix 5	
Tab. 5: 5 Medelantal dagar per år med snödjup överstigande olika gränser samt variationskoefficient; verkligt och beräknat antal Mean annual number of days with snow depth exceeding various limits and coefficient of variation; real and calculated number	56
Medelantal dagar per år med snödjup överstigande olika värden. 79 SMHI-stationer perioden 1931/32—1958/59 . . . . .	
Mean annual number of days with snow depth exceeding various limits. 79 SMHI stations during the period of 1931/32—1958/59	
Tab. 5: 6 Relativa snödjup för olika höjdlägesklasser och tidpunkter under vintern . . . . .	57
Relative snow depth for various altitudinal classes and for various dates in winter.	
Tab. 5: 7 Undersökning av trend under 28-årsperioden 1931/32—1958/59 . . . . .	64
Investigation of trend during the 28-year-period 1931/32—1958/59	
Tab. 5: 8 Frekvensen av olika snökonstens på skogstrakterna 1946/47—1955/56 . . . . .	65
Frequencies of various snow types at forest tracts 1946/47—1955/56	
Tab. 5: 9	68

Planscher (i ficka på bakre omslaget)

Plates

I A	Läget på de i utredningen använda SMHI-stationerna och skogstrakterna med observationer över snötäcket Location of SMHI stations and forest tracts with snow cover observations used in this investigation
I B	Medelsnödjup 28 februari (1932—1959) Mean snow depth on February 28th (1932—1959)
II A—E	Medelantal dagar per år med snödjup större än 10, 30, 50, 70 och 90 cm. Period 1931/32—1958/59 Mean annual number of days with snow depth exceeding 10, 30, 50, 70 and 90 cm. Period 1931/32—1958/59.

**B E T E C K N I N G A R**  
**S Y M B O L S**

$\bar{x}$	= aritmetiskt medelvärde arithmetic mean
$s$	= standardavvikelse $\sqrt{\frac{\sum (x - \bar{x})^2}{n - 1}}$ standard deviation
$R$	= dffcrensen mellan största och minsta värde difference between highest and lowest value
$V$	= variationskoefficient $\frac{s}{\bar{x}} \cdot 100$ coefficient of variation
$<$	= mindre än less than
$\leq$	= mindre än och lika med less than and equal to
$>$	= större än greater than
$\geq$	= större än och lika med greater than and equal to
$\approx$	= ungefärlig med approximately equal to
SMHI	= Sveriges Meteorologiska och Hydrologiska Institut Swedish Meteorological and Hydrological Institute

## FÖRORD

Föreliggande klimatundersökning påbörjades sommaren 1959 med bidrag från arbetsgivarorganisationerna Föreningen Skogsarbeten samt Värmlands och Västra Bergslagens Arbetsgivareförening (numera sammanslagna till Föreningen Skogsbrukets Arbetsgivare). Såsom Kungl. Skogs- och Lantbruksakademien stipendiat vid institutionen för skogsteknik vid Skogshögskolan kunde författaren från hösten 1959 fortsätta utredningsarbetet som ett led i en undersökning av vissa väg- och avläggsfrågor vintertid.

Preliminära resultat förelåg hösten 1960 och användes bl. a. som underlag vid upprättandet av nya ackordsprislistor för skogsarbeten, varvid man tog större hänsyn till vissa klimatfaktorer (exv. snödjupet) än tidigare.

Stiftelsen Norrlandsfonden anslog hösten 1962 penningmedel för en kartläggning av sådana miljöfaktorer som påverkar valet av mekaniseringsalternativ inom skogsbruket. De resurser, som ställdes till förfogande för klimatstudier, användes dels till en breddning och fördjupning av klimatundersökningen, dels till en kraftig komprimering av resultatredovisningen med syfte att göra resultaten så lättillgängliga som möjligt för praktiskt bruk.

Huvudparten av grundmaterialet har tillhandahållits av klimatbyrån vid Sveriges Meteorologiska och Hydrologiska Institut (SMHI). Som kontaktmän och rådgivare vid materialets urval har fil. dr Bertil Rodhe och byrådirektör Ernest Hovmöller fungerat. Visst grundmaterial, främst uppgifter om snötäcket, har erhållits från de ovan nämnda arbetsgivarorganisationerna.

Huvudparten av bearbetningen har under författarens ledning mycket förtjänstfullt utförts av jägmästare Lars Palos. Arméns Fältarbetsskola har vid flera tillfällen lämnat hjälp vid genomgång av grundmaterial och utfört räknearbeten.

Värdefulla råd beträffande bearbetningen har jag erhållit framförallt från professor Bertil Matérn vid Skogshögskolan och fil. kand. Bertil Eriksson vid SMHI. Kontakten med meteorologiska institutionen vid Uppsala Universitet har även varit betydelsefull. Sålunda har professor em. Tor Bergeron och fil. lic. Tage Andersson, som sedan flera år tillbaka undersöker nederbördsförhållandena i vårt land, bidragit med synpunkter på framställningen av snötäckeskartorna. Jag har vidare haft givande diskussioner med docent Valter Schytt vid Stockholms Universitet.

Manuskriptet har granskats av professor Ulf Sundberg, byrådirektör Ernest Hovmöller, civilingenjör Gunnar Brundell, civiljägmästare Lennart von Bergen och skogsvet. lic. Gustaf von Segebaden, vilka verksamt bidragit till utformningen av föreliggande redovisning.

Den tekniska redigeringen av kartmaterialet har utförts av Kartografiska Institutet genom kartredaktör Olof Hedbom.

Till nämnda institutioner och personer samt övriga som bidragit till detta arbete ber jag få framföra mitt varma tack.

Stockholm i maj 1964

*Bengt Ager*

## Kap. 1. Inledning

Med klimat avser man de genomsnittliga väderleksförhållandena för en längre tidsperiod — vanligtvis flera år eller årtionden — på en viss plats eller inom ett visst område.

Sammanfattande beskrivningar över Sveriges klimat finns bl. a. i »*Atlas över Sverige*» och i Ångströms »*Sveriges klimat*» (1946). Dessa källor jämte opublicerade sammanställningar tillgängliga på Sveriges Meteorologiska och Hydrologiska Institut (SMHI) täcker ett allmänt behov av klimatdata. För de speciella behov som finns inom olika delar av näringslivet måste i många fall kompletterande klimatutredningar genomföras (jfr bl. a. *Fellenius* och *Rengmark* 1959, *Jordbruks-tekniska Institutet* 1955, *Holmström* 1958, *Zetterholm* och *Danielsson* 1958).

Klimatundersökningar med anknytning till skogsbruket har utförts dels över det s. k. beståndsklimatet (jfr bl. a. *Tamm* 1948), som huvudsakligen berör skogens växtbetingelser, dels över sådana klimatförhållanden som har betydelse för virkets avverkning och transport. Studier inom det sistnämnda området har utförts av *Elfman* (1948 och 1957) och *Jonsson* (1956). Jonsson beskriver temperaturen, snötäcket och tjälförhållandena i södra Sverige (söder om Värmland—Dalarna—Gästrikland). Elfman har studerat dels 0°-isotermens förflyttning under höst och vår samt tjälförhållandena i Norrland och Dalarna, dels vissa temperatur- och snödjupsförhållandena i Värmland.

Ändamålet med föreliggande utredning har varit att ytterligare kartlägga sådana klimatförhållanden i Norrland, Dalarna och Värmland, som har betydelse för virkets avverkning och transport. De faktorer som studeras är temperaturen, nederbördens, vinden samt snöns djup och konsistens. Isförhållandena på älvar och insjöar, som även är av påtaglig betydelse, har belysts i tidigare arbeten (*Eriksson* 1920, och *Ager* 1963). Uppgifter över solskenstid och molnighet har publicerats av *Lindholm* (1955).

Grundmaterialet till denna undersökning har huvudsakligen hämtats från SMHI. Vad snötäcket beträffar har uppgifter dessutom erhållits från vissa av skogsbrukets egna organisationer (se nedan). Då klimatförhållandena under vinterhalvåret är särskilt betydelsefulla från skogsteknisk synpunkt, har studierna koncentrerats till denna del av året.

En av huvudfrågorna vid uppläggningen av undersökningen var val av längd och läge på den tidsperiod, för vilken grundmaterialet skulle bearbetas. Huvudsyftet med utredningen har varit att skaffa bästa möjliga underlag för bedömning av framtida klimatförhållanden. Efter beaktande av tillgången till grunddata, kostnaderna för bearbetning, syftet med och värdet av framställd information, säkerheten i resultaten med hänsyn till spridningen etc. beslöt förf. att välja en period som så nära som möjligt anslöt sig till den klimatologiska s. k. standardperioden 1931—60. Dessa 30-åriga standardperioder (1901—30, 31—60 osv.) används för internationella jämförelser av klimatet. För vindstyrka och nederbörd kunde denna period väljas. För temperaturen bearbetades dock perioden 1929/30—1958/59 (30 vintrar) och för snödjupet 1931/32—1958/59 (28 vintrar), emedan dessa avsnitt av undersökningen till största delen utfördes under åren 1959 och 1960. Vad snödjupet angår var dessutom materialet före 1931/32 ej tillgängligt i för bearbetning lämplig form. Avvikelserna är emellertid inte större än att de data över temperatur och snötäcke som lämnas här kan betraktas som representativa även för standardperioden 1931—60 och således användas som »normalvärdet».

De klimatdata som redovisas i detta arbete har i första hand följande tillämpningsområden.

**Vid utformning av metoder och maskiner för virkets avverkning och transport.** Maskintillverkarna behöver underlag för dimensionering, materialval etc. för sina produkter. När man exv. vill dimensionera en traktor för åretrunt drift i Norrland, är kännedom om frekvensen av olika snödjup av väsentlig betydelse. Vidare kan en maskintillverkare, som under en särskilt kall vinter fått in rapporter om skador på en viss detalj, ha nytta av att få reda på hur ofta kritiska temperaturer inträffar på längre sikt och med stöd härav bedöma huruvida en ändring av konstruktionen e. dyl. är nödvändig.

**Vid planläggning av skogsdrivningarna.** Klimatdata kan användas på olika nivåer i planläggningen. Den högsta nivån representeras kanske av ett generellt val gällande hela landet mellan olika typer av avverkningssystem. Det enskilda företaget eller den enskilde virkesdrivaren behöver vidare underlag för val av de metoder och maskintyper, som skall användas under de närmaste åren. Frekvensdata över temperatur, snödjup etc. kan också användas vid den årliga planläggningen av drivningarna. Man kan till exempel bedöma vid vilken tidpunkt man med en viss sannolikhet har snöföre eller när snödjupet når ett kritiskt värde. När man kommer in på den mycket kortsliktiga planläggningen, exv. för den närmaste månaden, har löpande väderleksprognos och personlig erfarenhet med utgångspunkt från rådande väderleksförhållanden större prognosvärde än här redovisade klimatdata.

Redovisningen av arbetet har disponerats på sådant sätt att en detaljerad beskrivning av resultaten, tillvägagångssättet vid bearbetningen, eventuella felkällor etc. lämnas i kapitlen 2–5 för resp. temperatur, nederbörd, vind och snötäcke. Texten i dessa kapitel är framförallt av värde för den specialintresserade. I kapitel 6 ges en översikt samt exempel på materialets användning i olika situationer. Kap. 6 beräknas ge dem som skall utnyttja resultaten för prognoser i skogstekniska sammanhang uttömmande vägledning.

## Kap. 2. Temperatur

**Litteratur.** I »Atlas över Sverige» redovisas i bladen 25 och 26 *månadsmedeltemperaturen* för årets samtliga månader. I samma verk (bladen 27—28) anges vidare frekvensen av dygn *under året* med maximitemperatur lika med och högre än  $+10^\circ$ ,  $+15^\circ$ ,  $+20^\circ$  och  $+25^\circ$  C samt med minimitemperatur lika med och lägre än  $-0,1^\circ$ ,  $-5^\circ$ ,  $-10^\circ$ ,  $-15^\circ$ ,  $-25^\circ$  och  $-30^\circ$  C. I samtliga fall har redovisningen skett på kartor i skalan 1 : 8 milj. och baserats på observationsperioden 1901—30.

*Elfman* (1948, 1957) har kartlagt den s. k.  $0^\circ$ -*isotermens förflyttning* under höst och vår, dvs. tidpunkten när dygnets medeltemperatur i genomsnitt sjunker under  $0^\circ$  C resp. stiger över  $0^\circ$  C. Samme författare (1957) har även för Värmland angett ungefärliga genomsnittsfrekvenser av dygn med en dagsmedeltemperatur (medeltal av temp. kl 08 och 14) understigande  $-15^\circ$  C.

Kartor i skala 1 : 3 milj. över *medelköldmängden* 1901—1950 mätt i »negativa graddagar» (definierad som »summan av de numeriska värdena av de negativa månadsmedeltemperaturer, som förekommit under ifrågavarande vinter, multiplicerad med 30») har publicerats av *Fellenius* och *Rengmark* (1959).

**Egen bearbetning.** Med syfte att komplettera befintliga data och att erhålla ökad detaljkändedom på vissa punkter utfördes bearbetning av SMHI:s observationsmaterial. Emedan det framför allt är de låga temperaturerna, som har betydelse för skogsdrivningarna, koncentrerades undersökningen till vinterhalvåret november—april.

Av de temperaturuppgifter, som finns i eller kan framställas på basis av SMHI:s observationsmaterial, ger dygnets maxim- och minimitemperatur sannolikt de mest värdefulla upplysningarna i skogstekniska sammanhang. De gränser, inom vilka temperaturen faller, har större relevans än exv. dygnets medeltemperatur eller temperaturen vid en viss tidpunkt. Under vinterhalvåret sammanfaller vidare arbetsdagen i skogsdrivningarna vanligtvis med den del av dygnet, då det är någorlunda ljust. Dygnets minimitemperatur inträffar oftast i gryningen och maximitemperaturen under eftermiddagen. Detta förhållande gäller framförallt under sådana väderleksperioder, då starkare kyla förekommer. För de nordligaste delarna av landet är dock dygnsamplituden mycket svag eller obefintlig under den allra mörkaste årstiden.

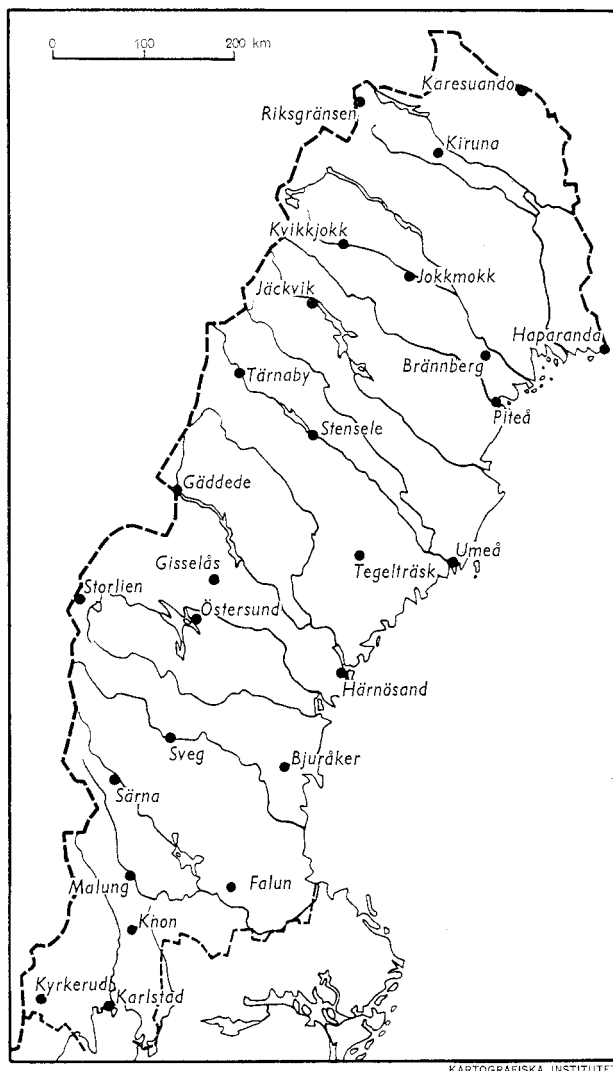


Fig. 2: 1 I utredningen använda stationer med temperatuurobservationer.  
Stations submitting temperature measurements used in the investigation.

Sådana SMHI-stationer utvaldes för bearbetning som hade tillfredsställande kontinuitet i observationerna under 30-årsperioden 1929/30—1958/59. I tab. 2: 1 (bilaga 1) finns en förteckning över stationerna. Kortare avbrott i observationsserierna förekom ibland. Komplettering av data erhölls i dessa fall genom interpolering med stöd av närliggande stationer. I förteckningen anges också för vilka år och månader som interpolering skett. En karta med stationernas läge visas i fig. 2: 1.

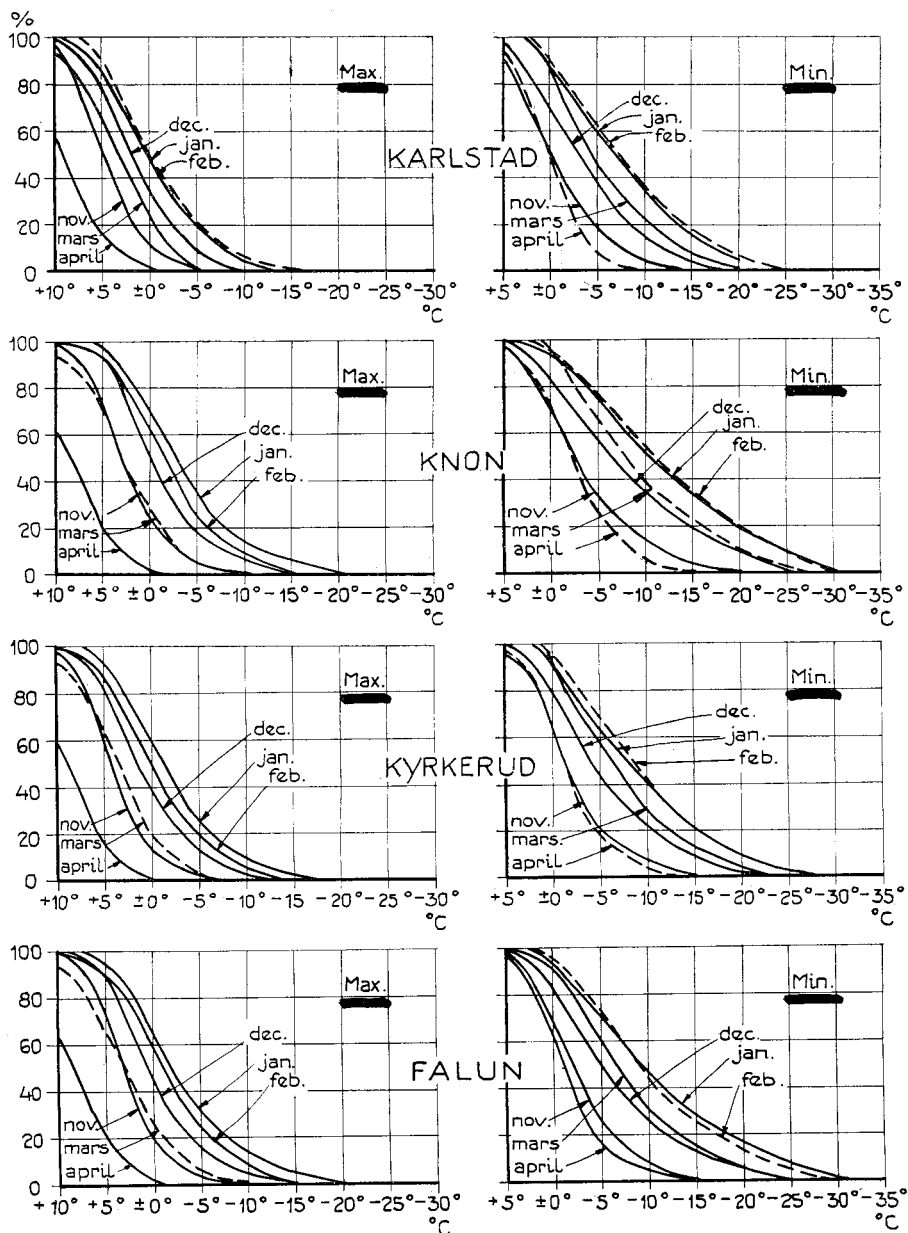


Fig. 2:2 Medelantal dygn (procent) per månad med temperatur understigande olika värden. November—april 1929/30—1958/59 för dygnets maxi- resp. minimi- temperatur.

Monthly relative frequencies of days with temperature below certain values. Mean values November—April 1929/30—1958/59 for daily maximum and minimum temperatures.

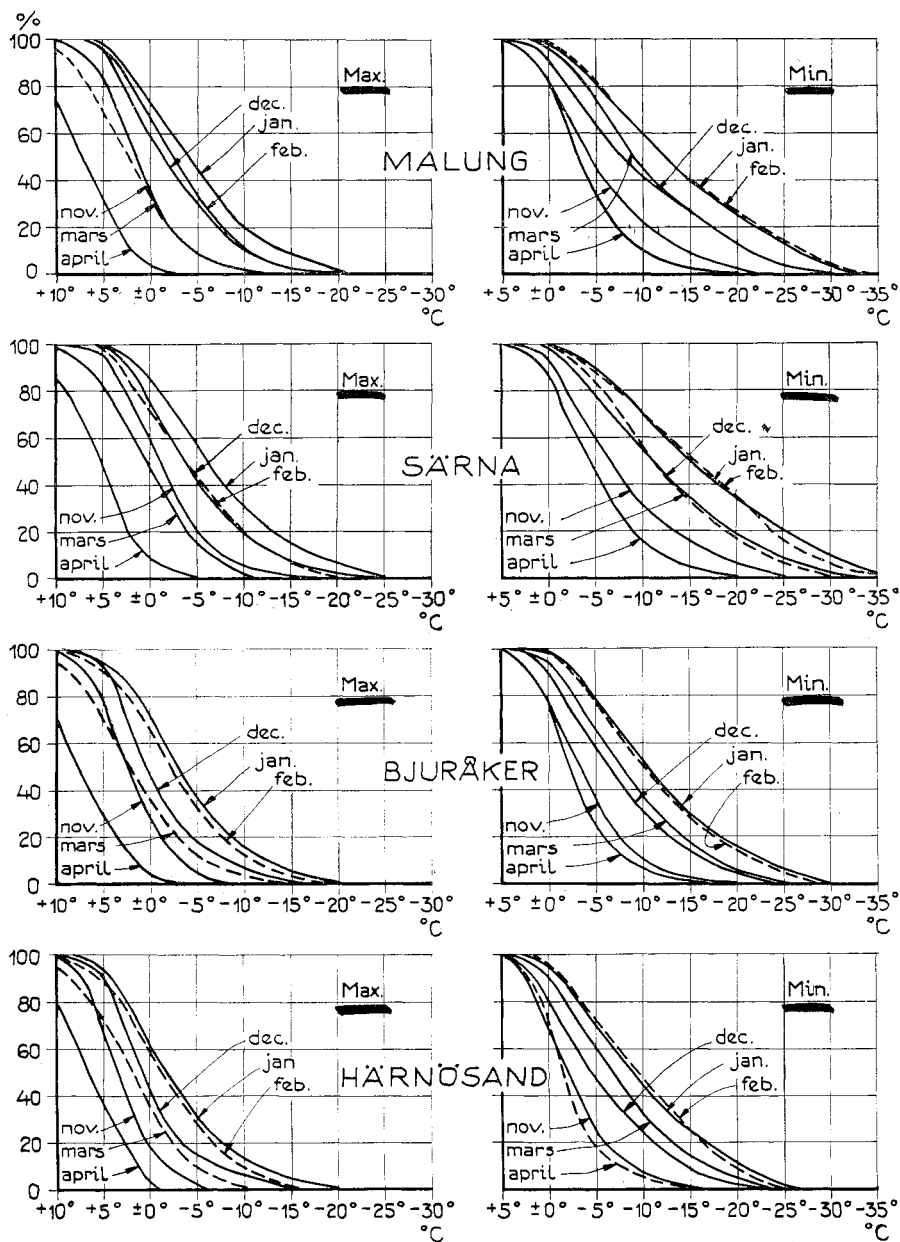


Fig. 2: 2 forts. cont'd

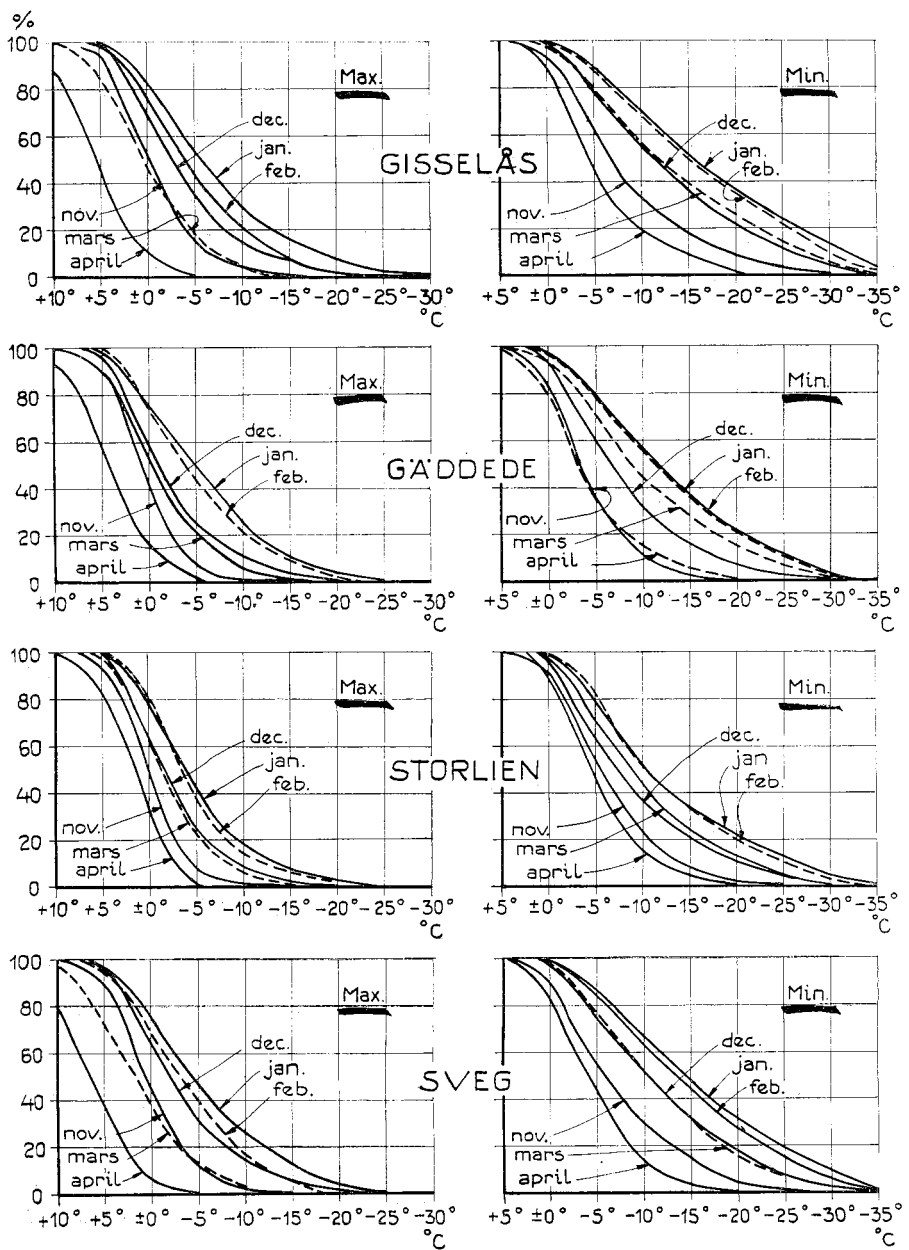


Fig. 2: 2 forts. cont'd

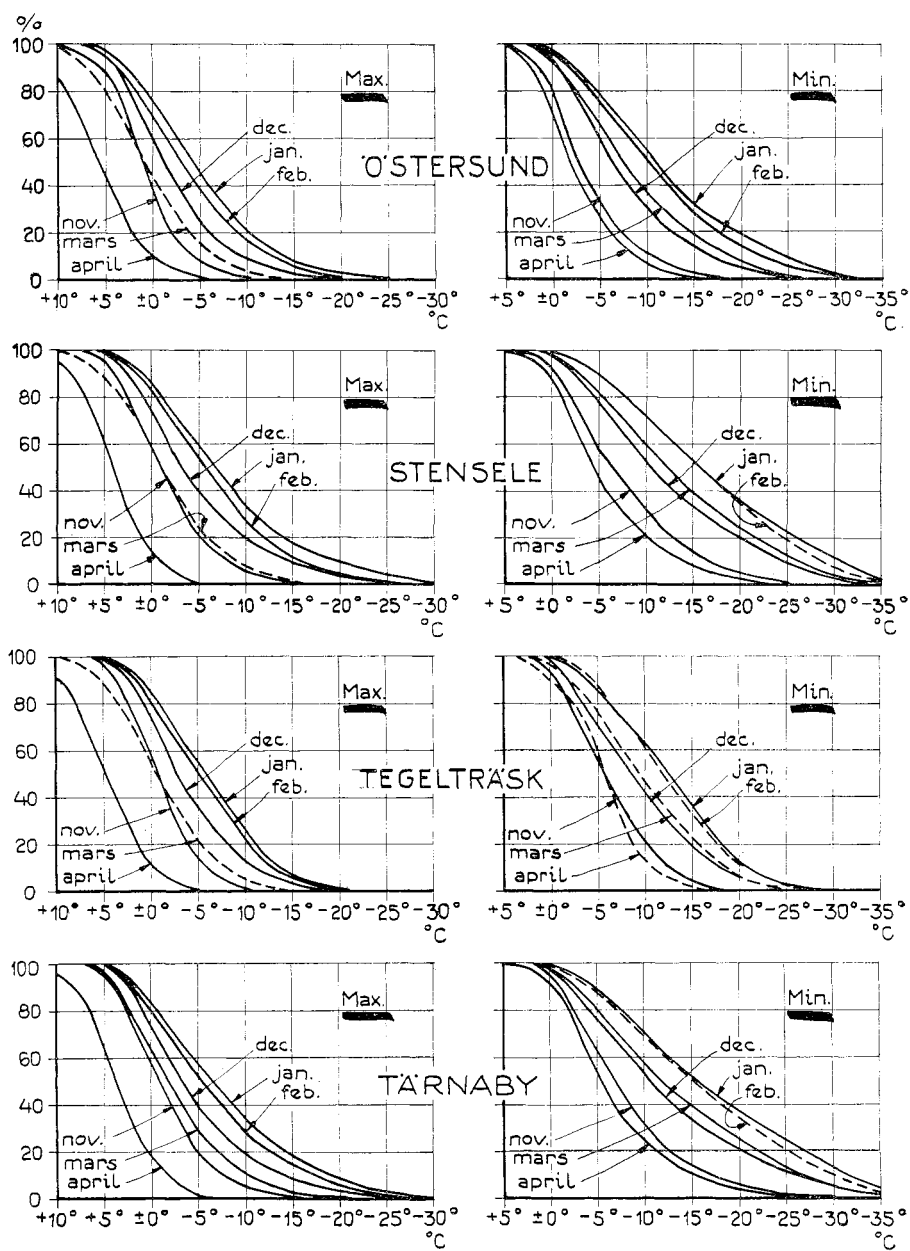


Fig. 2: 2 forts. cont'd

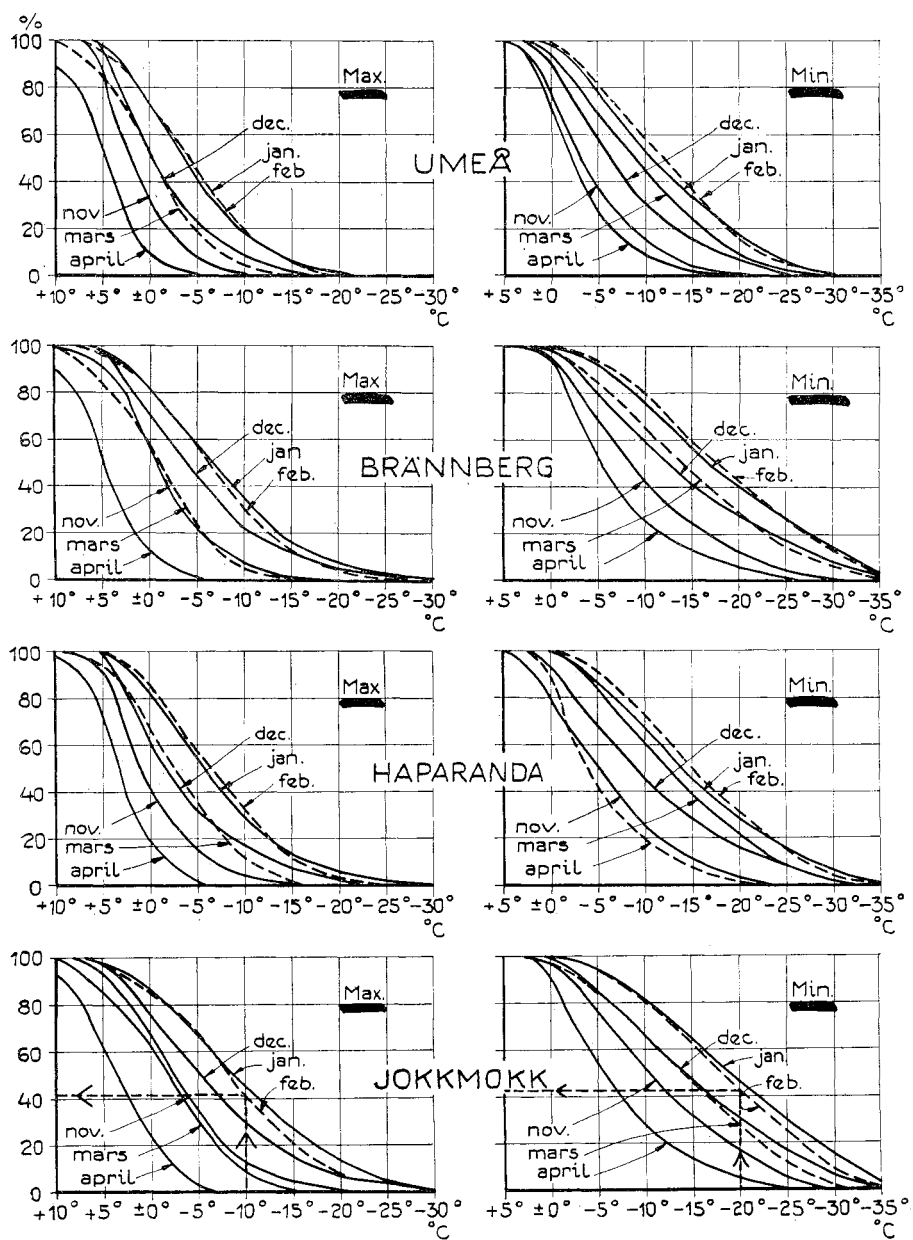


Fig. 2: 2 forts. cont'd

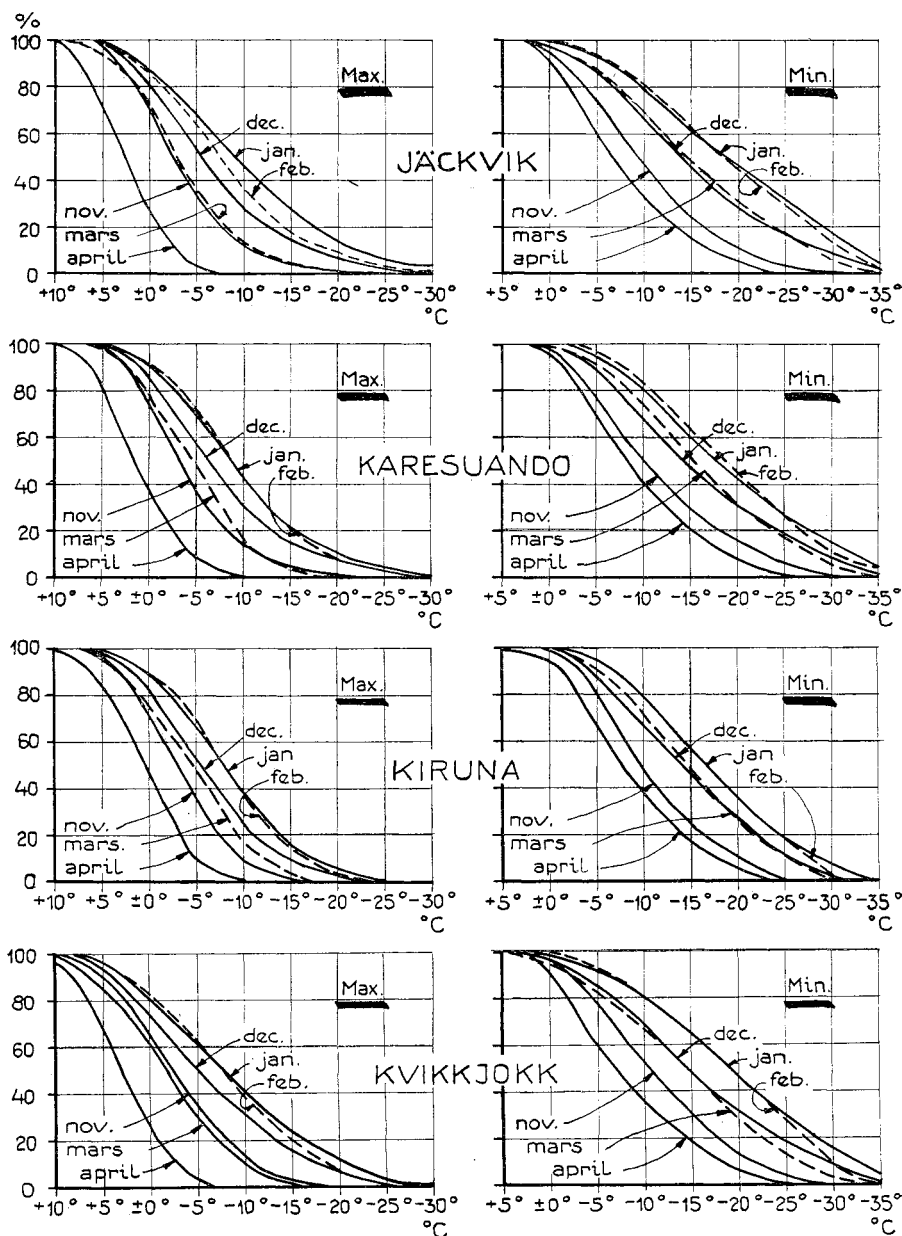


Fig. 2 forts. cont'd

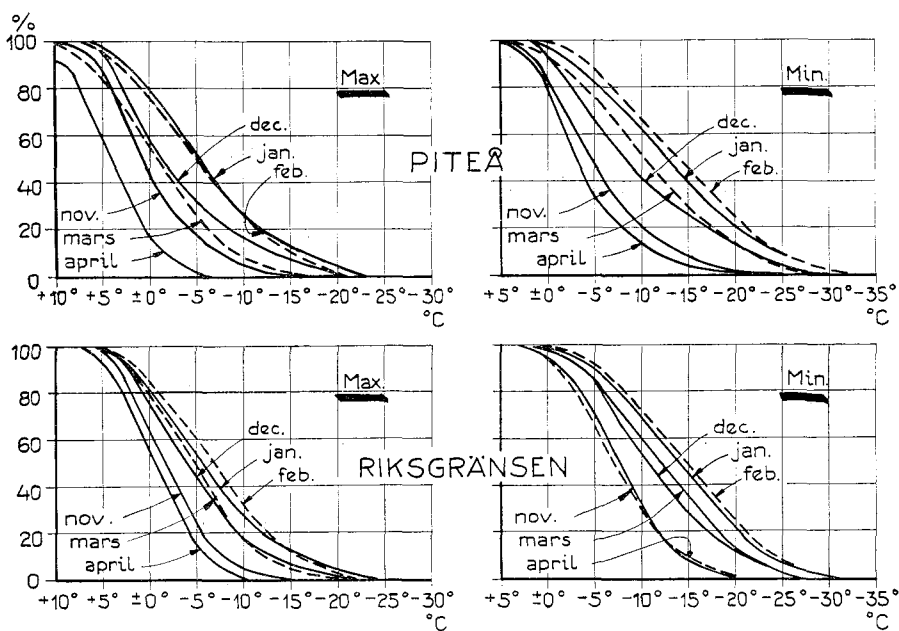


Fig. 2: 2 forts. cont'd

Temperaturstationerna ligger i flertalet fall i dalgångar, vid insjöar eller vid kusten. När temperaturuppgifterna från sådana stationer skall användas för prognos av temperaturförhållandena i skogsområden, krävs kännedom om de lokalklimatiska skillnaderna. Vanligtvis gäller att frekvensen av låga temperaturer vintertid är lägre i höjdområdena, dvs. de områden där skogarna framförallt finns, än i landskapets låga partier.

Vid bearbetningen noterades för varje år och månad från november till april antalet dygn i olika temperaturklasser (klassbredd  $5^{\circ}\text{C}$ ) för maximi- resp. minimitemperaturen. Dessa uppgifter stansades på hålkort,<sup>1</sup> som användes för materialets vidare bearbetning. Resultaten redovisas i det följande.

**Resultat.** I fig. 2: 2 (sid. 16—22) visas *kumulativa frekvenser för medelantlet ( $\bar{x}$  procent) dygn per månad med maximi- eller minimitemperaturen lägre än visst gradtal*. Dessa värden utgör således medeltal för perioden 1929/30—1958/59 för månaderna november—april.

I fig. 2: 3 (sid. 23) anges *den mot visst medelantal dygn svarande standardavvikelsen (s)*. Det befanns vid bearbetningen att standardavvikelsen för visst medelantal dygn var ungefär densamma, oavsett vilken station och tempera-

<sup>1</sup> Undersökning nr 60.06.00 vid Skogshögskolans institution för skoglig matematisk statistik.

Standardavvikelse, dygn Standard deviation, days

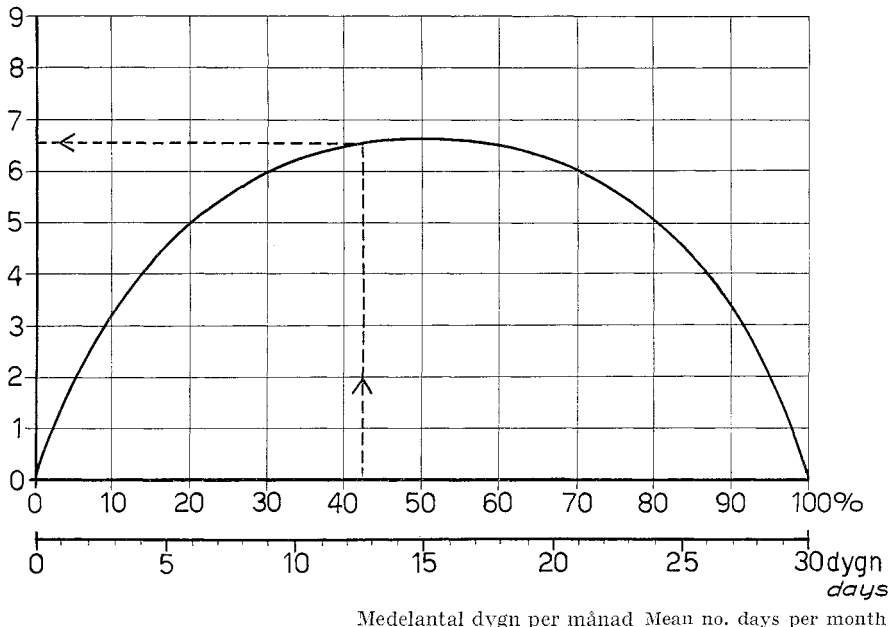


Fig. 2: 3 Standardavvikelsen ( $s$ ) som funktion av medelantalet dygn per månad med temperatur över- eller understigande olika värden.  
Relationship between standard deviation ( $s$ ) and monthly mean number of days with temperature above or below various limits.

turgräns som valdes (inom intervallet 15–85 % för medelantalet dygn avvek standardavvikelsen endast i ca 5 % av alla enskilda fall mer än 1 dag från genomsnittskurvan i fig. 2: 3). Vid normal fördelning innesluter intervallet  $\pm s$  ungefär 68 % av fördelningen, vilket i detta fall innebär att man under 2 år av 3 kan förvänta en frekvens inom intervallet  $\bar{x} \pm s$ . Intervallet  $\pm 0,675 s$  innehåller 50 % av fördelningen och  $\pm 2 s$  95 % vid normal fördelning. Med hjälp av  $X^2$ -test konstaterades att fördelningarna för de här diskuterade temperaturfrekvenserna i regel inte avvek signifikant (95 % konfidensnivå) från en normal fördelning. Standardavvikelsen kan därför användas för en approximativ bedömning av sannolikheten att få viss frekvens. Med hänsyn till att fördelningarna stympas alltför mycket utanför intervallet 15–85 % (ung. 5–25 dagar under en 30 dagar lång månad) för medelantalet dygn är emellertid standardavvikelsen meningsfull endast inom dessa gränser.

I tab. 2: 2 (sid. 24) visas medelantalet dygn under hela vinterhalvåret november–april med maximi- eller minimitemperaturen understigande olika gränser, även som variationsgränserna (största och minsta värde under 30-årsperioden). Trots att antalet stationer inom det berörda området egentligen är alltför

**Tab. 2.2 Antal dygn per vinter (nov—april) — medeltal ( $\bar{x}$ ) och variationsvidd ( $R$ ) — med dygnets maximi- resp.**

**minimitemperatur undersigande olika gränser.**

Number of days per winter (Nov—April)—average ( $\bar{x}$ ) and range ( $R$ )—with daily maximum and minimum temperature respectively below certain critical values.

Station	SMHI nr no.	$\leq \pm 0,0^\circ \text{C}$			$\leq -10,0^\circ \text{C}$			$\leq -20,0^\circ \text{C}$			$\leq -30,0^\circ \text{C}$			
		Max	Min	$\bar{x}$	R	Max	Min	$\bar{x}$	R	Max	Min	$\bar{x}$	R	
Karlstad...	922	51	17	92	131	89—157	4	0—22	33	7—81	0	0—0	0	0—0
Khon...	012	71	34	106	152	116—170	9	0—34	59	27—108	0	0—6	1—53	0—0
Kyrkerud...	904	54	17	93	147	108—169	5	0—22	43	17—80	0	0—2	0—33	0—0
Falun...	030	65	30	106	148	108—167	8	0—31	48	17—98	1	0—3	12	0—37
Matung...	002	81	39	113	163	149—175	12	0—38	70	40—119	1	0—6	23	4—54
Särna...	107	107	75	132	173	159—181	23	1—49	90	66—122	4	0—17	33	12—68
Djuraker...	115	76	36	110	160	144—174	11	0—36	55	18—98	0	0—3	12	1—38
Härnösand...	219	63	28	114	151	124—174	8	0—38	48	12—102	0	0—3	9	0—34
Gässleå...	330	101	61	128	172	160—181	22	3—51	91	60—127	3	0—12	39	14—73
Gäddede...	406	95	63	121	163	135—178	20	2—50	63	31—100	2	0—12	19	3—51
Storlien...	302	109	76	144	172	161—178	14	2—31	66	37—98	2	0—8	21	4—51
Sveg...	211	90	49	123	170	152—181	18	0—43	81	49—119	3	0—16	29	4—64
Östersund...	322	90	55	125	160	133—174	15	1—39	55	23—97	2	0—10	13	0—40
Stensele...	522	112	79	135	173	159—181	28	8—63	93	59—130	5	0—18	37	10—80
Tegeltråsk...	321	110	75	138	174	161—181	20	6—51	73	36—114	1	0—6	11	1—35
Tärnaby...	503	114	77	142	175	161—184	29	10—62	92	58—121	6	0—16	38	15—72
Umeå...	367	86	43	124	162	136—176	15	0—61	63	22—118	1	0—8	15	1—47
Brämhärg...	563	108	68	138	176	161—177	30	7—69	103	68—136	5	0—15	48	19—90
Haparanda...	574	108	69	144	169	151—181	27	7—67	87	42—129	3	0—22	30	6—69
Jokkmokk...	628	121	78	152	176	166—174	41	14—81	113	85—143	10	0—30	50	21—92
Jäckvik...	603	127	84	150	174	164—181	40	16—76	112	78—137	9	0—31	50	18—79
Karesuando...	822	138	119	164	179	174—181	45	19—84	120	88—154	8	1—29	53	27—81
Kiruna...	704	138	113	157	179	174—182	38	11—71	115	81—138	4	0—15	43	21—74
Kvillejölk...	604	118	82	143	174	158—181	40	12—71	116	84—139	8	1—29	53	23—86
Piteå...	565	99	54	137	165	146—177	24	3—59	76	31—124	3	0—13	21	2—62
Riksgränsen	801	133	110	161	176	170—181	30	7—63	94	62—132	3	0—15	23	4—46

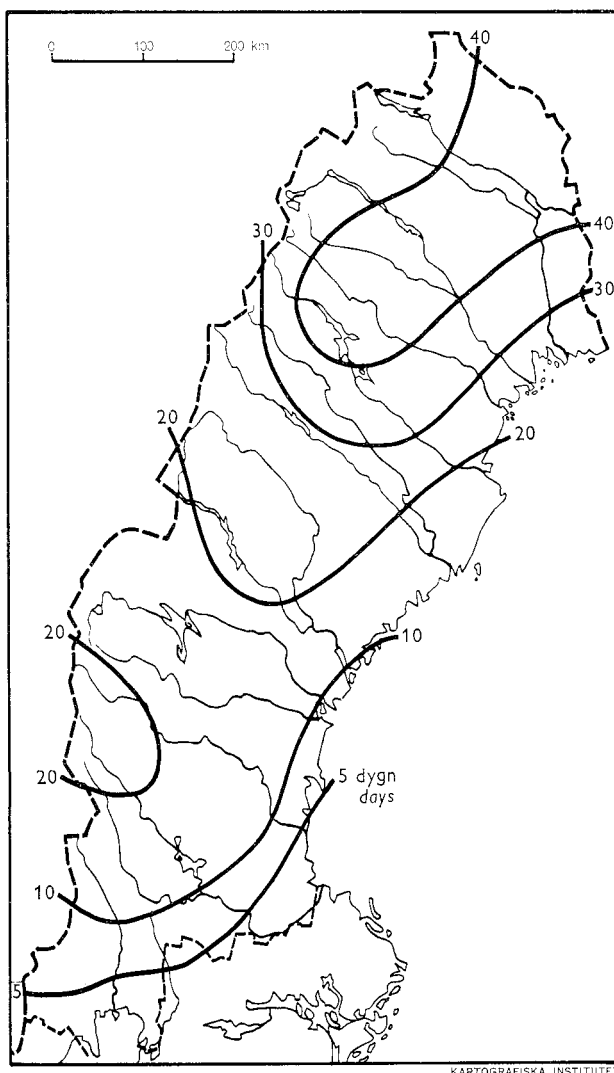


Fig. 2: 4 a Medelantal dygn under november—april med maximitemperatur lika med och lägre än  $-10,0^{\circ}\text{C}$ .

Mean number of days with maximum temperature equal and less than  $-10,0^{\circ}\text{C}$  during November—April.

ringa för uppritning av isolinjer för sistnämnda kriterier har ett försök härtill utförts. I fig. 2: 4 (sid. 25—28) anges medelantalet dygn per vinter med maxi- resp. minimitemperatur lika med och lägre än  $-10,0^{\circ}$  och  $-20,0^{\circ}\text{C}$ . Såsom stöd vid dragningen av isolinjerna har förf. använt »Atlas över Sverige» samt de köldmängdkartor, som upprättades av *Fellenius* och *Rengmark* (1959)

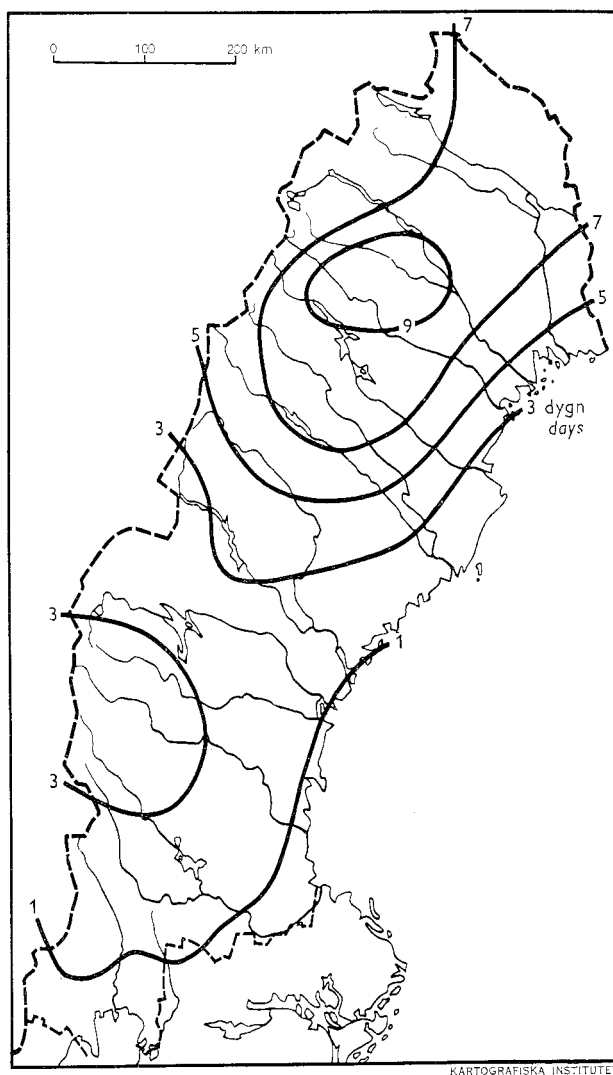


Fig. 2: 4 b Medelantal dygn under november—april med maximitemperatur lika med och lägre än  $-20,0^{\circ}\text{ C}$ .

Mean number of days with maximum temperature equal and less than  $-20,0^{\circ}\text{ C}$  during November—April.

och som baserats på ett betydligt större antal stationer. — Inom de kallaste områdena i landet, dvs. de inre delarna av norra Norrland, förekommer mer än 100 dygn med en minimitemperatur av högst  $-10,0^{\circ}$  och mer än 50 dygn med en minimitemperatur av högst  $-20,0^{\circ}\text{ C}$ . För de sydligaste delarna av området är motsvarande siffror omkring 40 resp. 10 dygn. Betraktar man

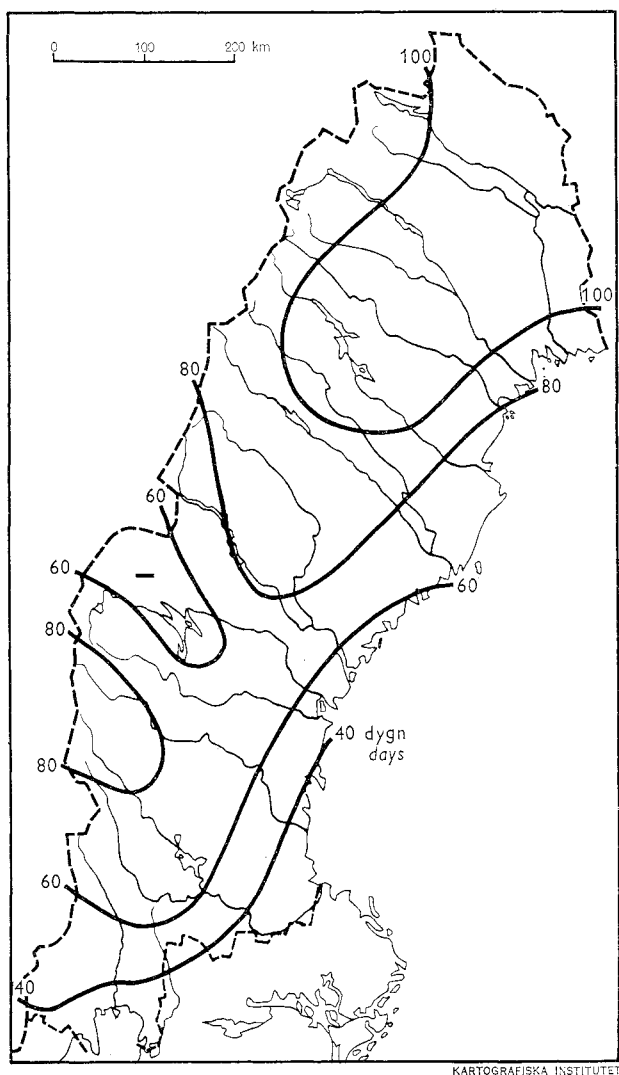


Fig. 2: 4 c Medelantal dygn under november—april med minimitemperatur lika med och lägre än  $-10,0^{\circ}\text{C}$ .

Mean number of days with minimum temperature equal and less than  $-10,0^{\circ}\text{C}$  during November—April.

dygnets maximitemperatur, förekommer i genomsnitt mer än 40 dygn med en maximitemperatur av högst  $-10,0^{\circ}\text{C}$  i de inre delarna av norra Norrland och inemot 10 dygn med högst  $-20,0^{\circ}\text{C}$ . För de sydligaste delarna är motsvarande siffror omkring 5 resp. 1. Överensstämmelsen med de kartor, som redovisas i »Atlas över Sverige» (blad 27—28) och som baseras på perioden

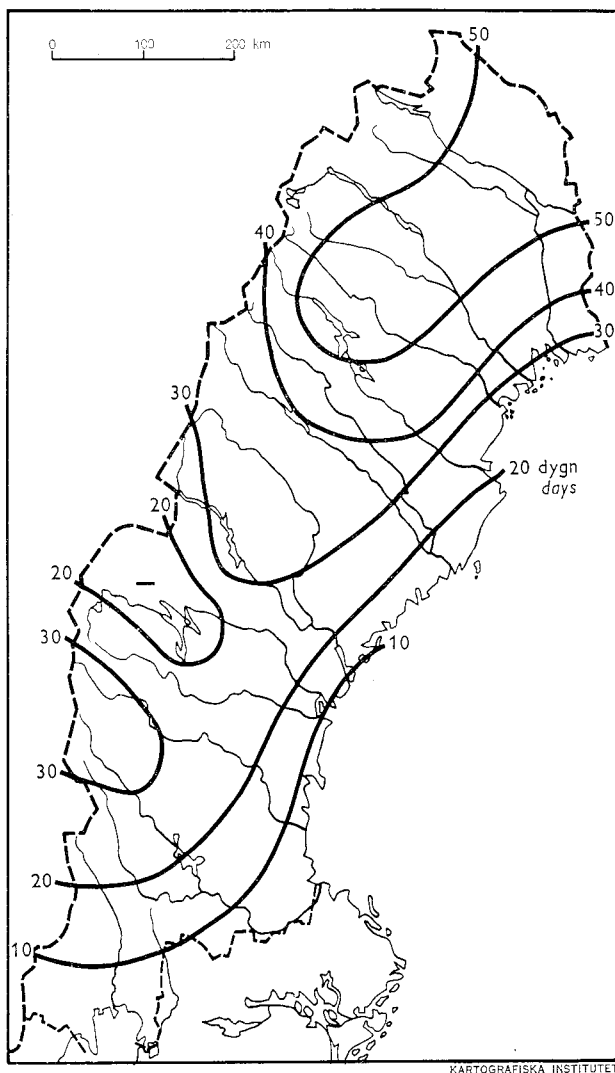


Fig. 2: 4 d Medelantal dygn under november—april med minimitemperatur lika med och lägre än  $-20,0^{\circ}\text{ C}$ .

Mean number of days with minimum temperature equal and less than  $-20,0^{\circ}\text{ C}$  during November—April.

1901—30, är god, om man tar hänsyn till att här redovisade data endast avser tiden november—april. Kartorna i »Atlas över Sverige» avser årets samtliga månader. Sistnämnda skillnad har påtaglig betydelse endast för antalet dygn dels med en maxi- resp. minimitemperatur av högst  $0,0^{\circ}$  och dels med en minimitemperatur av högst  $-10,0^{\circ}$  för områdets kallaste delar (kring Härjedalen resp Lappland).

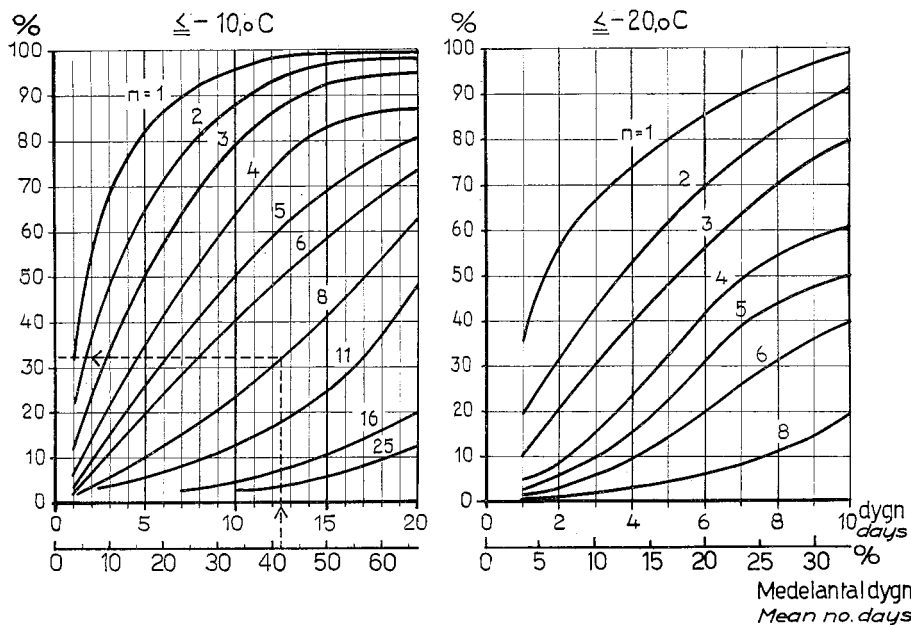


Fig. 2:5 Frekvensen (%) av år med minst en (1) period av *minst*  $n$  dagar per månad med temperaturer lika med och lägre än ( $\leq$ )  $-10,0^{\circ}\text{C}$  resp.  $-20,0^{\circ}\text{C}$  som funktion av medelantalet dygn per månad med motsvarande temperaturer.  
Frequency of years (per cent) with *at least* one (1) period of minimum  $n$  days with temperature equal and less than  $-10,0^{\circ}\text{C}$  and  $-20,0^{\circ}\text{C}$  respectively in relation to the monthly mean number of days with corresponding temperature values.

För att få uppgifter över *periodlängden* av dygn med temperaturer av högst  $-10,0^{\circ}\text{C}$  resp.  $-20,0^{\circ}\text{C}$  bearbetades uppgifter för 7<sup>1</sup> utvalda stationer och 30-årsperioden 1931—60. Den genomsnittliga frekvensen (procent) av år med åtminstone någon (minst en) period av minst en viss varaktighet beräknades månadsvis. Därvid framgick att denna frekvens *approximativt* kunde uttryckas som funktion av *medelantalet* dygn med temperatur understigande nämnda värden oberoende av månad och typ (max. eller min.) av temperatur. Dessa samband redovisas i fig. 2:5 för resp.  $-10,0^{\circ}\text{C}$  och  $-20,0^{\circ}\text{C}$ . Tillämpningen av detta nomogram tillgår då så, att man först i fig. 2:2 för viss station och månad utläser medelantalet dygn med temperatur understigande visst värde och därefter i fig. 2:5 avläser sannolikheten att få minst en period av minst en viss längd.

Till slut undersöktes förekomsten av systematiska förändringar av temperaturförhållanden under 30-årsperioden. För 4 utvalda stationer inom området undersöktes hur antalet dygn i januari och februari med temperaturer överstigande  $0^{\circ}\text{C}$  resp. antalet dygn under november—april med tempera-

<sup>1</sup> Karlstad, Falun, Särna, Östersund, Härnösand, Stensele, Karesuando.

**Tab. 2:3 Temperaturklimatets förändring under 30-årsperioden 1929/30—1958/59; regressionskoefficienter för utvalda stationer i ekvationen  $y = a + bx$  där**

$y$  = antal dygn med viss temperatur

$x$  = årssiffran (1929, 30, 31 osv.)

$b$  = regressionskoefficient

$a$  = konstant

Change of temperature climate during the 30-year period 1929/30—1958/59; coefficients of regression, for specific stations, in the equation  $y = a + bx$  where

$y$  = No. days with a certain temperature

$x$  = Year no. (1929, 30, 31 etc.)

$b$  = Coefficient of regression

$a$  = Constant

Station	Antal dygn under jan och febr med temp. $> \pm 0^\circ C$ No. days during Jan and Febr with temp. $> \pm 0^\circ C$				Antal dygn under nov—april med temp. $\leq -10^\circ C$ No. days during Nov—April with temp. $\leq -10^\circ C$			
	Max		Min		Max		Min	
	$b$	Hypotes Hypothesis $b = 0$	$b$	Hypotes Hypothesis $b = 0$	$b$	Hypotes Hypothesis $b = 0$	$b$	Hypotes Hypothesis $b = 0$
Karlstad . . . .	— 0,457	acc.	— 0,276	förf. reject.	0,083	acc.	1,005	förf. reject.
Härnösand . . .	— 0,430	»	— 0,072	acc.	0,321	»	0,959	»
Östersund . . . .	— 0,420	»	— 0,057	»	0,405	»	0,774	acc.
Stensele . . . . .	— 0,214	»	— 0,014	»	0,425	»	0,645	»

turer understigande  $-10^\circ C$  förändrades under observationsperioden. Resultaten redovisas i tab. 2:3.

Av tabellen framgår att under januari och februari antalet dygn med temperatur över  $0^\circ C$  genomgående minskat och antalet dygn med temperatur under  $-10^\circ C$  genomgående ökat. Givetvis föreligger en viss samvariation mellan dessa båda variabler. Det kan emellertid konstateras att en påtaglig förändring ägt rum under 30-årsperioden (jfr även »Atlas över Sverige» under publicering). Trenden orsakas framförallt av den serie milda vintrar som inträffade i början av 1930-talet och vilkas temperatur avsevärt översteg tidigare vintrars. Jämfört med det genomsnittliga vinterklimatet perioden 1901—60 synes här redovisade data avvika något åt det »varmare» hålet. I vad avser frekvensen av särskilt kalla dygn synes emellertid avvikelsen ej vara av någon betydande storlek (jfr ovan).

### Kap. 3. Nederbörd

**Litteratur.** Kartor över medelnederbörden månadsvis har redovisats dels av Wallén (1951) för perioden 1901—30 — dessa kartor återfinns även i »Atlas över Sverige», blad nr 29—30 —, dels av Bergsten (1954) för perioden 1920—1950.

Vid SMHI:s klimatavdelning har en *preliminär* sammanställning gjorts över månadsmedelnederbörden 1931—60 månadsvis för 205 stationer inom det aktuella området. Dessa uppgifter återges i tab. 3: 1 (bilaga 2).

Frekvenstal angivande antalet dagar per månad med en nederbördsmängd av minst 0,1; 1,0; 5,0 och 10 mm (perioden 1911—40) har publicerats av Wallén (1963).

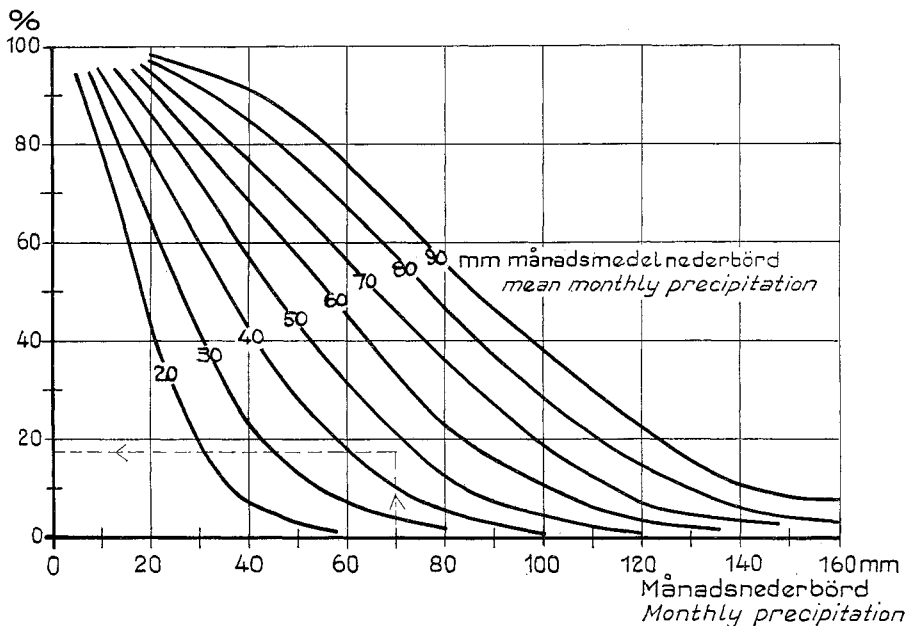


Fig. 3: 1 Frekvensen av år (procent) med olika månatlig nederbördsmängd vid olika månadsmedelnederbörd.

Frequency of years (per cent) with various amounts of monthly precipitation at different mean monthly precipitation.

**Egen bearbetning.** Med syfte att ge en uppfattning om sannolikheten att få en viss nederbördsmängd även under en längre tidsperiod gjordes följande bearbetning. För sju stationer — väl fördelade inom området<sup>1</sup> — studerades frekvensen av olika månatliga nederbördsmängder (mätt i mm vatten) 1931—60. Det befanns därvid att denna frekvens approximativt kunde uttryckas som funktion av månadsmedelnederbörden oberoende av månad och stationens läge. Dessa samband visas i fig. 3: 1, som alltså ger underlag för överslagsmässiga bedöningar av sannolikheten att få en viss månatlig nederbördsmängd, om man känner till månadsmedelnederbörden. Kurvorna i fig. 3: 1 utgör medeltal. De verkliga observationerna för enskilda stationer och månader avvek sällan mer än  $\pm 10$  procentenheter inom intervallet 30—100 % och  $\pm 5$  procentenheter inom intervallet 0—20 % (här avses således avvikelsen i vertikalled från genomsnittskurvorna).

Den största månatliga nederbördsmängden under 30-årsperioden var i de flesta fall 2,0—3,0 gånger större än medeltalet för perioden. I ett par av de 84 undersökta fallen (7 stationer—12 månader) var siffran så hög som 3,7 och i ett fall så låg som 1,6.

---

<sup>1</sup> Falun, Särna, Härnösand, Östersund, Stensle, Haparanda, Karesuando.

## Kap. 4. Vind

Vindförhållandena i Sverige berörs mycket översiktligt av bl. a. Ångström (1946). Uppgifter över vindstyrkan sommartid har publicerats av *Jordbruks-tekniska Institutet* (1955) för 7 stationer i Norrland, Dalarna och Värmland. Vid SMHI finns vidare i stencil en sammanställning av vindriktningsfrekvenserna för perioden 1931—60 för 38 stationer i landet, varav 17 i Norrland, Dalarna och Värmland. För samma stationer och period förelåg även ett observationsmaterial av godtagbar kvalitet över vindstyrkan, vilket bearbetades för denna utrednings ändamål.

### 4.1 Vindstyrka

Vid SMHI:s stationer mäts eller uppskattas vindstyrkan på 10 m höjd 3 gånger per dygn (kl 07, 14 och 21) och anges enligt Beauforts vindskala. I tab. 4: 1 anges sambandet mellan vindstyrkan enligt Beauforts skala och vindhastigheten mätt i m/sek eller km/tim. Där redovisas även SMHI:s beteckningar för olika vindstyrkor samt vindens verkningar (på land). Vindstyrkan uppskattas vid huvudparten av stationerna och detta sker genom observation av vindens verkningar (enl. tab. 4: 1).

För 17 stationer inom det berörda området redovisas i tab. 4: 2 den *relativa frekvensen av observationer* (för alla tre observationstidpunkterna under dygnet) med en viss vindstyrka angiven i Beaufort. Där anges dels årsmedeltal (medeltal av samtliga observationer under hela året och 30-årsperioden), dels lägsta och högsta månadsmedeltal (medeltal för den månad som uppväxt det högsta resp. lägsta 30-årsmedeltalet av årets 12 månader). Jämför man vindstyrkan vid observationstidpunkterna kl 07, 14 och 21 visar det sig att den i medeltal är högst kl 14 och lägst kl 21. Dessa skillnader är påtagliga framförallt under sommarmånaderna. Den relativa frekvensen av höga vindstyrkor blir därför högre för en arbetsdag från exv. kl 07 till kl 17 än de i tab. 4: 2 redovisade värdena.

En granskning av tidpunkten under året för kulminationen av olika vindstyrkor visade följande. Den högsta frekvensen av »vind överhuvudtaget» (minst 1 Beaufort) inträffar vanligtvis under vår- och sommarmånaderna, framförallt i juni. Vindstyrkor av minst 4 Beaufort kulminerar även dessa

34      **Tab. 4:1 Samband mellan vindstyrka (Beauforts vindskala), vindhastighet och vindens verkningar.**

Relationship between winds (Beaufort scale), wind velocity (m/s or km/h) and effect of the wind.

Vind-styrka Wind Beaufort	Vindhastighet Wind velocity		Benämning på land Denoted on land	Vindens verkningar på land Effect of the wind ashore
	m/s	km/h		
0	0— 0,2	< 1	lugnt calm	inga, röken stiger nästan rätt upp none, smoke rising almost straight up
1	0,3— 1,5	1— 5	svag wind light wind	märkbar för känslan perceivable
2	1,6— 3,3	6— 11		lyfter en vimpel, sätt. smä löv i rörelse lifting small flags, moving small leaves
3	3,4— 5,4	12— 19	måttlig wind moderate wind	sträcker en vimpel, sätter blad och tunna kvistar i oavbruten rörelse stretching flags, moving leaves and fine twigs continually
4	5,5— 7,9	20— 28		sträcker en flagga, sätter kvistar och tunnare grenar i rörelse stretching flags, moving branches and fine twigs
5	8,0—10,7	29— 38	frisk wind brisk wind	mindre lövträd börjar svaja, grenar sättes i rörelse, skumkammar bildas på insjöar small deciduous trees start to sway, branches move, wave crests on lakes
6	10,8—13,8	39— 49		sätter stora trädgrenar i rörelse, viner i telegraf- och telefonrädar moving heavy branches, humming telegraph and telephone wires
7	13,9—17,1	50— 61	hård wind heavy wind	hela träd svajar, man går ej obehindrat mot vinden whole trees are swaying, walking against wind slightly hindered
8	17,2—20,7	62— 74		bryter kvistar från träden, besvärligt att gå i det fria breaking branches from trees, walking against wind difficult
9	20,8—24,4	75— 88	halv storm half gale	mindre skador på hus, rökhuvar och taktegel blåser ned small damages to houses, smoke hoods and roof pans flying
10	24,5—28,4	89—102	storm gale	sällsynt i inlandet, träd ryckes upp med roten, betydande skador på hus rare inland, trees torn up by roots, considerable damages to houses
11	28,5—32,6	103—117	svår storm heavy gale	mycket sällsynt i inlandet very rare inland
12	32,7—	118—	orkan hurricane	torde förekomma endast på fjäll samt i tromber eller skydrag may occur only in mountains and in conjunction with typhoons or cyclones





## 4.2 Vindriktning

Ett utdrag ur SMHI:s stencilerade sammanställning över vindriktningsfrekvenser (se ovan) redovisas i tab. 4: 3, där medeltal av samtliga observationer för hela 30-årsperioden anges för de 17 stationerna inom området. Den dominerande vindriktningen för varje station har kursiverats.

Av redovisade data framgår att de västliga (SW—NW) vindarna dominerar hos inlandsstationerna, medan de sydliga vindarna är förhärskande vid kuststationerna.

För de sistnämnda gäller vidare att vindar med en nordlig riktning dominerar under vintern, sydliga vindar under sommaren.

## Kap. 5. Snötäcke

Data över snötäcket inom det berörda området har tidigare redovisats av *Sandström och Ångström* (1939 stencil) i form av kartor över dels snötäckets medeldjup den 1:a och 15:e i varje månad, dels medeltal samt högsta och lägsta värde av årliga maximidjup, baserade huvudsakligen på SMHI:s mätningar 1909—35. *Elfman* har för Norrland och Dalarna (1948) angivit uppgifter över tidpunkten för snötäckets ankomst och för Värmland (1957) publicerat data över dels det varaktiga snötäckets ankomst och försynnande, dels snötäckets tjocklek. Elfmans data härrör från SMHI:s observationer perioden 1920—47.

En utförlig analys av de problem som sammanhänger med kartläggning och beskrivning av snötäcket har publicerats av *Espenshade* och *Schytt* (1956).

### 5.1 Material

Med undantag för Elfmans värmelandsundersökning kan man konstatera att tillgängliga data över snötäcket i Norrland, Dalarna och Värmland har begränsat värde i skogstekniska sammanhang.

Föreliggande utredning har haft till syfte dels att bearbeta SMHI:s material och redovisa det i lämplig form, dels att undersöka i vad mån materialet från SMHI:s observationsnät ger representativa data för skogsområdena. SMHI:s stationer är nämligen ofta placerade inom tätorter i jordbruksområdena, vilka i sin tur är lokaliseraade till floddalarnas lägsta partier. Sådana områden förekommer emellertid endast i mindre omfattning i Norrland, Dalarna och Värmland, vilket framgår av tab. 5: 1, där landarealens (exkl. fjällmark och fjällbarrskog) fördelning på ägoslag redovisas. Av tabellen framgår att skogsmarken utgör 70—80 % av arealen. Emedan det vanligtvis föreligger skillnader i nederbördsmängd och snötäcke mellan skogsområdena och öppna marker (*Bergeron* 1949, 1960, *Andersson* 1963, *Seppänen* 1962, *Rakhmanov* 1956, *Colman* 1953) och då även ett höjdägesberoende förekommer, ansågs en granskning av SMHI-stationernas representativitet motiverad.

Bearbetningen av SMHI:s material avser observationsperioden 1931/32—1958/59, dvs. 28 vintrar. För denna period fanns på SMHI en sammanställ-

**Tab. 5:1 Landarealens procentuella fördelning på ägeslag för vissa län exkl. fjällskog och fjällmark (enligt riksskogstaxeringen 1938—52)**

Distribution (percentage) of land area by categories for certain provinces excl. mountain forests and bare mountains (according to the National Forest Survey 1938—52)

Län Province	Areal Area km <sup>2</sup>	Procentuell fördelning på ägeslag Distribution, percentage					Sa Total
		Inägor Fields	Skogs- mark Forest land	Myr Bogs	Kalt berg Bare hills	Övriga Others	
Norrbotten.....	61 450	2,7	65,9	29,7	0,7	1,0	100,0
Västerbotten.....	44 847	4,9	72,0	21,3	1,2	0,6	100,0
Jämtland.....	35 360	3,3	75,7	20,0	0,4	0,6	100,0
Västernorrland.....	24 123	7,3	79,4	9,8	3,0	0,5	100,0
Gävleborg.....	18 183	10,3	77,7	10,1	0,9	1,0	100,0
Kopparberg.....	26 781	7,0	75,7	16,4	0,2	0,7	100,0
Värmland.....	17 592	15,8	72,6	8,5	2,5	0,6	100,0

ning över snödjupen den 15:e och sista i varje månad samt det maximala snödjupet per vinter. För att få motsvarande data för tidigare vintrar krävdes bearbetning av grundmaterial. Värdelet av att få en längre observationsperiod bedömdes understiga kostnaden härför.

79 SMHI-stationer inom området ansågs ha ett tillfredsställande observationsmaterial för 28-årsperioden. För övriga stationer var antingen observationsserien för kort eller avbrotten för långa för att interpolering skulle kunna ha utförts med acceptabel tillförlitlighet. Plansch I A visar en karta, som anger läget för de använda stationerna.

Mätning av snödjupet på SMHI:s stationer sker i princip dagligen. Observatörerna är instruerade att välja ett öppet fält, där snötäcket är jämnt. Mätning sker på 5—10 mätställen med några meters inbördes avstånd, och medeltalet av dessa mätningar anges i hela centimeter.

Några av stationerna hade flyttats en kortare sträcka under 28-årsperioden, nämligen Norra Viggen (från Södra Viggen), Vallsjön (från Storhögen) samt Karlstad (från staden till flygplatsen). För dessa 3 stationer undersöktes seriernas homogenitet med hjälp av närbelägna referensstationer. För Vallsjön och Karlstad synes flyttningen ej ha medfört någon förändring, medan en förändring kan ha skett för Södra Viggen, även om den ej är statistiskt signifikant (95 % konfidensnivå).

Byte av observatör och eventuella förflyttningar inom observationsområdet kan givetvis också orsaka heterogenitet i serierna. Några homogenitetskontroller har emellertid ej utförts på de stationer vars läge ej förändrats under 28-årsperioden.

Vid Forskningsstiftelsen SDA (tidigare Föreningen Skogsarbetens och Kungl. Domänstyrelsens Arbetsstudieavdelning) utfördes under vintrarna

1943/44—1957/58 s. k. tim- och förtjänststatistik på ett 50—70-tal avverkningstrakter varje år — mestadels olika trakter varje år. Datainsamlingen omfattade även mätning av snödjupet varje arbetsdag. Därvid mätttes alltid snödjupet mellan träden, företrädesvis i gläntor, i den oavverkade delen av beståndet. Vid varje observationstillfälle noterades medeltalet av 5 mätningar inom ett område på några kvadratmeter. Mätningar utfördes endast under de dagar avverkningen pågick. Författaren har utfört mätningar i skog enligt det beskrivna sättet och funnit att standardavvikelsen ( $s$ ) som regel är mellan 1 och 4 cm och mestadels 2—3 cm. Medeltalets medelfel skulle enligt detta vara av storleksordningen 1—2 cm.

SDA:s statistik omfattade Norrland och Dalarna. I Värmland utfördes motsvarande statistik av dåvarande Värmlands och Västra Bergslagens Arbetsgivareförening (VeVeBe). För VeVeBe:s område fanns emellertid endast 5-årsperioden 1954/55—58/59 tillgänglig. SDA:s och VeVeBe:s observationsplatser benämnes i den fortsatta framställningen »skogstrakterna».

## 5.2 Snödjup vid olika tidpunkter

### 5.2.1 Snödjup vid SMHI:s stationer

I tab. 5: 2 (bilaga 3) redovisas medelsnödjupet den 15:e och sista i varje månad samt medeltalet av de årliga maximidjupen. Såsom spridningsmått anges standardavvikelsen och vad gäller maximidjupet även största och minsta värde för 28-årsperioden. För berörda stationer redovisas antalet interpolerade observationer, vilket bör ses mot bakgrunden av att det totala antalet observationer per station i tabellen utgör 478.

I fig. 5: 1 (bilaga 4) redovisas för varje station frekvenspolygoner över snödjupet vid olika tidpunkter under vintern. Frekvenspolygonerna visar det antal år av 28 som snödjupet vid en viss tidpunkt överstigit olika gränser.

Det undersöktes även vilken 2-veckorsperiod under vintern, som uppväxte den största snödjupstillsvärten. Det visade sig att denna period inföll mellan 15/11 och 15/12 i Norrbotten och Västerbotten, huvudsakligen i december månad inom övriga delar av Norrland och norra Dalarna, samt under första hälften av januari i övriga Dalarna och Värmland.

### 5.2.2 Jämförelse av snödjupet vid SMHI:s stationer och på skogstrakter

Vid jämförelsen mellan skogsobservationerna och SMHI:s material valdes följande förfarande. För 5 olika tidpunkter — 15/12, 31/1, 28/2, 31/3 och 15/4 — och för varje år under 10-årsperioden 1946/47—1955/56 prickades på en karta i skala 1:3 milj. snödjupet vid de i utredningen använda SMHI-stationerna och vid skogstrakterna i Norrland och Dalarna (SDA:s material). I

**Tab. 5:3 Antal skogstrakter vid olika tidpunkter med observationer över snödjupet  
(Norrland och Dalarna).**Number of forest tracts with observations of snow depth at various dates  
(Norrland and Dalarna).

År Year	Antal skogstrakter vid olika tidpunkter Number of forest tracts at various dates					Sa Total
	15/12	31/1	28/2	31/3	15/4	
1946/47	4	54	59	59	45	221
1947/48	4	54	60	57	36	211
1948/49	10	50	53	52	26	191
1949/50	15	61	64	59	31	230
1950/51	26	60	60	57	45	248
1951/52	9	78	79	73	57	296
1952/53	37	87	90	86	33	333
1953/54	11	47	51	45	24	178
1954/55	32	60	62	60	39	253
1955/56	29	58	69	65	48	269
Sa	177	609	647	613	384	2430

tab. 5:3 anges hur många skogsobservationer vid olika tidpunkter detta material omfattar. Motsvarande bearbetning utfördes för Värmland (VeVeBe:s material) för perioden 1954/55—1958/59 omfattande totalt 107 observationer. Läget för mätplatser med observationer 28/2 har markerats på kartan i plansch I A (i fickan på omslaget). Valet av tidpunkter betingades dels av rekommendationer att konsekvent använda den sista dagen i varje månad (*Espenshade* och *Schytt* 1956), dels av önskemålet att få med så många skogsobservationer som möjligt även under för- och senvintern. Få avverkningar var nämligen igång sista april eller senare. Dessutom gjordes ofta uppehåll mellan jul och nyår. Tidpunkterna 15/12 och 15/4 blev därför valda att representera för- resp. senvintern.

Jämförelsen av snödjupen vid SMHI:s stationer och skogstrakterna skedde enligt följande. Kring varje SMHI-station drogs en cirkel med 30 km radie (= 1 cm på kartan). För varje år och tidpunkt beräknades sedan förhållandet mellan snödjupet vid SMHI:s station och snödjupet vid sådana skogstrakter som låg inom cirkeln. Emedan ingen samvariation mellan detta relationstal och tidpunkten under vintern kunde spåras, slogs materialet för samtliga 5 tidpunkter samman. I tab. 5: 4 (bilaga 5) anges genomsnittsvärdena för dessa relationstal. Dessutom redovisas totala antalet jämförelser, antalet fall där snödjupen vid SMHI-stationen och skogstrakten varit lika (erforderligt för

teckentestet, se nedan), antalet fall där SMHI:s snödjup varit större än skogstraktens samt graden av signifikans enligt det s. k. teckentestet.

65 av de 77 SMHI-stationer, för vilka jämförelser med skogstrakter kunde utföras, uppvisade i genomsnitt lägre snödjup än omkringliggande skogstrakter. Särskilt stora skillnader erhölls för några norrländska kuststationer — där jämförelsen kom att ske med skogstrakter inom höjdområdena en bit från kusten, områden som har väsentligt större nederbörd än kustremsan (jfr bl. a. Bergeron 1949) — samt för stationerna inom Ljungan—Indalsälvens flodområde. Skillnaderna mellan SMHI-stationerna och skogstrakterna varierade i övrigt inte påtagligt med den geografiska belägenheten. I genomsnitt för hela materialet var snödjupet vid SMHI:s stationer omkring 80 % av snödjupet på närliggande skogstrakter.

### 5.2.3 Snödjup i skogsområden

För att beräkna medelsnödjupet vid olika tidpunkter för skogsområdena valdes följande förfarande. SMHI-stationernas medelsnödjup under 28-årsperioden 1931/32—1958/59 och för tidpunktarna 15/12, 31/1, 28/2, 31/3 och 15/4 prickades in på kartor. På samma kartor inprickades även en uppskattning av medelsnödjupet på skogstrakterna enligt uttrycket:

$$\bar{h}_{skog} = \frac{h_{skog}}{h_{SMHI}} \times \bar{h}_{SMHI} \text{ där}$$

$h_{skog}$  = snödjupet vid viss tidpunkt på skogstrakten

$h_{SMHI}$  = snödjupet vid samma tidpunkt på den närmast liggande SMHI-stationen

$\bar{h}_{SMHI}$  = medelsnödjupet 1931/32—1958/59 vid SMHI-stationen.

Samtliga skogsobservationer för ovan nämnda tidpunkter och vintrarna 1946/47—1955/56 (för VeVeBe-materialet åren 1954/55—1958/59) togs med vid denna bearbetning. I fig. 5: 2 a—e redovisas kartor i skala 1: 6 milj. med isolinjer för medelsnödjupet vid tidpunktarna 15/12, 31/1, 28/2, 31/3 och 15/4. För tidpunkten 28/2, som uppvisade de flesta skogsobservationerna redovisas motsvarande karta även i skala 1: 3 milj. i plansch I B (i ficka på omslaget). Materialet medgav en förhållandeviis god lokal differenciering av snödjupet. Jämför man med tidigare snödjupskartor, som upprättats av Sandström och Ångström (1939, stencil), kan det konstateras att överensstämmelsen är ganska god inom många områden. Lokalt förekommer dock betydande skillnader. Bl. a. är förekomsten av områden med stora snödjup några mil från kusten betydligt mer framträdande i föreliggande material.

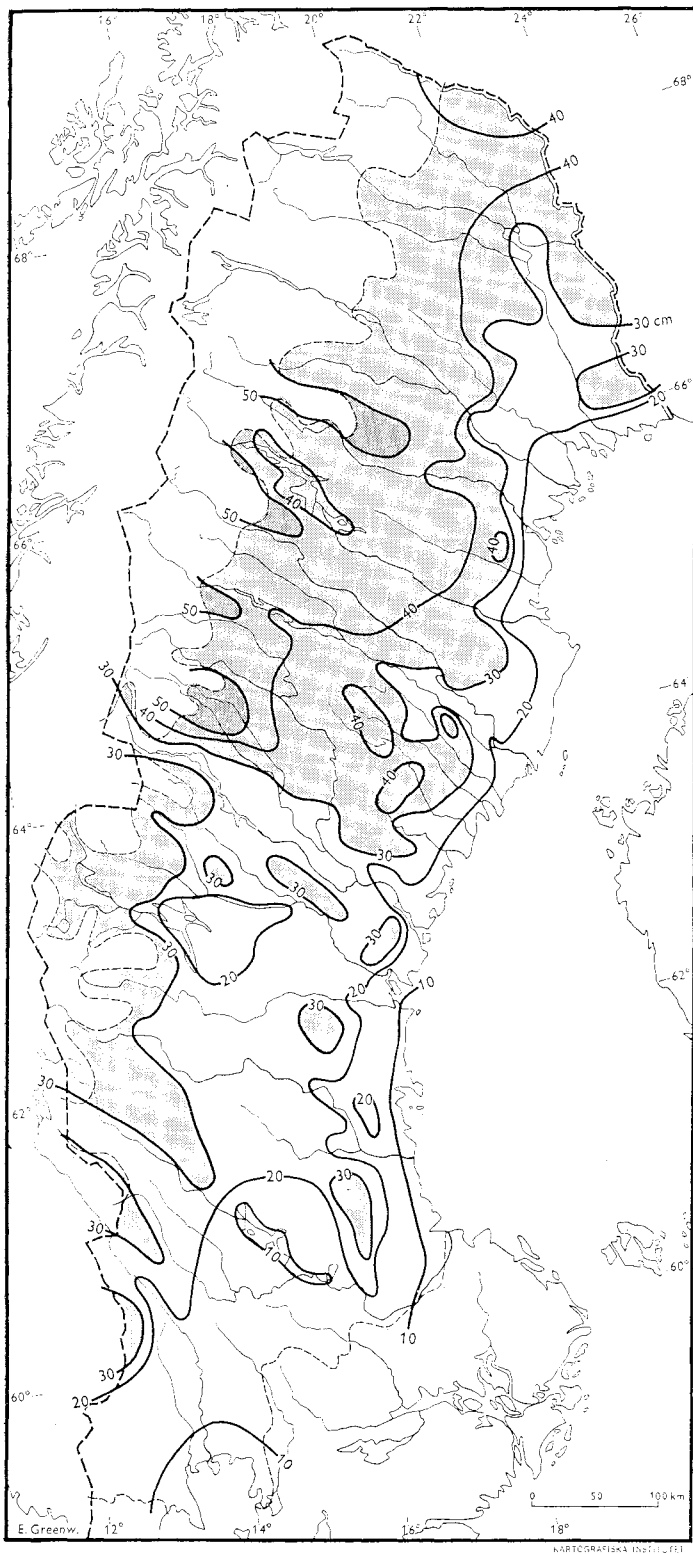


Fig. 5: 2 a  
Medelsnödjup  
15 december  
(1931—1958).  
Mean snow depth  
on December 15th  
(1931—1958).

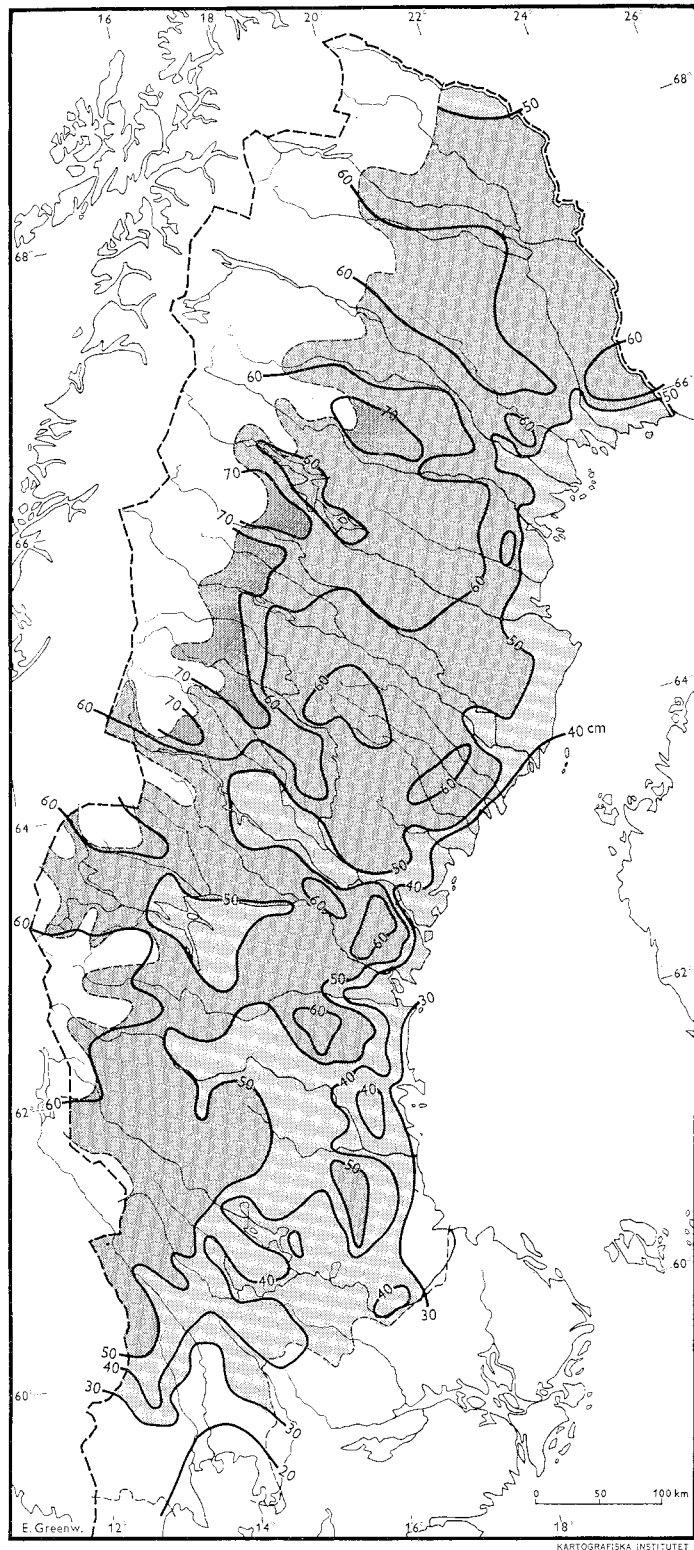
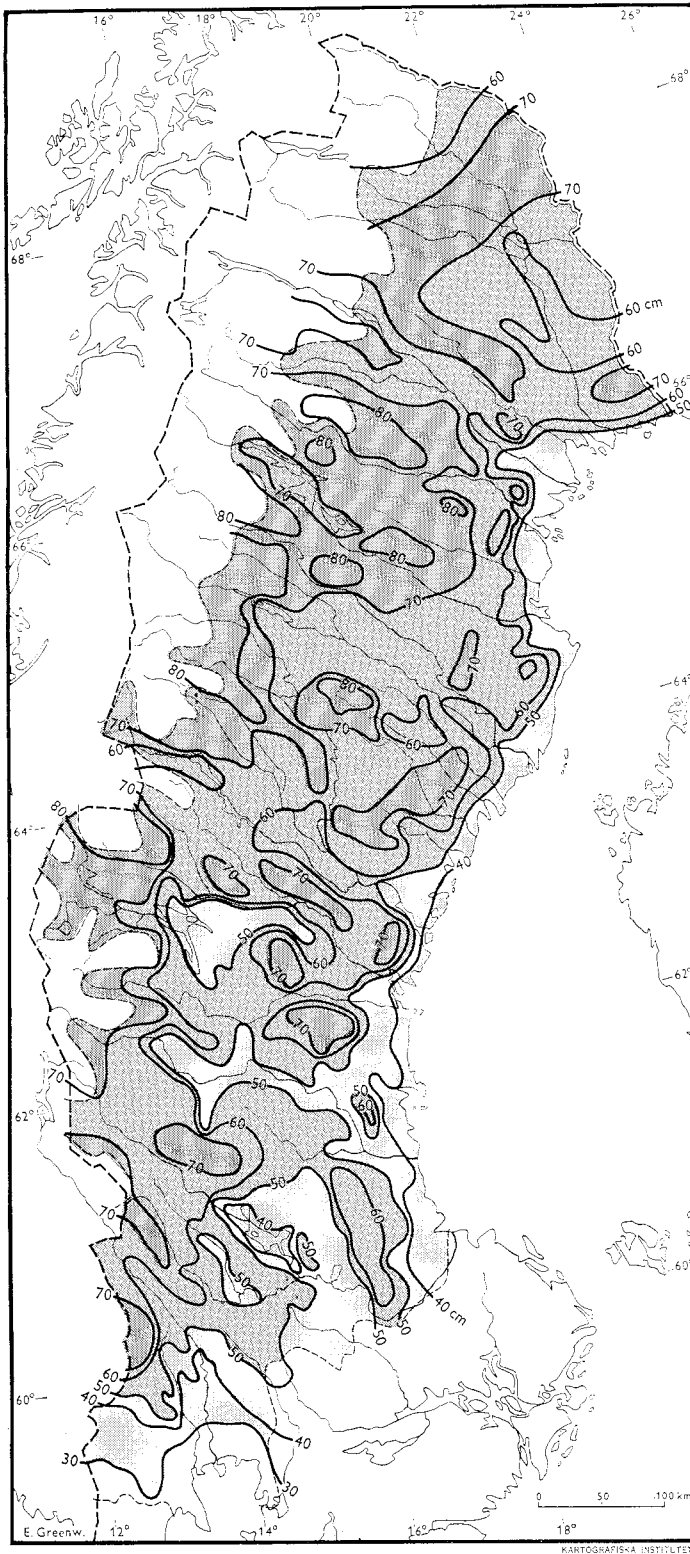


Fig. 5:2 b  
Medelsnödjup 31  
januari (1932—  
1959).

Mean snow depth  
on January 31st  
(1932—1959).



45

Fig. 5: 2 c  
Medelsnödjup  
28 februari  
(1932—1959)  
Mean snow depth  
on February 28th  
(1932—1959)

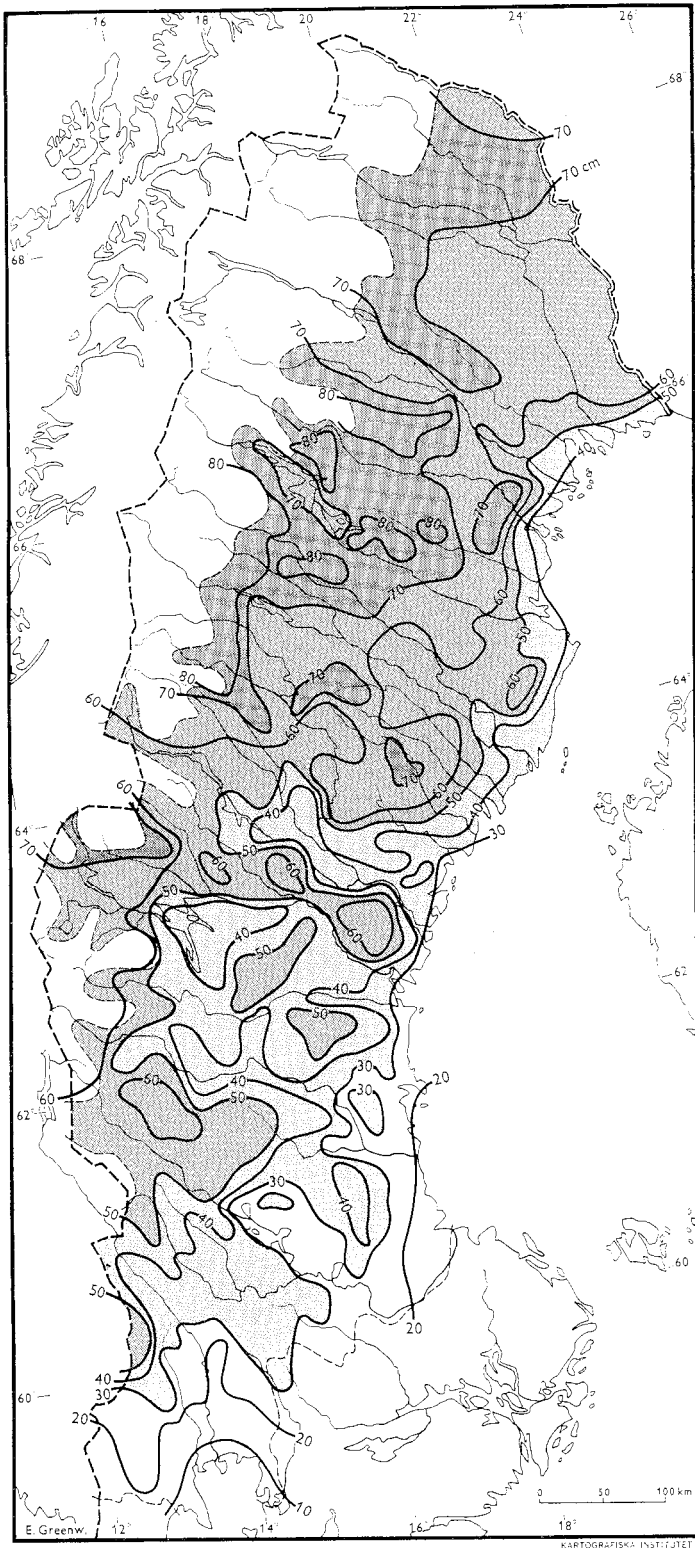


Fig. 5:2 d  
Medelsnödjup  
31 mars (1932—  
1959)  
Mean snow depth  
on March 31st  
(1932—1959)

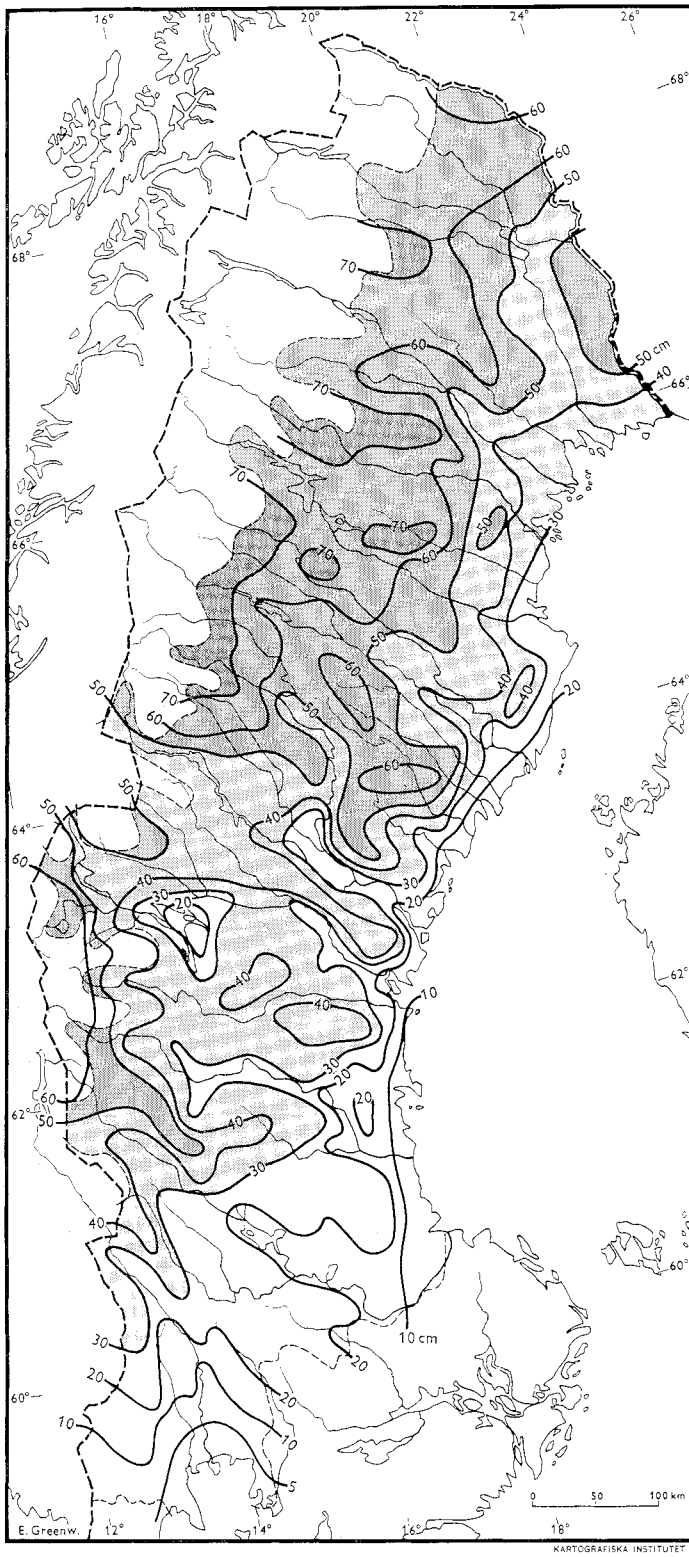


Fig. 5: 2 e  
Medelsnödjup  
15 april (1932—  
1959)  
Mean snow depth  
on April 15th  
(1932—1959)

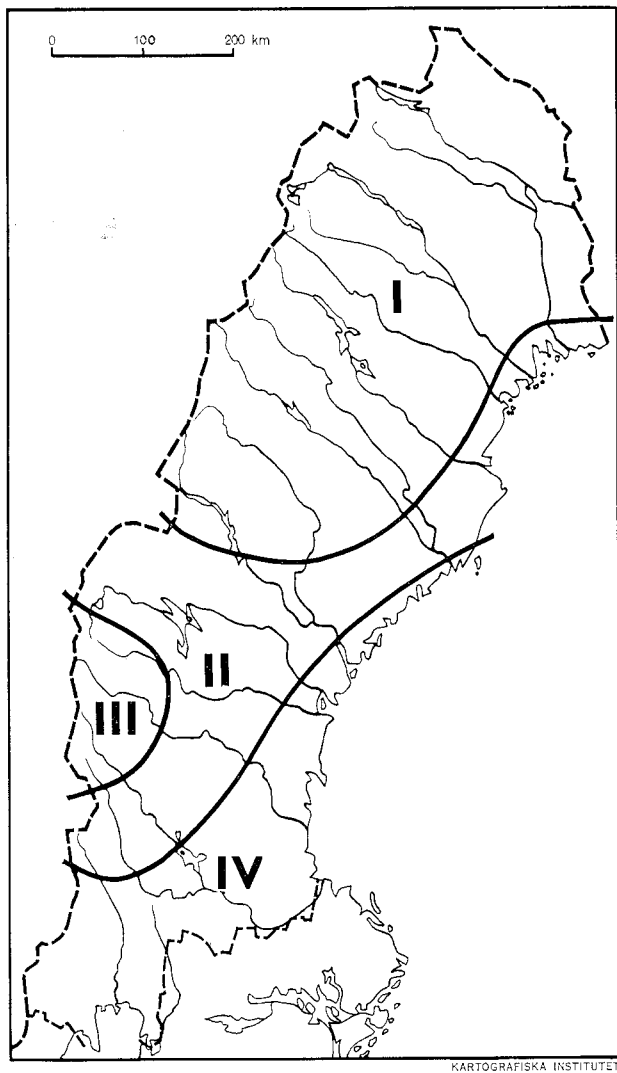


Fig. 5: 3 Regionindelning lämplig för bedömning av frekvenser av olika snödjup vid olika tidpunkter enl. fig. 5: 4.  
 Regional division suitable for estimation of frequencies of different snow depths at various dates according to fig. 5: 4.

#### 5.2.4 Variation i snödjup från år till år

I fig. 5: 1 redovisades för de 79 SMHI-stationerna frekvenspolygoner över snödjupet vid olika tidpunkter. För att åstadkomma en mer överskådlig bild av snödjupets variationer från år till år gjordes följande syntes av materialet. Området delades in i 4 regioner (fig. 5: 3). För varje region grupperades

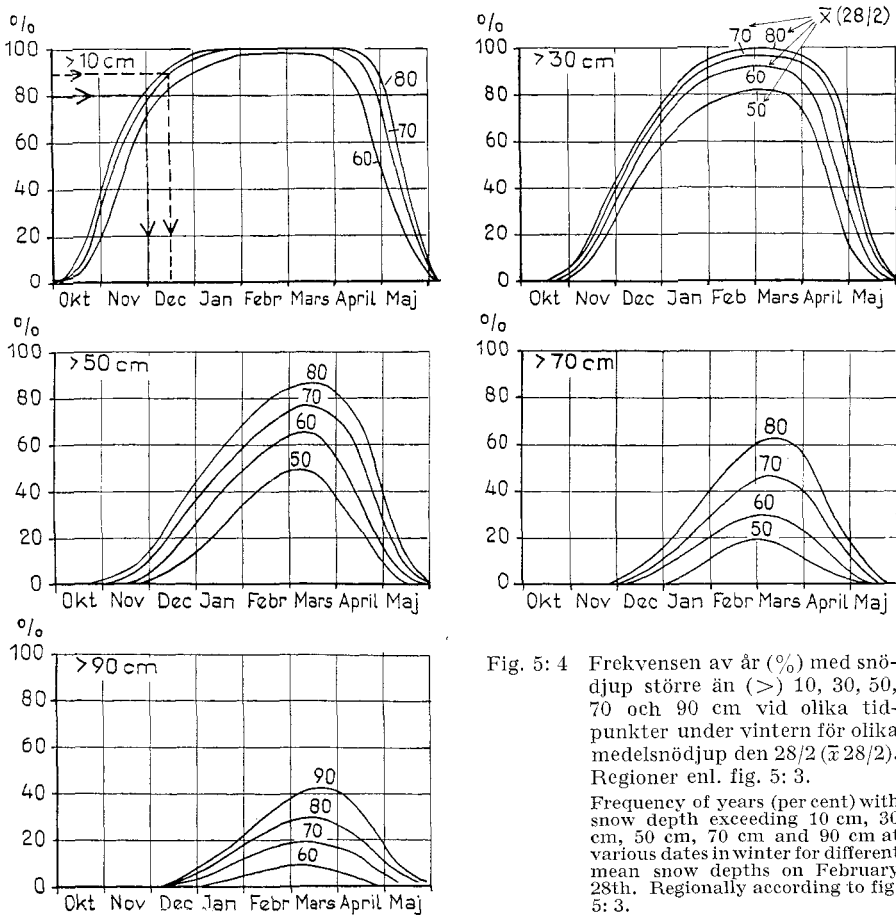


Fig. 5: 4 Frekvensen av år (%) med snödjup större än ( $>$ ) 10, 30, 50, 70 och 90 cm vid olika tidpunkter under vintern för olika medelsnödjup den 28/2 ( $\bar{x}$  28/2). Regioner enl. fig. 5: 3.

Frequency of years (per cent) with snow depth exceeding 10 cm, 30 cm, 50 cm, 70 cm and 90 cm at various dates in winter for different mean snow depths on February 28th. Regionally according to fig. 5: 3.

#### REGION I och III

SMHI-stationerna med hänsyn till medelsnödjupet 28/2 i klasser omfattande alla förekommande 5- och 10-tal cm  $\pm$  2 cm. För varje klass (exv. för  $50 \pm 2$  cm) beräknades sedan de genomsnittliga frekvenserna för antalet år med snödjup överstigande olika gränser vid olika tidpunkter. SMHI-stationer, vilkas snödjup enligt tab. 5: 4 (bilaga 5) var mindre än 75 % av den omgivande skogsmarkens snödjup, uteslöts därvid ur materialet. Resultaten (efter grafisk utjämning) redovisas i fig. 5: 4 för olika medelsnödjup 28/2 och berörda 4 regioner. Med stöd av kartan över medelsnödjupet 28/2 (plansch I B) samt fig. 5: 4 kan sannolikheten att erhålla visst snödjup vid viss tidpunkt approximativt bedömas för en godtyckligt vald plats. Fig. 5: 4 möjliggör därvid en tillfredsställande prognos för tidpunkter under för- och högvintern. För snösmältningsperioden är däremot materialet mindre användbart för lokala

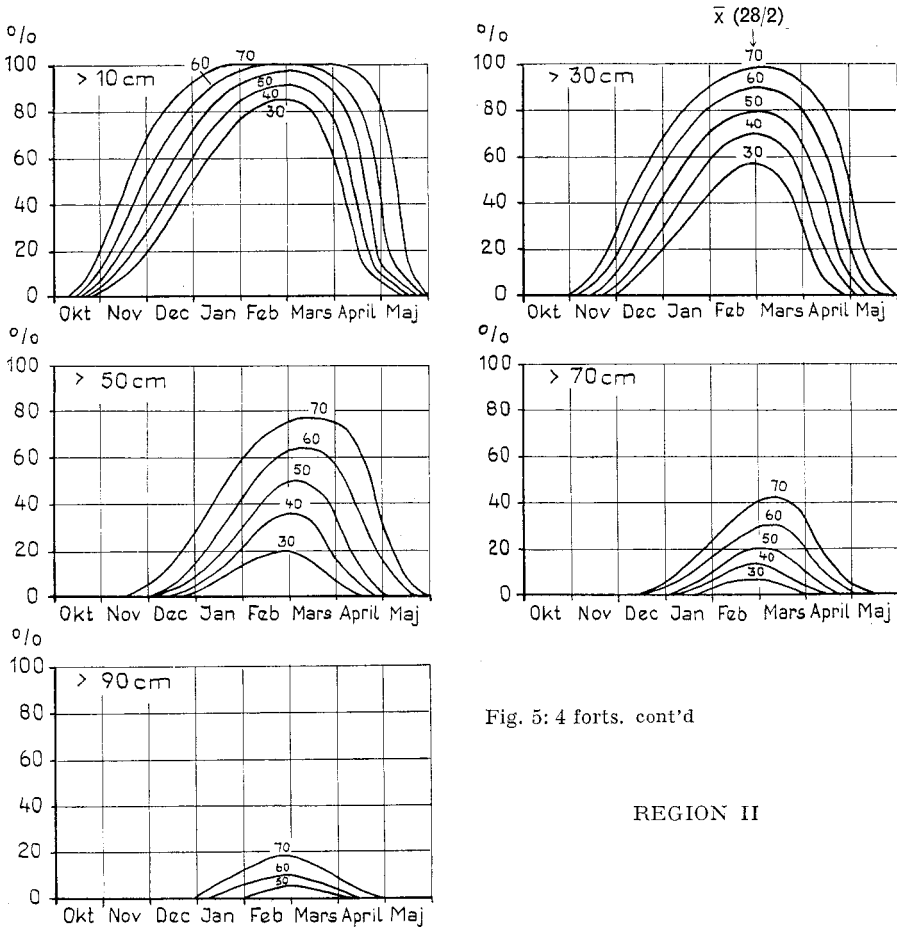


Fig. 5: 4 forts. cont'd

## REGION II

prognosser, emedan den lokala exponitionen (exv. sydlut eller nordlut) har avgörande betydelse för hur snabbt snötäcket avtar i tjocklek på den enskilda platsen.

### 5.2.5 Årligt maximisnödjup

Ur observationsmaterialet från skogstrakterna kunde maximidjupet ofta ej erhållas, varför en annan väg valdes att söka få representativa data för skogsområdena. Ett studium av SMHI:s material visade att medeltalet även som det högsta och det lägsta värdet av de årliga maximidjupen under 28-årsperioden var väl korrelerat med medelsnödjupet 28/2. På detta sätt kunde en uppskattning av de olika slagen av maximidjup erhållas för skogstrakterna med stöd av uppskattningarna över medelsnödjupet 28/2. Detta enkla

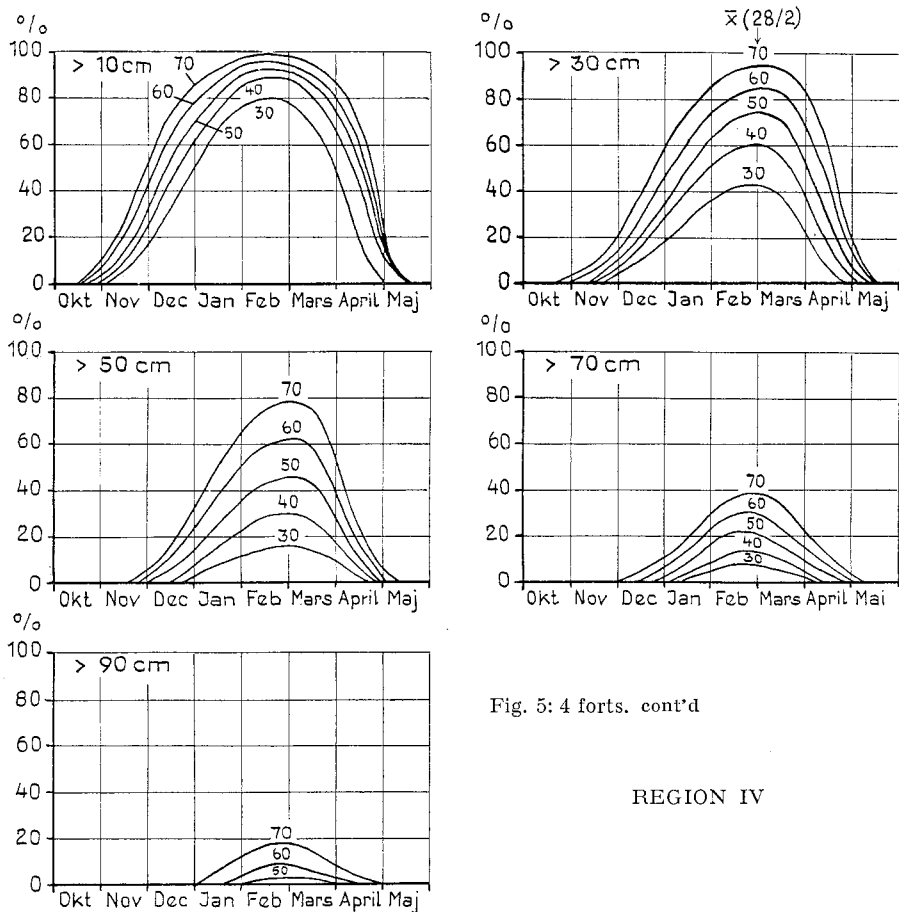


Fig. 5: 4 forts. cont'd

## REGION IV

förfarande har bedömts ge godtagbart representativa data för skogsområdena. I fig. 5: 5 a—c redovisas isolinjer för det högsta värdet, medeltalet och det lägsta värdet av de årliga maximidjupen under 28-årsperioden.

Isokroner över den genomsnittliga tidpunkten för maximisnödjupets uppnäende enligt SMHI:s observationsmaterial redovisas i fig. 5: 6.

Av materialet framgår att årets maximidjup i medeltal är 80—100 cm i större delen av norra och mellersta Norrland. Långt ned i södra Norrland och Dalarna förekommer »öar» med mer än 80 cm. Södra Norrlands kustland, Siljansområdet och södra Värmland uppvisar de lägsta värdena — 50—60 cm. Vinterns maximum inträffar i genomsnitt under första hälften av mars i norra och mellersta Norrland, under senare hälften av februari i södra Norrland, Dalarna och Värmland. Det största maximidjupet är 140—180 cm i de nordvästra delarna och 100—120 cm i de sydliga.

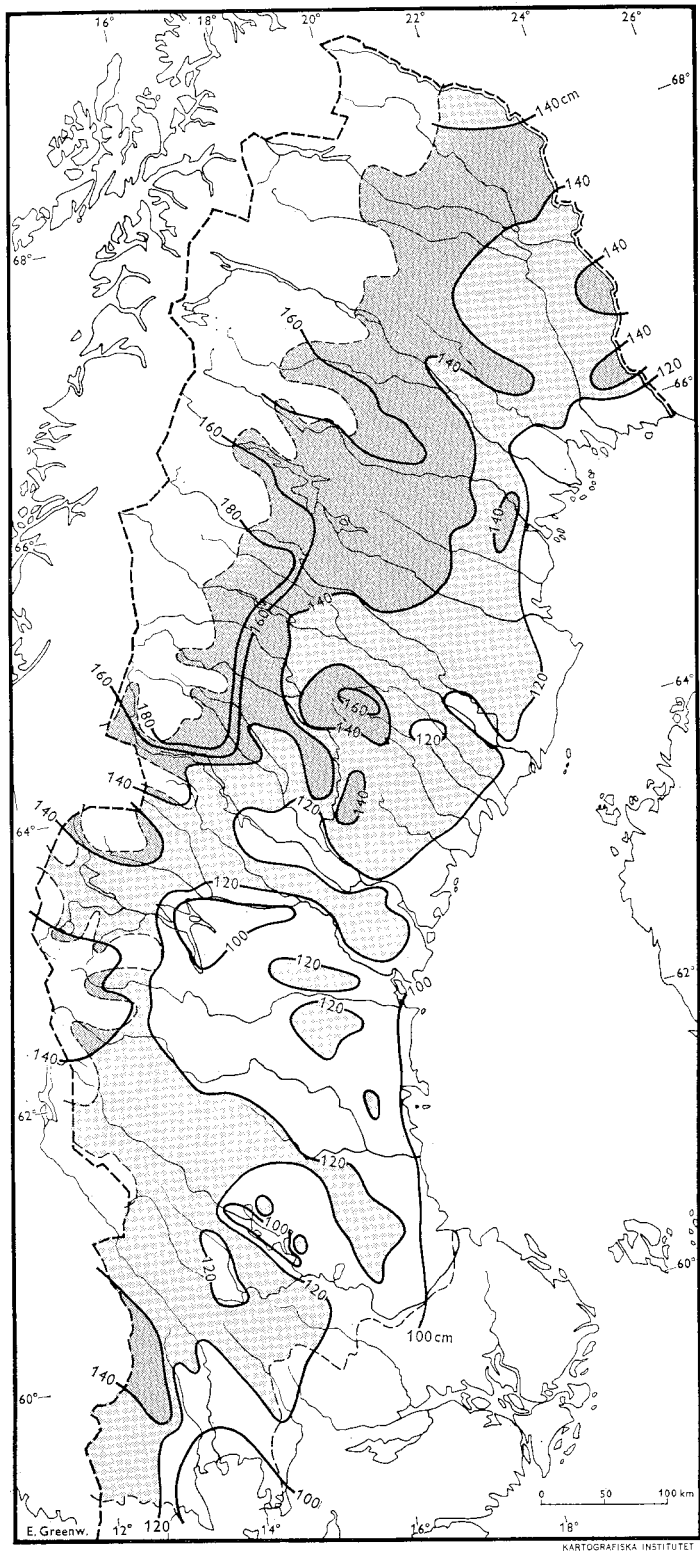
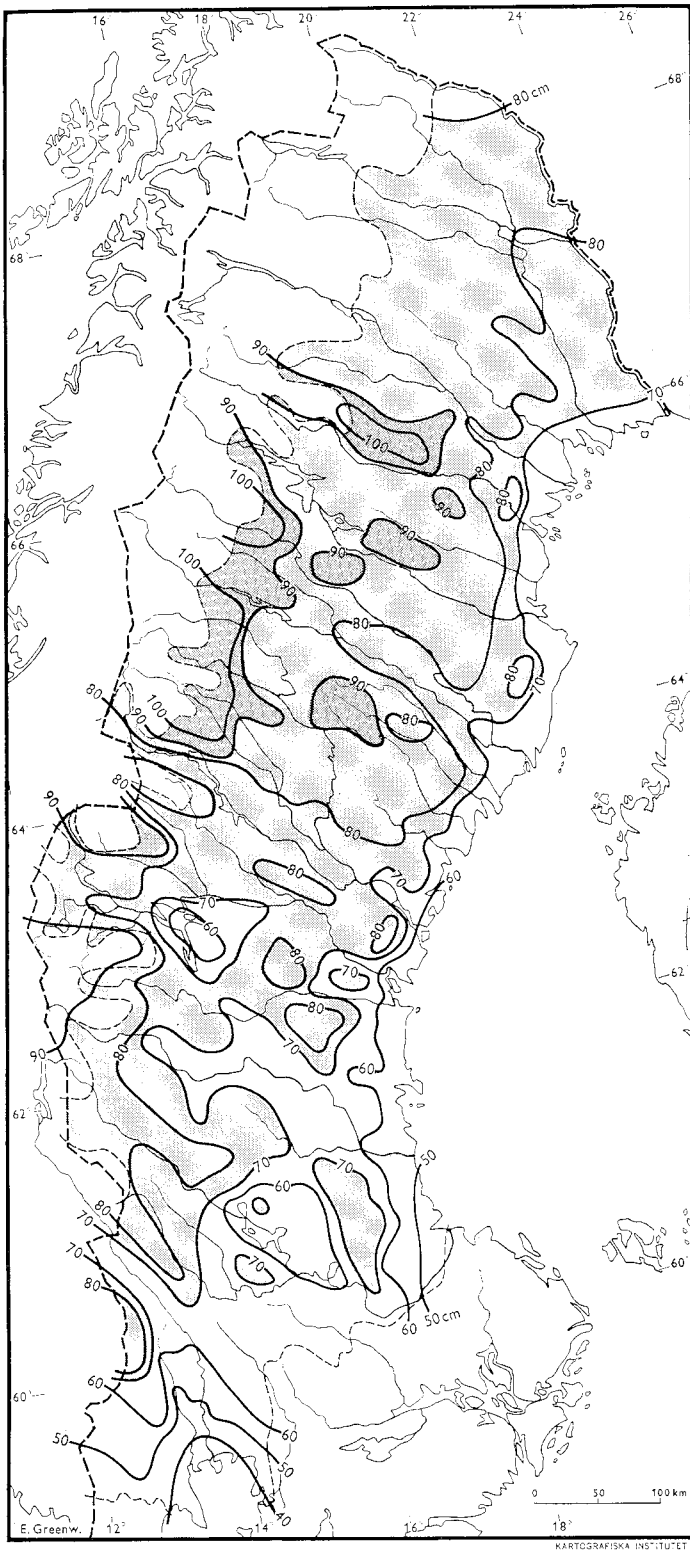


Fig. 5:5 a  
Högsta värde av  
årliga maximis-  
nödjup 1931/32  
—1958/59

Highest value of  
annual maximum  
snow depths,  
1931/32—1958/59.



53

Fig. 5: 5 b  
Medeltal av årliga maximisnödjup 1931/32—  
1958/59  
Average annual  
maximum snow  
depths 1931/32—  
1958/59.

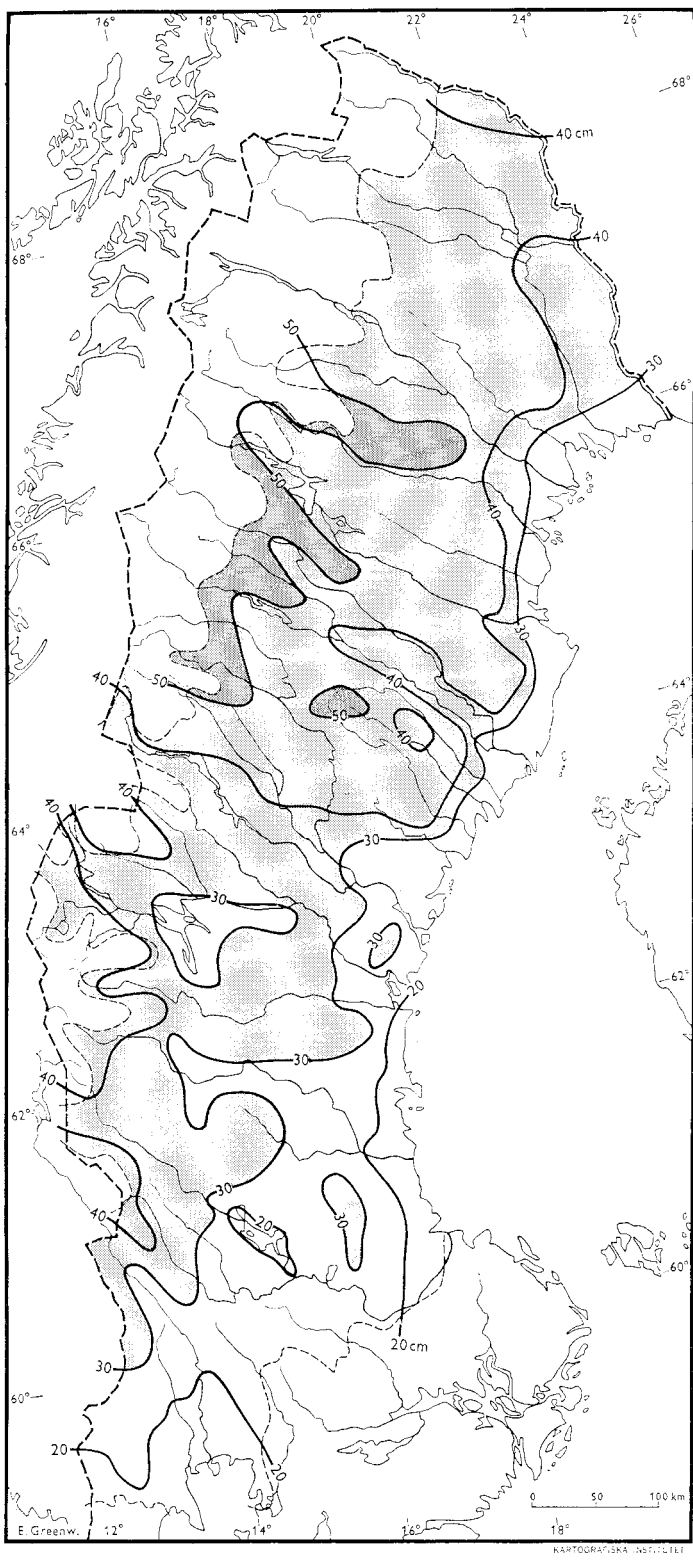


Fig. 5:5 c  
Lägsta värde av  
årliga maximis-  
nöddep 1931/32  
—1958/59

Lowest value of  
annual maximum  
snow depths  
1931/32—1958/59

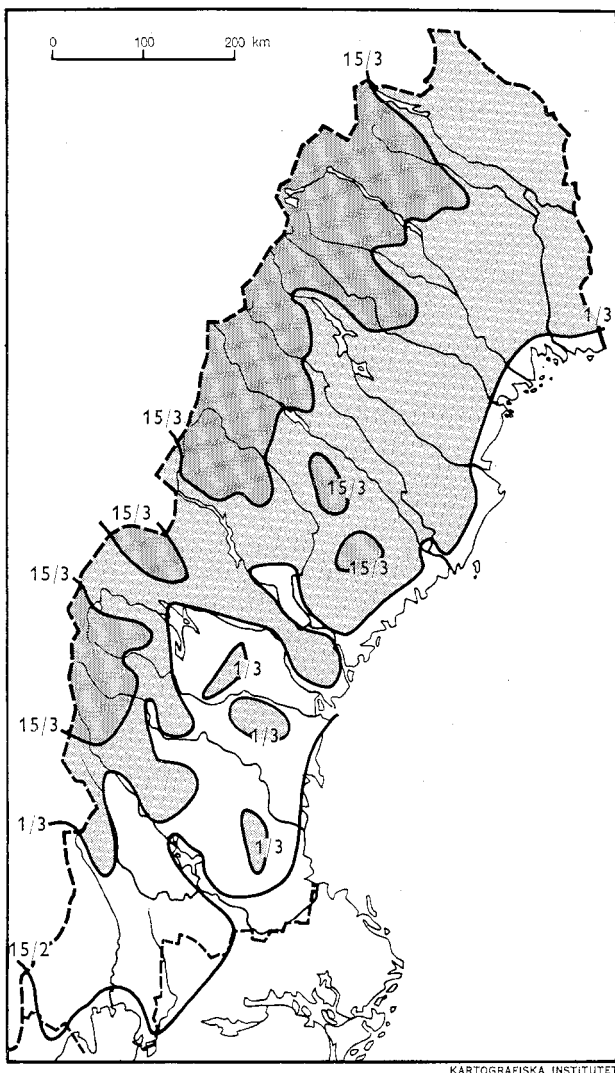


Fig. 5: 6 Medeltidpunkten för det årliga maximisnödjupet 1931/32—1958/59.  
Average date of the annual maximum snow depth 1931/32—1958/59.

### 5.3 Varaktigheten av olika snödjup

För att få fram data över varaktigheten av olika snödjup — utan att behöva tillgripa den arbetsdryga och kostsamma metoden att bearbeta SMHI:s grundmaterial — valdes följande metod. Som utgångsmaterial användes SMHI:s sammanställningar över snödjupet i mitten och slutet av varje månad under 28-årsperioden 1931/32—58/59. Varje sådan observation antogs

**Tab. 5:5 Medelantal dagar ( $\bar{x}$ ) per år med snödjup överstigande olika gränser samt variationskoefficient ( $V$ ); verkligt och beräknat antal.**

Mean annual number of days ( $\bar{x}$ ) with snow depth exceeding various limits and coefficient of variation ( $V$ ); real and calculated number.

Station	$\bar{x}$	Medelantal dagar med snödjup större än: Mean no. days with snow depth exceeding:					
		10 cm	30 cm	50 cm	70 cm	90 cm	
Karlstad.....	$\bar{x}$	verkl. real	37,8	9,5	1,2	0,2	0,0
		beräkn. calc.	39,6	9,1	1,1	0,0	0,0
	$V$	verkl. real	81,1	136,1	349,1	472,5	
		beräkn. calc.	75,2	151,1	515,5		
Härnösand.....	$\bar{x}$	verkl. real	102,1	56,1	21,1	6,6	0,75
		beräkn. calc.	106,1	54,1	18,2	6,4	1,1
	$V$	verkl. real	29,9	70,2	143,0	217,6	480,0
		beräkn. calc.	30,0	75,6	152,7	215,6	515,5
Östersund.....	$\bar{x}$	verkl. real	110,6	56,1	18,0	1,0	0,0
		beräkn. calc.	109,3	54,1	15,5	1,1	0,0
	$V$	verkl. real	35,8	86,7	135,7	414,0	
		beräkn. calc.	37,0	89,7	143,0	357,3	
Stensele.....	$\bar{x}$	verkl. real	152,5	100,5	51,3	19,4	2,2
		beräkn. calc.	153,2	100,7	52,0	18,8	2,7
	$V$	verkl. real	19,1	49,0	91,0	142,9	299,1
		beräkn. calc.	21,0	50,3	92,7	141,8	304,4





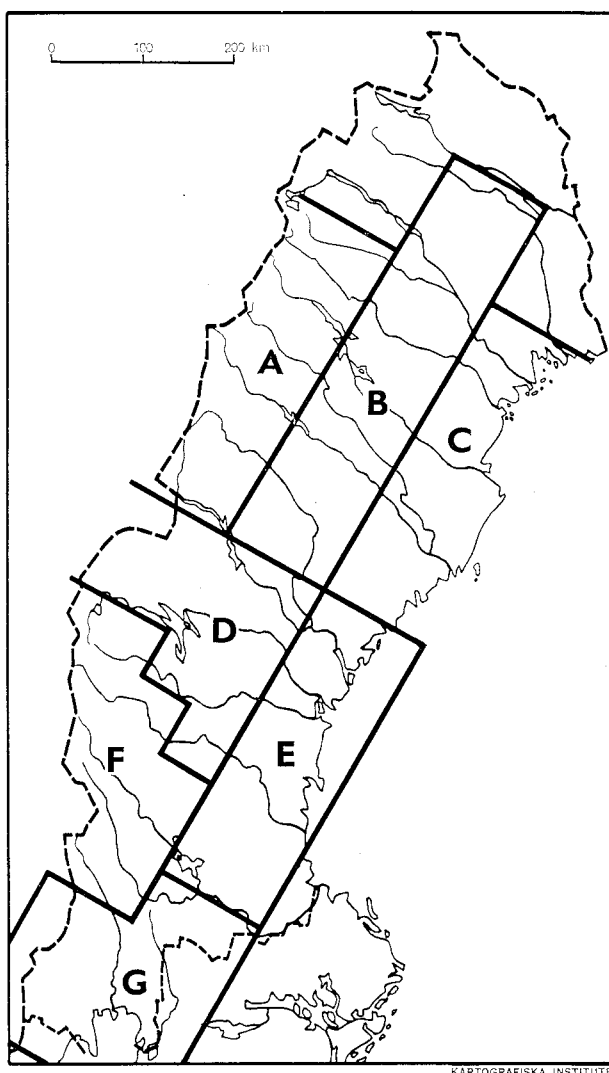


Fig. 5: 7 Regionindelning använd vid analys av varaktigheten av olika snödjup.  
Regional division used at the analysis of the duration of various snow depths.

För att få fram data, som bättre representerar skogsmarksarealen, förfors på följande sätt. För SMHI-stationerna undersöktes regionsvis enligt fig. 5: 7 — en förklaring till detta val av regioner lämnas på sid. 66 — sambandet mellan medelantalet dagar med snödjup överstigande olika gränser och medelsnödjupet vid olika tidpunkter. Det befanns att den bästa korrelationen erhölls för medelsnödjupet 28/2. Korrelationskoefficienten för sambandet

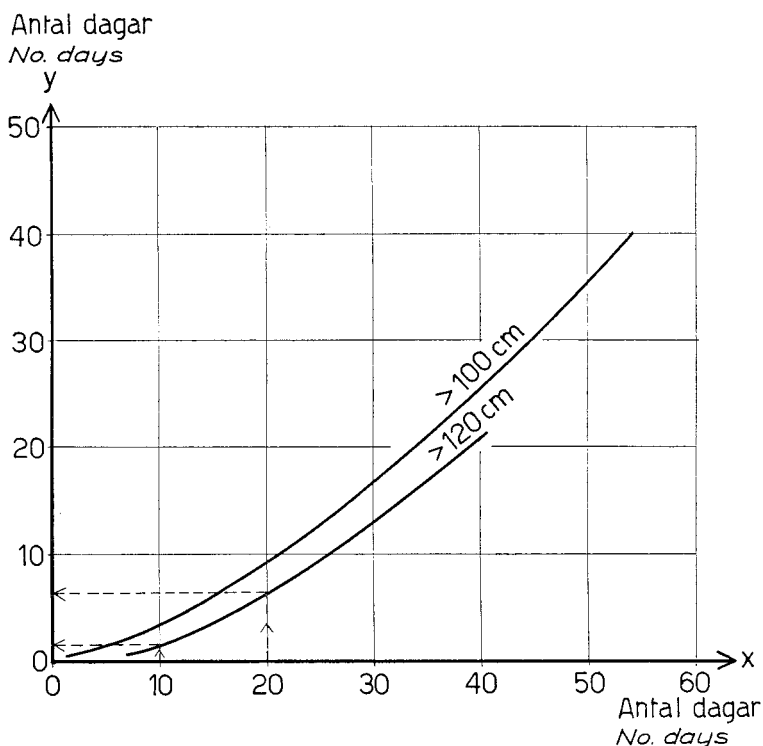


Fig. 5: 9 Medelantalet dagar per år med snödjup större än 100 resp. 120 cm (y) som funktion av medelantalet dagar med snödjup större än 90 cm (x).

Mean annual number of days with snow depth exceeding 100 cm and 120 cm resp. (y) in relation to the mean annual number of days with snow depth exceeding 90 cm (x).

mellan medelantalet dagar med snödjup överstigande 10 cm och medelsnödjupet 28/2 var 0,70—0,90. För medelantalet dagar med snödjup överstigande 30 cm erhölls 0,85—0,95 samt överstigande 50 cm och 70 cm 0,90 eller högre. För olika regioner redovisas i fig. 5: 8 (bilaga 6) grafiskt utjämna samband. Dessa användes sedan för uppskattning av medelantalet dagar överstigande olika gränser för skogstrakterna. I plansch II A—E (ficka) redovisas resultatet härav i form av kartor uttryckande medelantalet dagar med snödjup överstigande 10, 30, 50, 70 och 90 cm. Vid dragningen av isolinjerna har ingen hänsyn tagits till SMHI-stationer, som vid jämförelsen med skogstrakterna uppvisade signifikant avvikande snödjup eller uppvisade mer än 10 % avvikelse (jfr tab. 5: 4).

Med utgångspunkt från medelantalet dagar med snödjup större än 90 cm kan man med hjälp av fig. 5: 9 approximativt bestämma medelantalet dagar med snödjup överstigande 100 cm resp. 120 cm.

Beträffande varaktigheten av olika snödjup har data över spridningen

Variationskoefficient  
Coefficient of variation

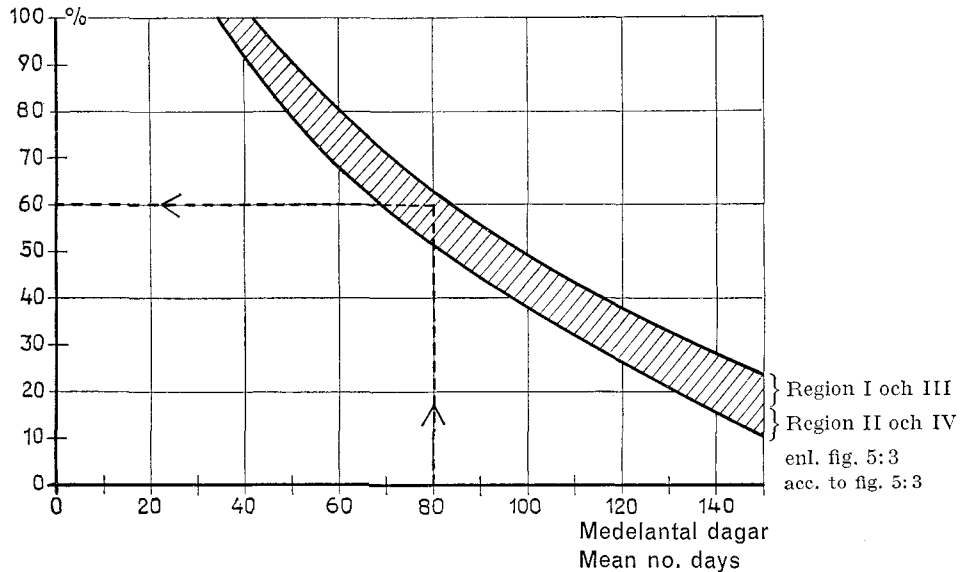


Fig. 5: 10 Närmevärden för variationskoefficienten vid olika medelantal dagar per år med snödjup överstigande olika värden.

Approximate values for the coefficient of variation at various mean annual numbers of days with snow depth above various values.

kring medelvärdena särskild betydelse. Fördelningarna jämfördes med normala fördelningar med hjälp av  $X^2$ -analys. Det visade sig då att fördelningarna avvek signifikant från normalfordelningen, så länge medelantalet dagar understeck omkring 50 dagar, medan signifikanta skillnader i regel ej erhölls för fördelningar med högre medelvärde. Denna gräns sammanfaller med att frekvensen i klassen 0 dagar blir 0 eller nära 0. Först ovanför denna gräns blir alltså standardavvikelsen ( $s$ ) mer användbar i kalkylsammanhang (jfr sid. 23).

Vid undersökning av spridningarna i materialet visade det sig att standardavvikelsen för ett givet medelantal dagar inte var mer beroende av stationens geografiska belägenhet än att man kunde ställa upp ett överslagsmässigt samband enligt fig. 5: 10. För regionerna I och III enligt fig. 5:3 gäller den övre delen av det angivna registret och för regionerna II och IV den nedre delen.

Om man känner medelantalet dygn med snödjup överstigande viss gräns, kan man få en approximativ uppgift om det maximala antalet dygn med snödjup överstigande denna gräns genom att multiplicera medelantalet med den kvot som redovisas i fig. 5: 11. Sambandet i fig. 5: 11 gäller praktiskt taget oberoende av vilket snödjup man väljer.

Kvoten max:medel  
*Ratio max:average*

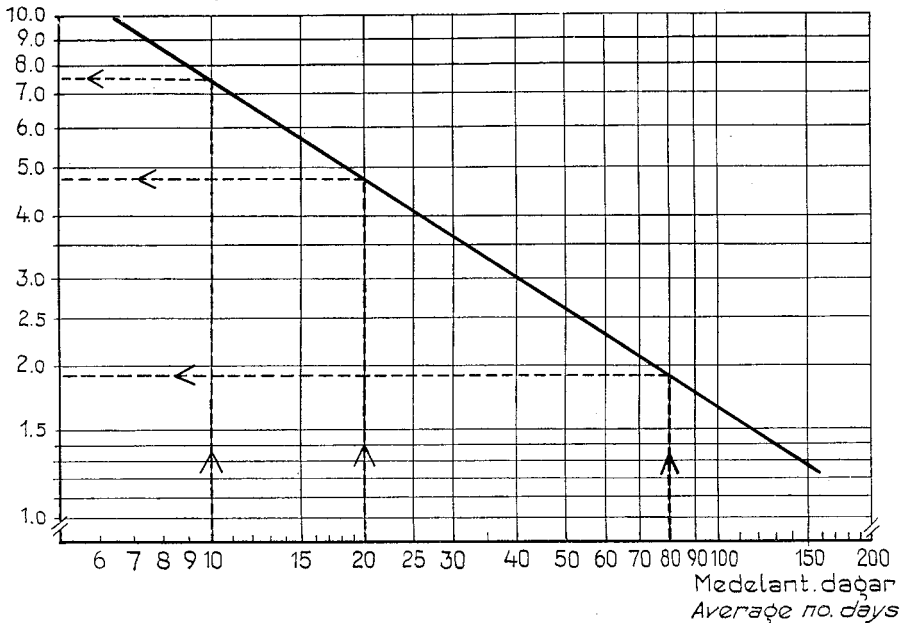


Fig. 5:11 Kvoten mellan maximalt antal dygn\* och medelantalet dygn per vinter med snödjup överstigande olika värden som funktion av medelantalet dygn 1931/32—1958/59.

Ratio between maximum number of days and mean annual number of days with snow depth above various values in relation to the mean number of days; period 1931/32—1958/59.

#### 5.4 Snödjupets förändring med höjdläget

Med syfte att granska sambandet mellan snödjup och höjdläge gjordes följande studie. På en karta i skala 1 : 1 000 000 med nivåkurvor på 33, 100, 200, 300, 500, 700 och 1 000 m inprickades inom det skuggade området i fig. 5: 12 de uppskattade medelsnödjupen vid olika tidpunkter för skogstrakterna (jfr sid. 42—48). Området indelades i 5 regioner (se fig. 5: 12). För varje region beräknades medelsnödjupet inom höjdlägesklasserna 0—33, 33—100 etc. Det visade sig att å ena sidan regionerna a och b, å andra regionerna c, d och e kunde betraktas som homogena grupper av regioner med hänsyn till riktningen och styrkan av sambandet mellan snödjup och höjdläge. Det absoluta snödjupet varierade emellertid inom grupperna. På grund av materialets ringa storlek var en sammanslagning av materialet inom resp. grupp önskvärd. Därför beräknades ett relativt snödjup för varje region och höjdlägesklass, varvid snödjupet inom klassen 300—500 m, som genomgående hade den högsta frekvensen, sattes = 100. Resultatet redovisas i tab. 5: 7.

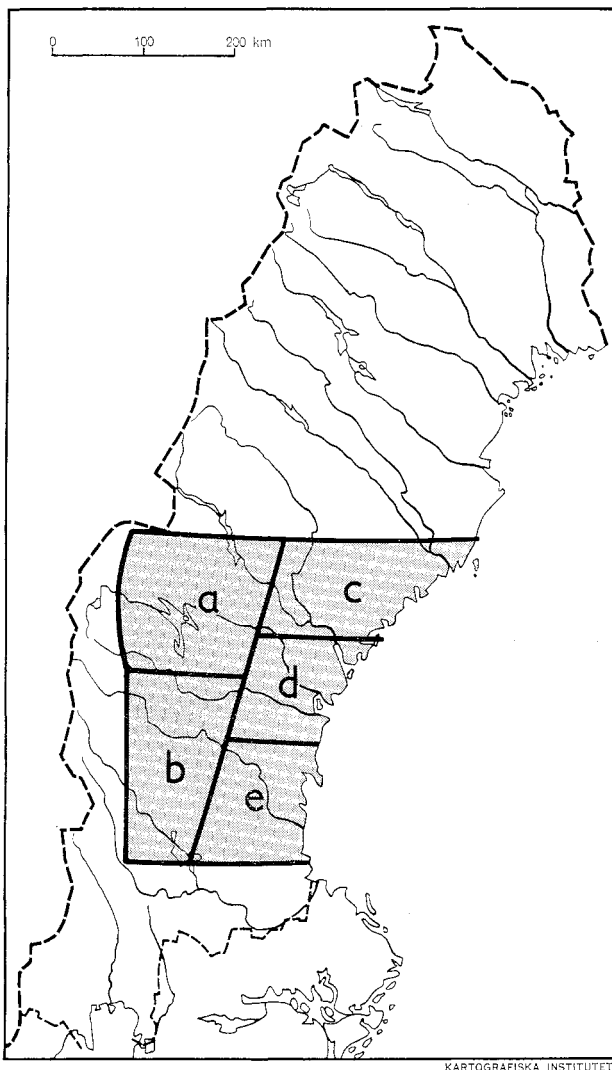


Fig. 5:12 Regionindelning vid studium av sambandet mellan snödjup och höjdläge.  
Regional division applied at a study of the relationship between snow depth and altitude.

Av tabellen framgår att snödjupet ökar förhållandevis kraftigt med ökande höjd över havet. För tidpunkterna 15/12, 31/1 och 15/4 är materialet alltför litet och/eller spridningarna alltför stora för att man med en godtagbar grad av säkerhet skall kunna ange den genomsnittliga förändringen. För tidpunkten 28/2 — den mest intressanta med hänsyn till tidigare redovisade data (jfr sid. 48—49 och 59—60) — ansågs materialet emellertid vara till-

**Tab. 5:7 Relativa snödjup för olika höjdlägesklasser och tidpunkter under vintern. Regioner enl. fig. 5:12.**

Relative snow depth for various altitudinal classes and for various dates in winter. Regionally according to fig. 5: 12.

Höjdläge m. ö. h. Altitude m	Region a + b								Region c + d + e							
	15/12		31/1		28/2		15/4		15/12		31/1		28/2		15/4	
	n	Rel.	n	Rel.	n	Rel.	n	Rel.	n	Rel.	n	Rel.	n	Rel.	n	Rel.
0— 33 ...											5	73,3	1	58,7		
33— 100 ...											12	83,0	14	73,3	1	89,1
100— 200 ...											26	101,5	14	78,4	6	68,2
200— 300 ...	4	92,4	5	93,8	10	91,9	2	72,7	7	78,8	37	93,6	43	93,7	10	71,1
300— 500 ...	14	100	64	100	73	100	22	100	19	100	58	100	68	100	11	100
500— 700 ...	4	108,6	23	101,8	33	111,1	10	143,0					1	100,5		
700—1 000 ...	1	106,9	8	106,6	9	114,0	5	91,8								

n = antal observationer.  
no. observations

Rel. = relativt snödjup.  
relative snow depth

Rel. snödjup  
Rel. snow depth

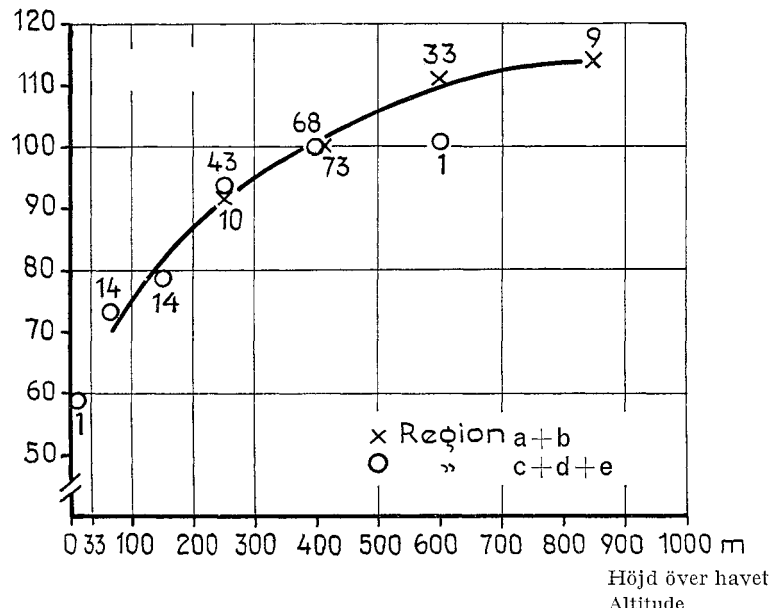


Fig. 5:13 Relativa snödjupet 28 februari som funktion av höjdläget.  
Relative snow depth on February 28th in relation to altitude.

Siffrorna anger antalet observationer.

The figures indicate the number of observations.

**Tab. 5:8 Undersökning av trend under 28-årsperioden  
1931/32—1958/59; regressionskoefficienter för utvalda stationer**

i ekvationen  $y = a + bx$  där

$y$  = snödjupets årliga maximum

$x$  = årssiffran (1932, 33, 34 osv.)

$b$  = regressionskoefficient

$a$  = konstant

Investigation of trend during the 28-yearperiod  
1931/32—1958/59; Coefficients of regression, for specific  
stations, in the equation  $y = a + bx$  where

$y$  = Yearly maximum of snow depth

$x$  = Year no. (1932, 33, 34 etc.)

$b$  = Coefficient of regression

$a$  = Constant

Station	$b$	Hypotes Hypothesis $b = 0$
Karlstad.....	0,490	accepteras accepted
Knon.....	0,006	»
Härnösand.....	1,093	förförkastas rejected
Östersund.....	0,627	accepteras accepted
Jokkmokk.....	-0,359	»
Stensele.....	1,090	förförkastas rejected
Haparanda.....	0,626	accepteras accepted
Karesuando.....	0,310	»

räckligt stort för detta ändamål. I fig. 5:13 redovisas det relativt snödjupet 28/2 som funktion av höjden över havet. Kurvan har erhållits genom grafisk utjämning.

### 5.5 Snödjupets förändring under perioden 1931/32—1958/59

För att utröna huruvida en systematisk förändring av snödjupet ägt rum under den aktuella perioden 1931/32—1958/59 beräknades för 8 stationer inom området regressionskoefficienten för det linjära sambandet mellan det årliga maximala snödjupet och årssiffran samt undersöktes huruvida regressionskoefficienten avvek signifikant från 0. Resultaten framgår av tab. 5:8.

En ökning av snödjupet kunde konstateras för alla stationer utom en. För 2 av stationerna var denna stegning signifikant på 95 %-nivån, för 1 indikativ på 90 %-nivån. Detta ger en antydan om att en ökning av snödjupet verkligen kan ha ägt rum under perioden. Enligt undersökningar av långtidsför-

ändringar av klimatet (»Atlas över Sverige», SMHI opubl., etc.) är emellertid denna eventuella trend sannolikt kortsiktig, varför några större korrigeringar av de snödjupsdata som erhållits ur föreliggande undersökningsmaterial ej behöver vidtagas, när dessa data användes för prognoser. En svag korrigering mot större snödjup kan möjligen vara aktuell.

### 5.6 Snöns konsistens

*A. och H. E. Hamberg* har i var sitt arbete beskrivit vissa egenskaper hos snötäcket i Lappland. Det ena arbetet (A. Hamberg 1907) baseras på 4 års studier i Sarekområdet under mars—april, det andra (H. E. Hamberg 1912) på en enkät rörande förekomsten av skare och flen (isbildning på marken) samt vissa fältobservationer under 1910 och 1911. Dessa författare konstaterar att snön i barrskogarna i Lappland under hela vintern, ofta ända till slutet av april, är mycket lös. Skare förekommer ibland under högvintern men bildas i regel först i april.

På skogstrakterna (SDA:s och VeVeBe:s) observerades även snöns konsistens, varvid följande klassindelning tillämpades:

- »Lös, torr snö»
- »Lös, blöt snö»
- »Skare, ej bärig»
- »Skare, bärig»
- »Övrigt»

Med bärig skare avsågs att skaren bar en gående mansperson. »Skare, ej bärig» antecknades när skaren ej bar en mansperson, men var så kraftig att den försvårade förflyttningen. Beteckningen »lös, blöt snö» användes, även om endast snötäckets ytskikt var blött. Denna indelning är mycket grov, men ger ändå vissa upplysningar av värde över snöns egenskaper som arbets- eller förflyttningsmedium. När snökonsistensen varierat under arbetsdagen har som regel den klass valts som dominérat under dagen.

För bearbetning utvaldes 10-årsperioden 1946/47—1955/56. En indelning företogs i ett 30-tal lika stora, kvadratiska rutor med 60 km sida. För varje ruta beräknades medelfrekvensen för 10-årsperioden av olika snötyper månadsvis. Efter granskning av materialet skedde en sammanslagning av rutorna till möjligast homogena grupper. Den områdesindelning A—G, som därvid erhölls, har tidigare redovisats i fig. 5: 7.

I fig. 5:14 visas de genomsnittliga frekvenserna av olika snökonsistens regions- och månadsvis. Frekvensen för »övrigt» har därvid ej medtagits i diagrammet (framgår dock i tab. 5: 9). Av figuren framgår att den lösa, torra snön dominrar (70—90 %) inom hela området under januari och febru-

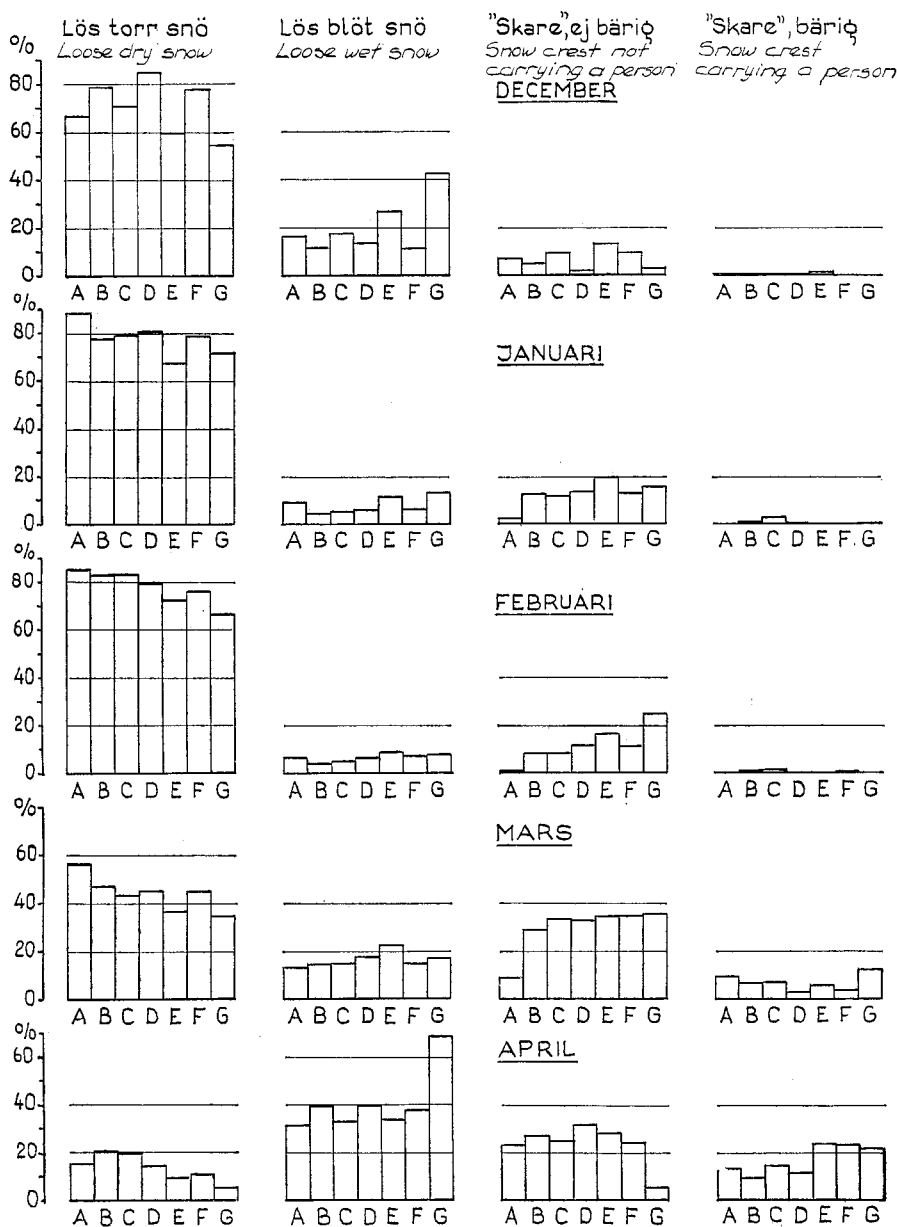


Fig. 5:14 Fördelningen för olika snökonsistens månadsvis inom områdena A—G enl. fig. 5:7.  
Regional (cf. fig. 5:7) distribution of various snow textures by months.



ari. Den uppvisar den högsta frekvensen även under december och mars. Bärig skare är sällsynt december—februari.

I tab. 5:9 anges det totala antalet observationer, genomsnittsfrekvenserna samt största och minsta frekvensens månadsvis av resp. snöökonsistens under 10-årsperioden. Yttervärdena har dock endast angivits för de fall där minst 100 observationer förekommit under varje år av 10-årsperioden, för att uppgifterna skall vara någorlunda representativa för de olika månaderna och områdena.

## Kap. 6. Översikt och tillämpningsexempel

I föreliggande utredning över klimatet i Norrland, Dalarna och Värmland har framförallt sådana klimatkriterier valts som har intresse i skogstekniska sammanhang, dvs. som har betydelse för virkets avverkning och transport. I detta kapitel ges en översikt över innehållet i arbetet samt tillämpningsexempel. Dessutom lämnas hänvisningar till i sammanhanget aktuell litteratur.

### 6.1 Allmänt om materialets användning

De klimatdata som redovisas i detta arbete har i första hand följande tillämpning.

Uppgifter över klimatet kan vara vägledande vid utformning av *metoder och maskiner för virkets avverkning och transport*. När man exempelvis vill dimensionera en traktor för åretrund drift i Norrland, är kännedom om frekvensen av olika snödjup av väsentlig betydelse. Vidare kan en maskintillverkare, som under en särskilt kall vinter fått in rapporter om skador på en viss detalj, ha nyttåvatt att få reda på hur ofta kritiska temperaturer inträffar på längre sikt och med stöd härväg bedöma om en konstruktionsändring e. d. är nödvändig.

Vid *planläggning av skogsdrivningarna* kan lämpliga klimatdata användas på flera olika nivåer. Den högsta nivån representeras kanske av ett val mellan olika typer av avverkningssystem för landet i dess helhet. Det enskilda företaget eller den enskilda virkesdrivaren behöver vidare underlag för val av de metoder och maskintyper, som skall användas under de närmaste åren. Frekvensdata över temperatur, snödjup etc. kan också användas vid den årliga planläggningen av drivningarna. Man kan bland annat bedöma vid vilken tidpunkt man med en viss sannolikhet har snöföre eller når ett snödjup av kritisk storlek. När man kommer in på den mycket kort-siktiga planläggningen, exempelvis för den närmaste månaden, har löpande väderleksprognos och personlig erfarenhet med utgångspunkt från rådande väderleksförhållanden större prognosvärde än här redovisade klimatdata.

### 6.2 Temperatur

Såsom temperaturmått förekommer i detta arbete genomgående dygnets maximitemperatur och minimitemperatur. Belägenheten av de 26 stationer

som använts vid bearbetningen av temperaturdata framgår av kartan i fig. 2:1 (se även förteckning i bilaga 1). Samtliga temperaturuppgifter berör endast vinterhalvåret november—april. Beträffande temperaturer för övriga månader hänvisas till »Atlas över Sverige» blad 25—26 och 27—28.

Relativa frekvensen (procent) av dygn per månad med temperatur underliggande olika värden visas för samtliga stationer i fig. 2:2 (sid. 16-22). Denna figur anger medeltalet ( $\bar{x}$ ) för 30-årsperioden 1929/30—1958/59. När man känner medeltalet, kan spridningen kring detta i form av standardavvikelsen ( $s$ ) uppskattas med hjälp av fig. 2:3 (sid. 23). Intervallet  $\pm 1 s$  omfattar ungefärligen  $68\%$  av variationsområdet, intervallet  $0,675 s$  ca  $50\%$  och  $\pm 2 s$  ca  $95\%$  (jfr vidare tillämpningsexempel 1). Fig. 2:3 bör endast tillämpas för spridningsanalyser när den relativ frekvensen är mellan 15 och 85 %, dvs. ungefärligen mellan 5 och 25 dygn för en 30 dagars månad.

*Ex. 1* Hur många dygn med minimitemperatur underliggande  $-20^{\circ}\text{C}$  kan man påräkna i Jokkmokk i februari dels i medeltal, dels under en särskilt kall vinter?

Enl. fig. 2:2 sid. 20 är det efterfrågade medeltalet ( $\bar{x}$ ) ungefärligen  $43\%$ , dvs.  $0,43 \times 28 = 12,0$  dagar. Standardavvikelsen ( $s$ ) är enl. fig. 2:3 ca  $6,5$  dagar. Man har omkring  $68\%$  chans att hamna innanför intervallet  $\bar{x} \pm 1 s$  (2 år av 3) och  $32\%$  chans (1 år av 3) att komma utanför detta intervall under en enskild februari månad (jfr sid. 23).

Detta innebär här att man under 2 år av 3 kan förvänta att antalet dygn med minimitemperatur lägre än  $-20^{\circ}\text{C}$  ligger mellan  $5,5$  och  $18,5$  dagar. Under 1 år av  $6-7$  ( $\approx 16\%$  chans) kan man således påräkna fler än  $18,5$  sådana dygn. Emedan  $\pm 2 s$  omfattar  $95\%$ , är chansen  $\approx 2,5\%$  att få en februari månad med fler än  $25$  dygn ( $\bar{x} + 2 s$ ) med denna temperatur, dvs. det inträffar 1 år av 40.

Antal dygn (medeltal samt högsta och lägsta värden 1929/30—1958/59) under vinterhalvåret november—april med maximi- eller minimitemperaturer lika med och lägre än  $\pm 0,0^{\circ}$ ,  $-10,0^{\circ}$ ,  $-20,0^{\circ}$  och  $-30,0^{\circ}\text{C}$  framgår av tab. 2:2 (sid. 24) och för gränserna  $-10,0^{\circ}$  och  $-20,0^{\circ}\text{C}$  även av kartorna i fig. 2:4 (sid. 25-28). Vad gäller maximi- och minimitemperatur av  $\pm 0,0^{\circ}$  eller lägre och minimitemperatur av  $-10,0^{\circ}$  eller lägre förekommer dygn med sådana temperaturer även utanför den valda perioden, medan för övriga temperaturgränser antalet dygn för november—april är ungefärligen detsamma som för hela året.

*Ex. 2* Hur många dygn med maximitemperatur av  $-10,0^{\circ}\text{C}$  eller lägre kan man påräkna i Arvidsjaur—Jokkmokk-området under hela vintern?

Kartan i fig. 2:4 visar att något mer än 40 dygn i genomsnitt har en maximitemperatur  $\leq -10,0^{\circ}\text{C}$ . Enl. tab. 2:2 har i Jokkmokk som högsta värde 81 dagar noterats under 30-årsperioden.

Sannolikheten att viss månad får en viss periodlängd av dygn med en temperatur lika med och lägre än  $-10,0^{\circ}\text{C}$  och  $-20,0^{\circ}\text{C}$  belyses med stöd av fig. 2: 5 (sid. 29). Tillämpningen av fig. 2: 5 förutsätter kännedom om medelantalet dygn under berörd månad med temperatur under en given gräns (jfr fig. 2: 2). Fig. 2: 5 gäller oavsett om maximitemperaturen är hög eller låg.

*Ex. 3* Hur stora utsikter finns att i Jokkmokk under februari få minst en period av minst 8 dagar i följd med maximitemperatur av  $-10,0^{\circ}\text{C}$  eller lägre?

Av fig. 2: 2 framgår att man i genomsnitt kan förvänta att 42 % av antalet dygn har ifrågavarande temperatur. Enl. fig. 2: 5 får man då med 30–35 % sannolikhet minst en periodlängd av minst 8 dagar, dvs. händelsen inträffar ungefär 1 år av 3.

### 6.3 Nederbörd

Kartor över månadsmedelnederbördens har redovisats av Wallén (1951) och Bergsten (1954) samt i »Atlas över Sverige» blad 29–30. Sannolikheten att få viss dygnsnederbörd belyses av Wallén (1963). En sammanställning av månadsmedelnederbördens 1931–60 för 205 stationer i Norrland, Dalarna och Värmland finns i bilaga 2 (tab. 3: 1).

Sannolikheten för att få viss månadsnederbörd kan uppskattas med hjälp av fig. 3: 1, om man känner månadsmedelnederbördens.

*Ex. 4* Hur stor är sannolikheten att man får minst 70 mm nederbörd i september i Stensele?

Enligt tabellen i bilaga 2 har Stensele en månadsmedelnederbörd av 47 mm i september. Enl. fig. 3: 1 är sannolikheten 15–20 % att nederbördens under en enskild månad överstiger 70 mm.

### 6.4 Vind

Uppgifter om *vindstyrkan*, baserade på perioden 1931–60, lämnas i tab. 4: 2 för 17 stationer inom området. Tabellen anger frekvensen av olika vindstyrkor i form av 30-årsmedeltal dels för hela året, dels för månad med det högsta resp. lägsta 30-årsmedeltalet.

Vindstyrkan anges i Beaufort och motsvarande vindhastighet i km/tim eller m/sek finns angiven i tab. 4: 1. Årsmedeltal för frekvensen av olika *vindriktningar* anges i tab. 4: 3.

*Ex. 5* Hur stor del av tiden är vindstyrkan minst 6 Beaufort ( $10,8\text{ m/sek}$ ) i Jokkmokk i medeltal dels under året, dels under den månad som uppvisar de högsta frekvenserna? Vilken vindriktning domineras?

Av tab. 4: 2 framgår att vindstyrkor av minst 6 Beaufort förekommer 4,9 % av tiden under hela året. Den blåsigaste månaden har en genomsnittlig frekvens av 11 %. Den västliga vinden domineras.

## 6.5 Snödjup

Redovisningen av snödjupen baseras på observationer från dels 79 SMHI-stationer inom området, dels ett relativt tätt nät av avverkningstrakter i skogsområdena (plansch I A i ficka på omslagets bakre del). Till grund för analysen ligger 28-årsperioden 1931/32—1958/59. *Snödjupsdata, som redovisas i kartform, härför sig huvudsakligen till skogsområdena.* I de allra flesta fall är snödjupen i skogsområdena större än vid SMHI:s observationsplatser, som ofta ligger i tätorter i dalgångar e. d. (tab. 5: 4, bilaga 5).

*Snöns djup vid olika tidpunkter* under vintern samt snödjupets årliga maximum belyses i följande tabeller och figurer:

Medelsnödjupet vid olika tidpunkter under vintern (medeltal och standardavvikelse) samt det maximala snödjupet varje vinter (medeltal och variationsvidd) visas för samtliga SMHI-stationer på sid. 83—88 (tab. 5: 2, bilaga 3). Dessutom redovisas medelsnödjupet 15/12, 31/1, 28/2, 31/3 och 15/4 på kartor i skala 1:6 milj. på sid. 43—47 (fig. 5: 2 a—d). Med den typ av bearbetning och redovisning som valts utgör medelsnödjupet 28/2 en grunduppgift, som används i många sammanhang och som därför redovisas på en karta i större skala i plansch I B.

Största, genomsnittliga och minsta årliga maximidjup åren 1931—1959 redovisas även på kartor på sid. 52—54 (fig. 5: 5 a—c), medeltidpunkten för det årliga maximidjupet på sid. 55 (fig. 5: 6).

Frekvensen av år med snödjup överstigande olika gränser vid olika tidpunkter under vintern visas för samtliga SMHI-stationer på sid. 89—98 (fig. 5: 1, bilaga 4). Vid tillämpningen av dessa diagram bör man okulärt utjämna kurvorna på sätt som skett på det första diagrammet (Blåbärskullen). För överslagsmässiga bedömningar redovisas även frekvensen av år med snödjup överstigande 10, 30, 50, 70 och 90 cm vid olika tidpunkter under vintern för olika medelsnödjup den 28/2 (fig. 5: 4 sid. 49—51). Denna redovisning förutsätter användning av regionindelning enl. fig. 5: 3 (sid. 48) samt kartan över medelsnödjupet 28/2 (plansch I B).

*Ex. 6* Vid vilken tidpunkt kan man med 90 % resp. 80 % sannolikhet påräkna ett snödjup av minst 10 cm inom ett område i region I (fig. 5: 3) där medelsnödjupet 28/2 är 70 cm?

Enl. fig. 5: 4 är den sökta tidpunkten omkring 15 dec., om man kräver minst 10 cm under 9 år av 10, och omkring 1 dec., om man kräver minst 10 cm 8 år av 10.

Man kan i detta fall välja ett annat tillvägagångssätt. Om dessa uppgifter efterfrågas för ett visst område, kan man nämligen gå till närmaste SMHI-station med ett medelsnödjup 28/2 av ungefär 70 cm och använda frekvensdiagrammet i fig. 5: 1 för denna station. Om man i detta fall väljer Norra Bergnäs (sid. 98), blir de sökta tidpunkterna omkring 15—20 dec. resp. ett par dagar före 1 dec. (observera att kurvan här är så jämn att okulär utjämning ej behöver ske). Detta förfaringssätt ger, jämfört med användning av närmediagrammen, en bättre prognos endast om man vet att snöförhållandena vid denna station och det aktuella området är jämförbara.

*Ex. 7* Vilket årligt maximidjup kan man påräkna i skogsområdena kring Stensele dels i medeltal, dels under ett ovanligt svårt snöår? Vid vilken tidpunkt inträffar maximum normalt?

Enl. fig. 5: 5 b är det årliga maximet i genomsnitt omkring 85 cm och inträffar enl. fig. 5: 6 normalt något tidigare än 15 mars. Enl. fig. 5: 5 är det största uppmätta snödjupet under 28-årsperioden omkring 150 cm. För SMHI-stationen Stensele, som ligger i samhället Stensele, är enl. tab. 5: 2 det årliga maximidjupet i genomsnitt 69 cm och maximalt 105 cm. Snödjupet i skogsområdena kring Stensele är således väsentligt större än det är i samhället (jfr tab. 5: 4, bilaga 5).

*Varaktigheten av olika snödjup* redovisas enligt följande:

Medelantalet dagar med snödjup överstigande olika värden redovisas dels i tabellform — för snödjup större än 0, 10, 20, 30 . . . 120 cm — för de 79 SMHI-stationerna (tab. 5: 6 sid. 57), dels i kartform för snödjup överstigande 10, 30, 50, 70 och 90 cm i plansch II A—E (i ficka på omslagets baksida). Medelantalet dagar med snödjup överstigande 100 eller 120 cm kan för *godtyckligt vald plats* uppskattas med hjälp av fig. 5: 9 (sid. 60), om man känner medelantalet dagar med snödjup större än 90 cm.

Spredningen beskrivs i form av närmevärden för variationskoefficienten (standardavvikelsen dividerad med medeltalet,  $s/\bar{x}$ ) vid olika medelantal dagar (fig. 5: 10 sid 61). Dessutom anges kvoten mellan det maximala och det genomsnittliga antalet dygn — för 28-årsperioden 1931/32—1958/59 — som funktion av det genomsnittliga antalet (fig. 5: 11 sid. 62).

*Ex. 8* Hur många dagar med snödjup överstigande 50, 90 och 120 cm kan man påräkna i skogsområdena kring Stensele dels i genomsnitt, dels om vintern är särskilt snörik?

> 50 cm: Enligt kartan i plansch II C har man i genomsnitt ( $\bar{x}$ ) omkring 80 dagar med snödjup överstigande 50 cm. Variationskoefficienten är enl. fig. 5: 10 ca 60 %, om man håller sig i den övre delen av registret, eftersom Stensele ligger i norra Norrlands inland (region I) och standardavvikelsen ( $s$ ) således 48 dagar (60 % av 80). Detta innebär att man 1 år av 6—7 (16 % av antalet år, jfr ex. 1) kan påräkna mer än

128 dagar ( $> \bar{x} + s$ ) och 1 år av 4 mer än 113 dagar ( $> \bar{x} + 0,675 s$ ). Det maximala antalet dagar kan enl. fig. 5: 11 uppskattas till 1,9 gånger medelantalet eller 152 dagar.

$> 90\text{ cm}$ : Enligt plansch II E förekommer i genomsnitt mellan 10 och 20 dagar med snödjup överstigande 90 cm. Fig. 5: 10 kan ej längre användas för belysning av spridningen (se även sid. 61) utan endast fig. 5: 11. Största frekvensen av dagar med detta snödjup är under 28-årsperioden 1931/32—1958/59 vid ett medeltal av 10 dagar  $7,5 \times 10 = 75$  dagar och vid 20 dagar  $4,7 \times 20 = 94$  dagar.

$> 120\text{ cm}$ : Om medelantalet dagar med snödjup större än 90 cm är 10 och 20, blir enl. fig. 5: 9 medelantalet dagar med snödjup större än 120 cm ungefär 2 resp. 6—7. Uppskattningen av frekvensen under en extremvinter blir mycket osäker. Enl. fig. 5: 11 skulle man vid ett medeltal av 6—7 kunna förvänta det tiofaldiga antalet, dvs. omkring 2 månader, under en särskilt snörik vinter.

*Snödjupet som funktion av höjdläget* — uttryckt i relativta tal — framgår av fig. 5: 13 (sid. 64) enligt en specialbearbetning som utförts för det i fig. 5: 12 angivna området (gäller för skogsområden).

*Snökonsistensens* variationer dels mellan olika geografiska områden, dels mellan olika år belyses av fig. 5: 14 och tab. 5: 9 (sid. 67 och sid. 60).

## REFERENSER

- AGER, B. H:son, 1963: Preparering av virkesavlägg på is. *Studia Forestalia Suecica*, nr 1, 1963. Svenska Skogsvårdsföreningens förlag.
- ANDERSSON, T., 1963: On the accuracy of rain measurements and statistical results from rain studies with dense networks (Project Pluvius). *Arkiv för Geofysik*, Kungl. Svenska Vetenskapsakademien, Band 4, nr 13.
- ATLAS ÖVER SVERIGE: Utgiven av Svenska Sällskapet för Antropologi och Geografi. Stockholm.
- BERGERON, T., 1949: Nyare rön om nederbördens uppkomst och fördelning. *Särtryck ur Ymer* nr 3, 1949.
- 1960: Operation and Results of "Project Pluvius". Meteorologiska Inst. vid Kungl. Universitetet, Uppsala. Medd. nr 74.
- 1960: Preliminär redogörelse för synoptisk-kvantitativa nederbörsstudier med tätt stationsnät. Meteorologiska Inst. vid Kungl. Universitetet, Uppsala. Medd. nr 65.
- BERGSTEN, F., 1954: Nederbördens i Sverige. SMHI, Medd. nr 5, ser. C.
- COLMAN, E. A., 1953: Vegetation and Watershed Management. Donald Press Co, New York.
- ELFMAN, N. O., 1948: Några skogsarbetstekniskt betydelsefulla drag hos vinterklimatet i Norrland och Dalarna. Norrländs Skogsvårdsförbunds Tidskrift 1948: II. Medd. nr 31 från Forskningsstiftelsen SDA, Stockholm.
- 1957: Värmlands vinterklimat. Svenska Skogsvårdsföreningens Tidskrift 1957: 4. Medd. nr 3 från Värmlands Skogsarbetstudiern.
- ERIKSSON, J. V., 1920: Isläggning och islossning i Sveriges insjöar. — Medd. från Statens Meteorologisk-Hydrografiska Anstalt. Band 1, nr 2, Uppsala.
- ESPENSHADE, JR. E. B. och SCHYTT, S. V., 1956: Problems in Mapping Snow Cover. Snow, Ice and Permafrost Research Establishment, Corps of Engineers, U.S. Army, Wilmette, Illinois.
- FELLENIUS, B. och RENGMARK, F., 1959: Köldmängdkartor över Sverige. Medd. nr 91 från Statens väginstut.
- HAMBERG, A., 1907: Die Eigenschaften der Schneedecke in den lappländischen Gebirgen. Stockholm 1907. Naturwissenschaftliche Untersuchungen des Sarekgebietes in Schwedisch-Lappland. Bd I, Abt. III, Gletscherkunde Lief. 1. Stockholm.
- HAMBERG, H. E., 1912: Om skare och flen i Lappland. Kungl. Svenska Vetenskapsakademiens årsbok 1912. Uppsala.
- HOLMSTRÖM, K., 1958: Meteorologi och hydrologi inom kraftindustrin. *Teknisk Tidskrift* 1958, sid. 273—275.
- JOHNSON, B., 1956: Studier över vinterklimatet i södra och mellersta Sverige. Svenska Skogsvårdsföreningens Tidskrift 1956: 4. Medd. nr 2 från Mellan-och Sydsvenska Skogsbruks Arbetsstudier. Stockholm.
- JORDBRUKSTEKNISKA INSTITUTET, 1955: Sommarvädret i Sverige. Medd. nr 264.
- LINDHOLM, A., 1955: Sunshine and cloudiness. — SMHI. Medd. nr 11, serie B.
- RAKHMANOV, V. V., 1956: Vlianije lesow na formirovanie snezhnykh. *Meteorologiya*, 1956 (11), 21—28. The Influence of Forests on the Formation of Snow Accumulations. Översätt. av Department of Scientific and Industrial Research. Charles House, 5—11 Regent Street, London, S.W. 1.
- SANDSTRÖM, J. W. och ÅNGSTRÖM, A., 1939: The Snow Cover in Sweden. SMHI, Commission des neiges, Question 3 — Rapport 2.
- SEPPÄNEN, M., 1962: On the Accumulation and Decreasing of Snow in Pine Dominated Forest in Finland. *Fennia* 86, Helsingfors 1962.
- SMHI: Årsbok II: 2, Meteorologiska iakttagelser i Sverige.
- SMHI: Årsbok I, Månadsöversikt över väderlek och vattentillgång.
- TAMM, O., 1959: Kompendium i marklära. Del 3. Skogshögskolan 1959.
- WALLÉN, C. C., 1951: Nederbördens i Sverige, medelvärden 1901—1930. SMHI, Medd. nr 4, ser. A.
- 1963: Sannolikheten för olika mängder av dygnsnederbörd i Sverige. SMHI, Notiser och preliminära rapporter, Meteorologi, nr 7.
- ZETTERHOLM, D. och DANIELSSON, E., 1958: Frostfritt nedgrävningsdjup för kraftledningsstolpar. *Teknisk Tidskrift*, nr 7, 1958, sid. 7—11.
- ÅNGSTRÖM, A., 1938: Lufttemperatur och temperaturanomalier i Sverige 1901—1930. Stockholm 1938.
- 1946: Sveriges Klimat, Stockholm (2:a uppl. 1958).

SMHI = Sveriges Meteorologiska och Hydrologiska Institut.

**Bilagor**  
**Appendices**

**Tab. 2:1 Förteckning över använda temperaturstationer samt uppgift om de år och månader för vilka data erhållits genom interpolering.**

List of temperature stations and information on the years and months when data have been obtained by interpolation.

Station		Län Prov.	Interpolering Interpolation		
Namn Name	SMHI nr no.		Temp. Temp.	År Year	Månad Month
Karlstad.....	922	S			
Knon.....	012	S			
Kyrkerud.....	904	S	min	1930, 1959	jan—april, dec
			max	1930, 1946—51, 1959	jan—april, nov, dec
Falun.....	030	W			
Malung.....	002	W	min	1944	jan
			max	1944	jan
Särna.....	107	W			
Bjuråker.....	115	X	min	1935	april
			max	1935	april
Härnösand.....	219	Y			
Gisselås.....	330	Z			
Gäddede.....	406	Z			
Storlien.....	302	Z			
Sveg.....	211	Z			
Östersund.....	322	Z	min	1943	jan
			max	1943	jan
Stensele.....	522	AC			
Tegelträsk.....	321	AC	min	1959	jan—april
			max	1959	jan—april
Tärnaby.....	503	AC			
Umeå.....	367	AC	min	1951	febr
Brännberg.....	563	BD	min	1944, 1950, 1959	jan—april, nov
			max	1944, 1949, 1951, 1959	jan—april, nov, dec
Haparanda....	574	BD			
Jokkmokk....	628	BD	max	1949, 1951	mars, april
Jäckvik.....	603	BD	min	1939—43, 46—47, 49—52, 54, 59	jan—april, nov, dec
			max	1939—43, 46—47, 49—52, 54, 59	jan—april, nov, dec
Karesuando....	822	BD			
Kiruna.....	704	BD	min	1929	nov, dec
			max	1929	nov, dec
Kvikkjokk	604	BD			
Piteå.....	565	BD	min	1944, 1945, 1947	febr, mars, nov
			max	1944	dec
Riksgränsen...	801	BD			









**Bil. 2, forts.**

App. 2, cont'd.

SMHI nr no.	Namn Name	jan	feb	mar	apr	maj	jun	jul	aug	sep	okt	nov	dec	år year
937	Hornkullen.....	59	42	32	46	38	69	79	88	80	72	75	66	746
903	Högsäter.....	52	37	29	43	48	72	79	83	73	69	73	62	720
009	Järnbergsås.....	47	32	22	43	44	77	86	85	76	64	66	60	702
922	Karlstads flpl. ....	40	25	22	39	35	48	60	78	68	62	67	50	594
012	Knon.....	41	30	23	40	41	77	80	90	71	60	57	50	660
909	Krakstad.....	63	47	36	51	50	56	83	88	84	86	90	76	810
934	Kristinehamn.....	48	34	27	38	40	54	76	81	66	62	70	52	648
904	Kyrkerud.....	49	34	25	41	41	55	70	80	74	71	72	57	669
008	Likenäs.....	49	31	22	42	40	74	92	77	76	62	63	58	686
801	Lurö.....	38	28	22	31	36	44	56	67	63	55	60	40	540
006	Lönnhöjden.....	54	42	31	48	48	72	89	82	80	70	71	64	751
926	Mölnbacka.....	43	28	22	35	37	55	74	79	66	60	60	50	609
932	Pardixhyttan.....	55	37	30	45	42	69	78	89	84	77	79	68	753
938	Storfors.....	58	37	29	44	41	68	80	86	78	72	77	61	731
911	Stömne.....	56	42	31	48	46	57	80	85	76	76	84	65	746
921	Varpnäs.....	47	35	29	41	43	50	74	82	70	63	74	55	663
001	Järpliden.....	41	29	20	34	40	76	89	84	74	56	52	50	645

Tab. 5:2. Snödjupen vid olika tidpunkter samt årligt maximidjup i Norrland, Dalarna och Värmland; perioden 1931/32—1958/59

**x = medelvärde; s = variationsvärd; R = standardavvikelse; i = antal interpolerade observationer.**

Snow depth at various dates and yearly maximum depth in north Sweden and the provinces of Dalarna and Värmland; 79 SMHI stations during the period of 1931/32—1958/59. x = mean; s = standard deviation; R = range of variation, cm; i = no. interpolated data.

Län Prov.	Nr No.	Station Nämn Name	Höjd ö. h. m	Snödjup vid olika tidpunkter Snow depth at various dates												Årl. max- djup Yearly max. i							
				15/ 10	3/ 10	15/ 11	30/ 11	15/ 12	31/ 1	15/ 2	28/ 2	15/ 3	31/ 3	15/ 4	30/ 4	15/ 5							
S	913	Blåbärskullen . . . . .	s	—	—	0	1,8	4,4	1,1	16	23	35	42	50	53	49	39	23	4,7	0	76	27—	
	935	Dalkarlsjöhyttan . . . . .	s	—	0	0,5	2,6	8,2	1,5	19	30	36	38	43	37	29	7,1	0,4	0	59	17—	33	
	902	Djurskog . . . . .	s	—	0	0,7	3,1	5,3	9,4	12	20	25	28	29	22	16	5,6	0	0	49	16—	123	
	924	Forshult . . . . .	s	—	0	0,3	0,7	3,8	9,5	16	27	25	27	25	28	21	16	4,2	0	0	44	16—	4
	922	Karlstad flyg . . . . .	s	—	0	0,3	0,6	3,4	6,9	11	19	21	27	28	21	16	4,2	0	0	22	—114	—114	
	012	Knon . . . . .	s	—	0	0	0	0,5	2,0	3,7	6,0	11	11	12	14	11	6,5	0,4	0,04	0	34	7—	81
	909	Krakstad . . . . .	s	—	0	0,9	2,5	5,6	10	13	21	25	27	29	25	19	7,0	0,4	0	58	22—	165	
	013	Malmbacka . . . . .	s	—	0,1	1,2	3,1	8,2	16	21	30	37	44	46	43	32	15	3,4	0	61	19—	60	
	921	Varpnäs . . . . .	s	—	0	0,3	0,9	2,6	4,4	6,5	13	12	14	17	14	8,9	1,3	0,1	0	34	10—	1	
	005	N:a Wiggen . . . . .	s	—	0,2	3,3	8,3	17	30	36	50	60	66	70	66	54	36	10	0	87	34—	150	
	126	Dalsstuga . . . . .	s	—	0	1,1	2,5	10	16	20	30	37	43	44	45	34	16	3,5	0	57	27—	92	

Tabl. 3, forts. App. 3, cont'd.

Län Prov.	Station	Höjd ö. h. Alt- tude m	Snödjup vid olika tidpunkter															Årl. max.- djup Yearly max.	i			
			Snow depth at various dates																			
			15/10	31/10	15/11	30/11	15/12	31/12	15/1	31/1	15/2	28/2	15/3	31/3	15/4	30/4	15/5					
W	026	Dädran .....	215	x	0	1,3	2,6	8,3	17	22	33	40	46	46	44	36	16	2,4	0	61	30—	15
	030	Falun .....	122	x	0	0,3	0,8	4,0	9,1	13	22	26	30	29	23	13	1,8	0	0	44	22—	80
	125	Fimbacka .....	431	x	0	1,1	3,8	9,0	16	23	30	34	39	41	39	30	18	3,6	0	52	19—	
	023	Idkerberget .....	265	s	0,2	1,6	3,0	5,4	13	21	32	38	43	42	37	27	11	0	0	61	24—	
	005	Knäs .....	280	x	0,1	1,8	4,5	8,7	19	24	31	42	45	46	46	36	19	2,7	0	60	15—	4
	117	Mora-Skeriol .....	170	x	0	0,7	0,8	2,9	9,7	15	22	28	32	32	30	19	5,4	0	0,9	48	15—	10
	007	Siljansfors .....	260	x	0,3	3,0	5,2	9,4	20	22	33	37	42	42	39	31	16	2,1	0	61	20—	
	013	Skattlösberg .....	330	x	0,2	1,8	6,8	10	19	26	35	42	49	49	46	36	21	2,9	0	68	25—	
	106	Storhögen— Vallsjön .....	600	x	0,1	3,0	8,7	13	24	32	42	50	54	57	55	44	22	5,2	0,5	70	42—	2
	107	Särna .....	461	x	0,4	4,3	10	14	28	35	45	52	58	59	57	50	32	5,1	0	73	34—	
X	117	Bergvik .....	50	x	0	1,0	2,1	5,7	13	19	29	41	46	45	41	28	15	0,9	0	62	12—	
	115	Bjuråker .....	72	x	0	0,6	1,1	4,9	11	15	21	30	35	36	31	24	9,2	0	0	47	17—	
	101	Fågelsjö .....	410	x	1,1	3,6	9,0	15	28	30	36	45	52	53	54	46	32	11	0,5	68	33—	
	012	Gävle .....	11	x	0	2,6	1,2	4,4	7,7	14	20	24	32	30	27	17	4,9	0,5	0	51	17—	
			s		6,9		6,8		14		17		20		23		19		2,0		88	

X	011	Norrstrand . . . . .	5	—x—	0	1,7	1,2	3,6	7,4	11	18	23	30	29	25	14	3,8	0	0	45	12—	
	116	Strömbacka . . . . .	170	—x—	0,07	0,5	4,3	9,0	19	24	35	45	51	52	49	41	27	4,5	0	72	25—	
Y	204	Fränta . . . . .	110	—x—	0,1	1,0	4,1	6,5	14	18	24	31	35	35	31	20	6,2	0	0	47	21—	
	212	Häljum . . . . .	40	—x—	0,04	0,6	1,5	6,0	11	18	26	34	40	39	33	23	9,8	0,7	0	57	17—	
	219	Härnösand . . . . .	98	—x—	0	0,2	3,7	5,0	9,1	17	27	34	40	41	39	29	17	1,0	0	57	23—	
	321	Högbränna . . . . .	210	—x—	0	3,2	9,6	21	34	41	52	61	66	67	69	51	20	4,2	82	41—	102	
	312	Tjalsbyn . . . . .	355	—x—	0,6	2,5	7,0	19	32	41	53	57	64	67	66	59	51	25	7,4	84	46—	3
Z	310	Duved . . . . .	385	—x—	0,4	2,8	7,7	15	23	29	32	34	38	41	41	36	24	8,6	0,9	54	21—	3
	330	Gisselås . . . . .	320	—x—	0,4	3,2	14	19	29	39	47	50	55	56	50	41	27	7,2	0,7	73	40—	52
	406	Gäddede . . . . .	310	—x—	0	2,5	5,8	15	25	33	43	47	52	61	60	53	41	16	0,9	76	28—	
	404	Leipikvattnet . . . . .	475	—x—	1,5	6,1	12	26	38	53	67	71	82	95	97	96	92	73	38	113	56—	1
	206	Ljungdalen . . . . .	615	—x—	1,9	6,2	13	23	37	49	58	67	72	80	82	80	73	44	8,1	94	55—	24
	221	Ljungå . . . . .	220	—x—	0,4	2,3	7,0	13	22	26	35	43	48	51	50	42	24	5,0	0,07	64	30—	3
	205	Myskäsen . . . . .	770	—x—	1,0	6,4	13	19	31	37	45	52	57	64	65	63	60	37	8,8	76	35—	1
	101	Storfjäten . . . . .	700	—x—	0,7	6,6	12	19	30	38	48	57	60	65	65	60	52	27	3,9	76	47—	32
	302	Storlien . . . . .	595	—x—	1,1	6,0	13	23	31	39	50	55	63	74	73	72	69	49	26	92	47—	1
						6,4	15	17	20	23	24	25	25	24	25	22	22	144				

Län Prov.	Nr. No.	Station Name	Höjd ö. h. Altitude m	Snödjup vid olika tidpunkter Snow depth at various dates												Arl. max.- djup Yearly max.	i R					
				15/10	31/10	15/11	30/11	15/12	31/12	15/1	31/1	15/2	28/2	15/3	31/3	15/4						
Z	211	Sveg.....	363	—	0,5	2,8	8,8	12	22	27	34	40	44	45	44	35	22	3,2	0	61	20—	
	212	Tossåsen.....	350	—	0,8	4,4	14	18	31	35	45	50	55	56	48	27	7,6	0,5	75	29—	20	100
	407	Valsjön.....	370	—	0,2	2,4	7,1	17	27	36	43	47	54	59	58	42	14	1,9	73	22—	16	104
	322	Östersund.....	328	—	0,2	2,7	4,6	10	18	23	30	33	35	34	33	21	7,5	0,6	0	49	15—	3
AC	401	Avasjö.....	550	—	1,9	7,0	15	24	36	48	57	65	71	77	81	81	76	53	23	92	50—	10
	504	Blaikilden.....	540	—	1,0	8,2	17	29	39	47	58	62	63	66	65	59	53	38	16	87	52—	27
	430	Bäverträsk.....	385	—	0,9	6,1	12	19	32	40	48	51	55	60	61	56	47	18	3,7	76	30—	38
	523	Juktforss.....	430	—	0,9	7,8	19	29	43	50	58	65	71	76	74	71	69	46	11	91	52—	9
	433	Knaffen.....	350	—	0,8	6,6	13	20	33	41	47	53	62	65	60	52	24	3,3	77	35—	8	
	465	Kulbäckstiden.....	200	—	0,9	2,9	11	15	28	32	41	48	56	59	53	38	11	0	70	45—	42	
	526	Nordanäs.....	480	—	1,0	6,4	15	25	38	47	54	63	69	72	73	67	62	45	20	82	45—	1
	426	Siksjö.....	440	—	0,9	4,6	12	23	32	40	49	56	62	67	69	55	23	4,2	79	42—	24	
	509	Sjölden.....	490	—	2,4	11	23	37	50	63	71	80	86	91	93	91	72	38	109	56—	1	

AC	522	Stensete.....	328	—	0,8	4,6	11	18	28	34	41	47	51	55	54	50	36	13	1,8	69	35—	1
	422	Storholmen.....	345	—	1,1	6,2	14	24	34	40	50	56	61	65	62	57	47	22	4,0	80	43—	32
	462	Talliden.....	370	—	1,1	5,4	13	19	31	37	43	51	58	63	64	62	53	21	4,1	76	34—	2
	321	Tegelträsk.....	410	—	1,3	5,0	14	23	37	41	50	58	65	68	72	68	64	38	11	88	58—	1
	503	Tärnaby.....	448	—	0,2	4,2	11	20	34	45	56	68	78	87	86	83	72	49	12	106	56—	1
	367	Umeå.....	17	—	0	0,7	5,0	8,3	15	19	31	41	48	49	45	35	18	1,6	0	63	22—	1
BD	667	Apuia.....	210	—	0,4	5,8	12	22	31	35	42	50	57	63	65	62	51	24	0,7	76	29—	91
	721	Gällivare.....	365	—	2,0	7,8	17	27	40	46	51	56	65	68	66	60	40	25	4,7	22	115	148
	574	Haparanda.....	9	—	0,4	0,8	3,4	7,8	15	21	31	39	49	56	50	37	11	0,1	67	37—	5	
	522	Hedberg.....	440	—	1,7	8,3	15	26	39	44	52	59	66	72	71	67	62	39	11	85	37—	1
	628	Jokkmokk.....	255	—	1,2	5,5	13	22	33	37	48	52	61	65	59	47	24	21	25	24	136	136
	603	Jäckvik.....	430	—	1,1	7,0	16	29	43	46	54	59	64	66	65	60	53	33	12	82	38—	63
	822	Karesuando.....	333	—	1,0	3,7	9,2	16	24	28	33	36	40	44	47	45	41	28	6,8	57	29—	12
	704	Kiruna.....	505	—	4,3	9,5	18	29	37	42	50	55	62	68	69	71	74	61	27	91	38—	2
	631	Koskats.....	255	—	1,9	6,9	16	27	37	40	49	57	64	65	55	49	26	8,7	80	39—	2	

Bil. 3, forts. App. 3, cont'd.

Län Prov.	Station	Höjd ö. h. Altitude m	Snödjup vid olika tidpunkter Snow depth at various dates												Arl. max.- djup Yearly max. i							
			15/10	31/10	15/11	30/11	15/12	31/12	15/1	31/1	15/2	28/2	15/3	31/3	15/4							
BD	604 Kvikkjokk.....	330	—	1,9	7,4	18	30	41	48	52	58	66	71	70	68	62	44	15	87	43—	13	
	727 Lainio.....	325	—	1,3	7,4	14	26	37	43	47	53	60	67	69	66	57	34	12	80	42—	39	
	623 Luvos.....	420	—	1,4	5,4	16	31	42	46	57	64	70	79	78	70	63	45	16	94	43—	44	
	626 Nousta.....	470	—	3,2	10	23	35	48	58	65	74	80	89	90	89	83	66	12	100	56—	22	
	625 Nautjauré.....	355	—	1,7	5,2	13	26	35	41	47	52	58	63	64	59	55	33	5,9	77	36—	44	
	622 Norra Bergnäs .....	440	—	0	6	6,7	17	25	38	45	50	59	65	71	75	71	68	51	21	81	47—	119
	565 Pitca.....	9	—	0,6	1,7	6,1	12	21	21	31	39	45	48	44	35	20	2,4	0	61	25—	12	
	630 Puottaura.....	310	—	1,6	10	19	30	41	47	55	63	72	77	78	76	71	46	12	95	62—	26	
	801 Riksgränsen .....	508	—	5,5	12	18	27	37	48	57	65	82	92	98	108	107	99	74	124	72—	8	
	661 Övre Svarthå.....	25	—	0,5	4,2	10	16	26	39	46	54	57	55	52	39	14	1,6	68	23—	121		

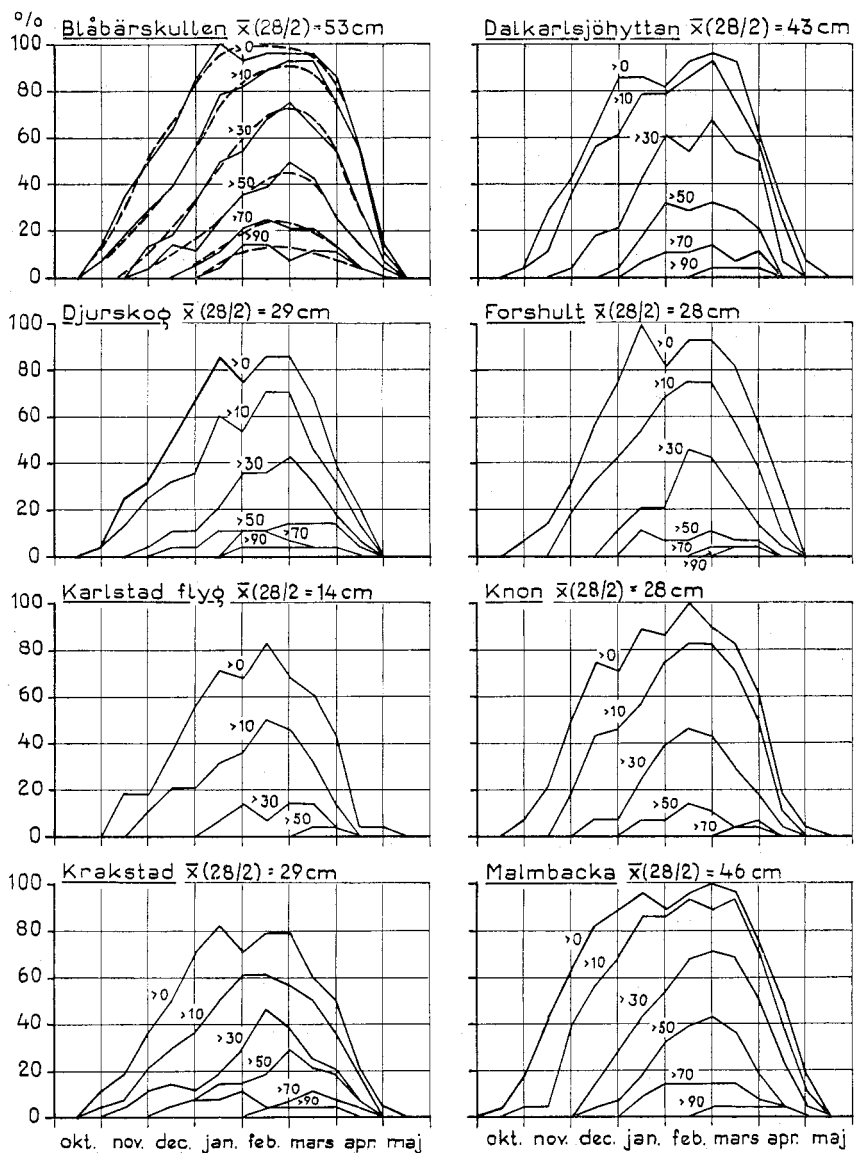
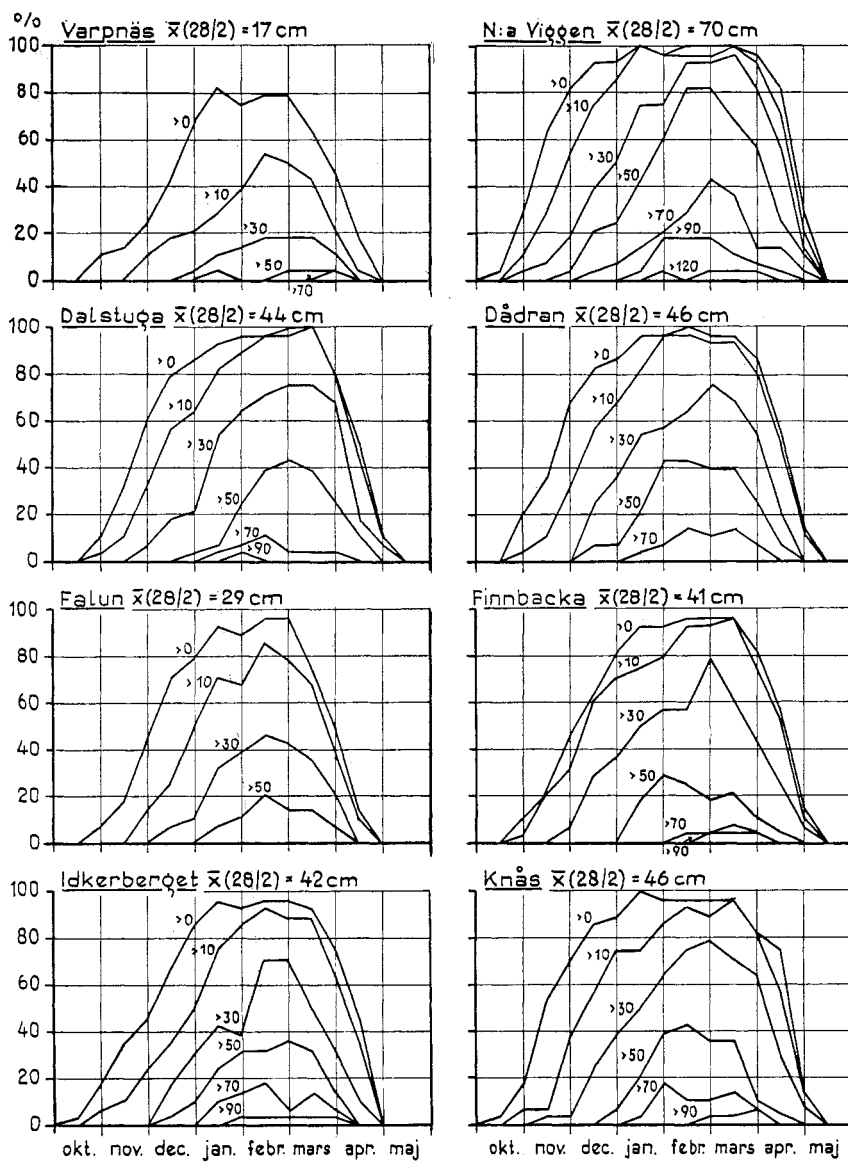


Fig. 5: 1 Frekvensen av år med snödjup överstigande olika värden vid olika tidpunkter under vintern; 79 SMHI-stationer perioden 1931/32—1958/59.

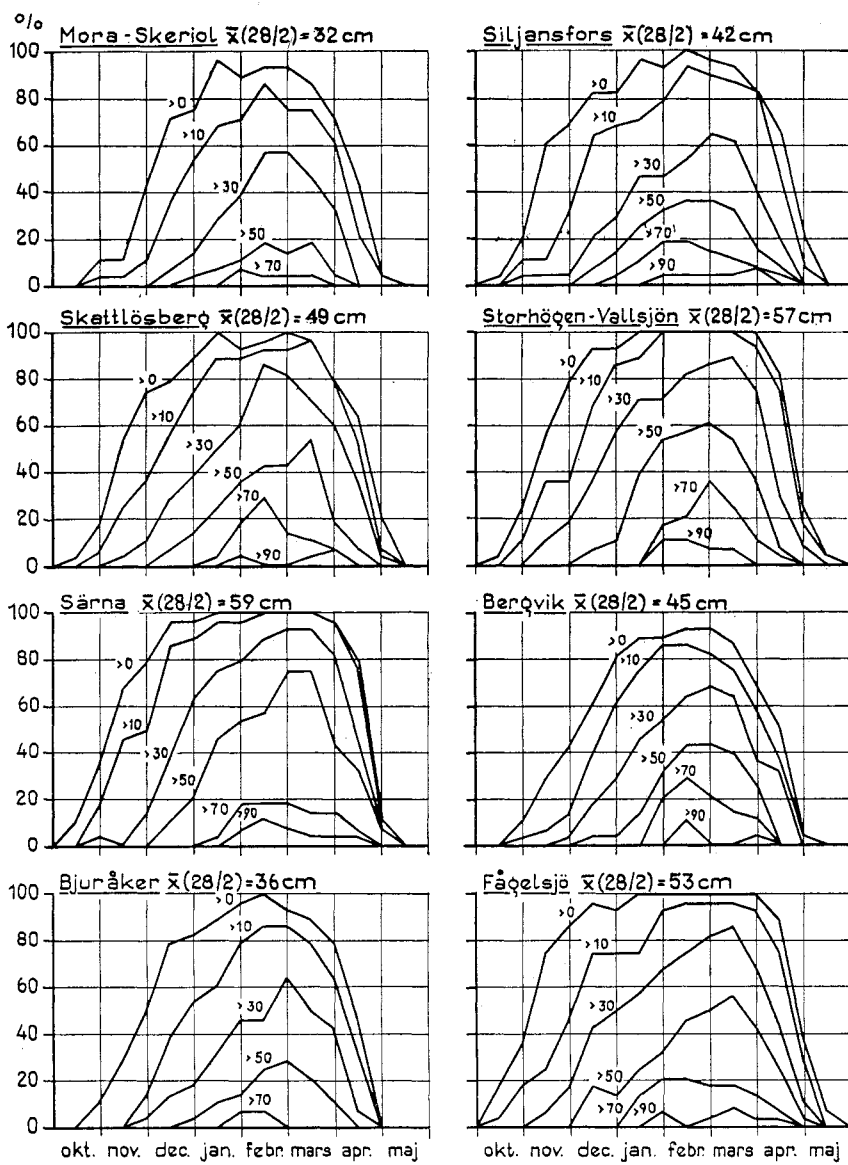
Frequency of years with snow depth exceeding various values at various dates in winter;  
79 SMHI stations 1931/32—1958/59.

**Bil. 4, forts.**

App. 4, cont'd.

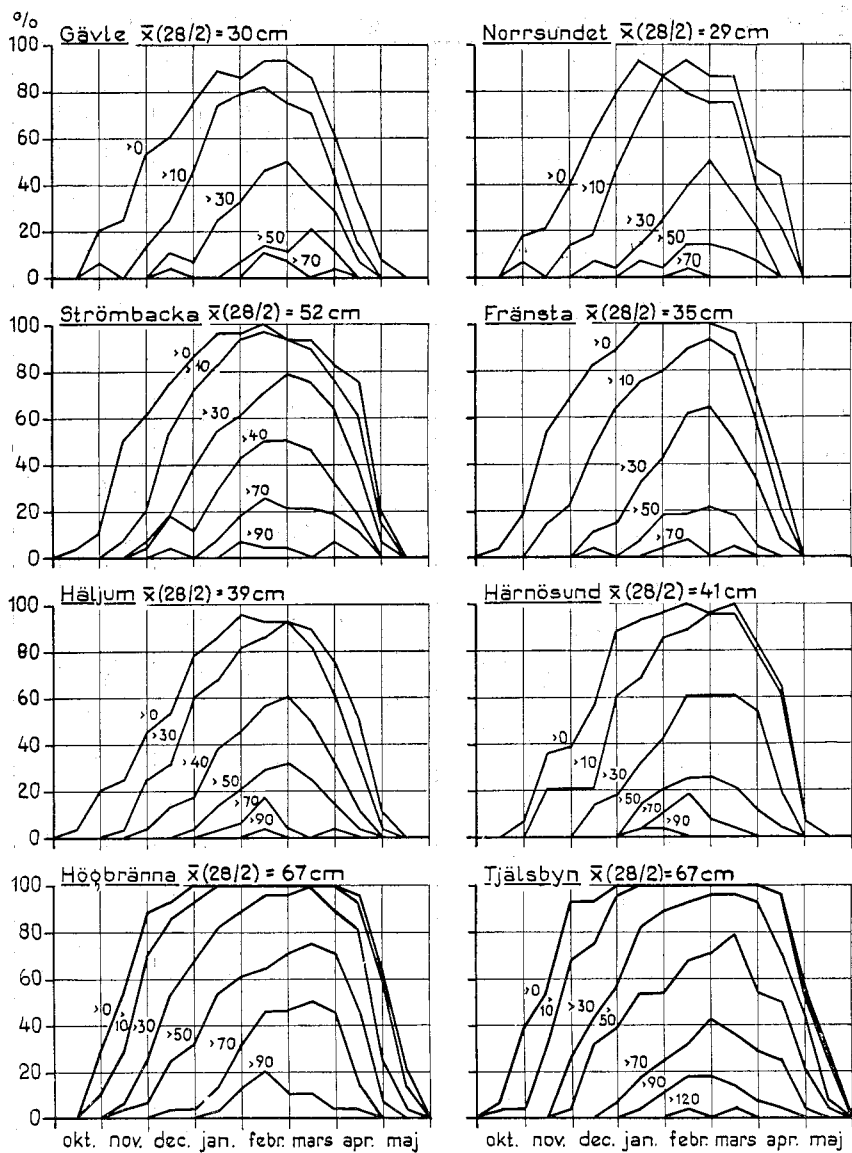


Bil. 4, forts.  
App. 4, cont'd.

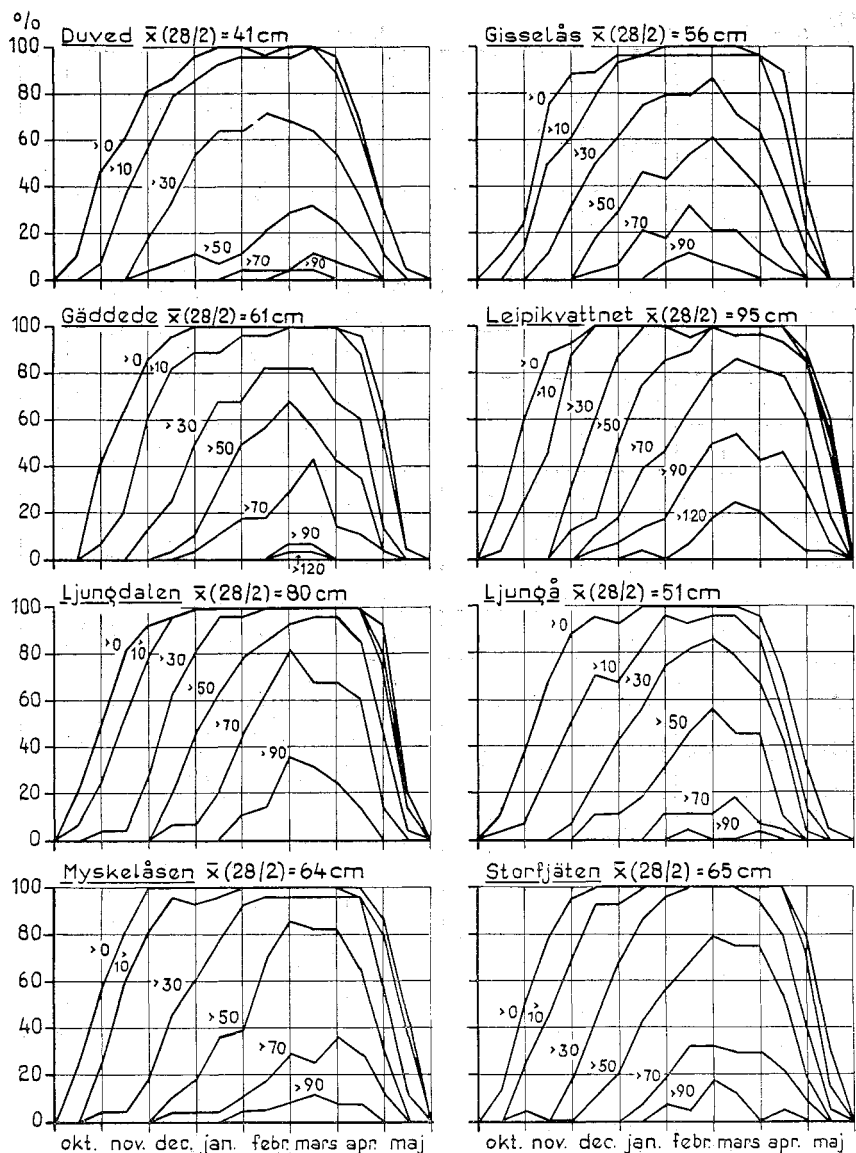


**Bil. 4, forts.**

App. 4, cont'd,

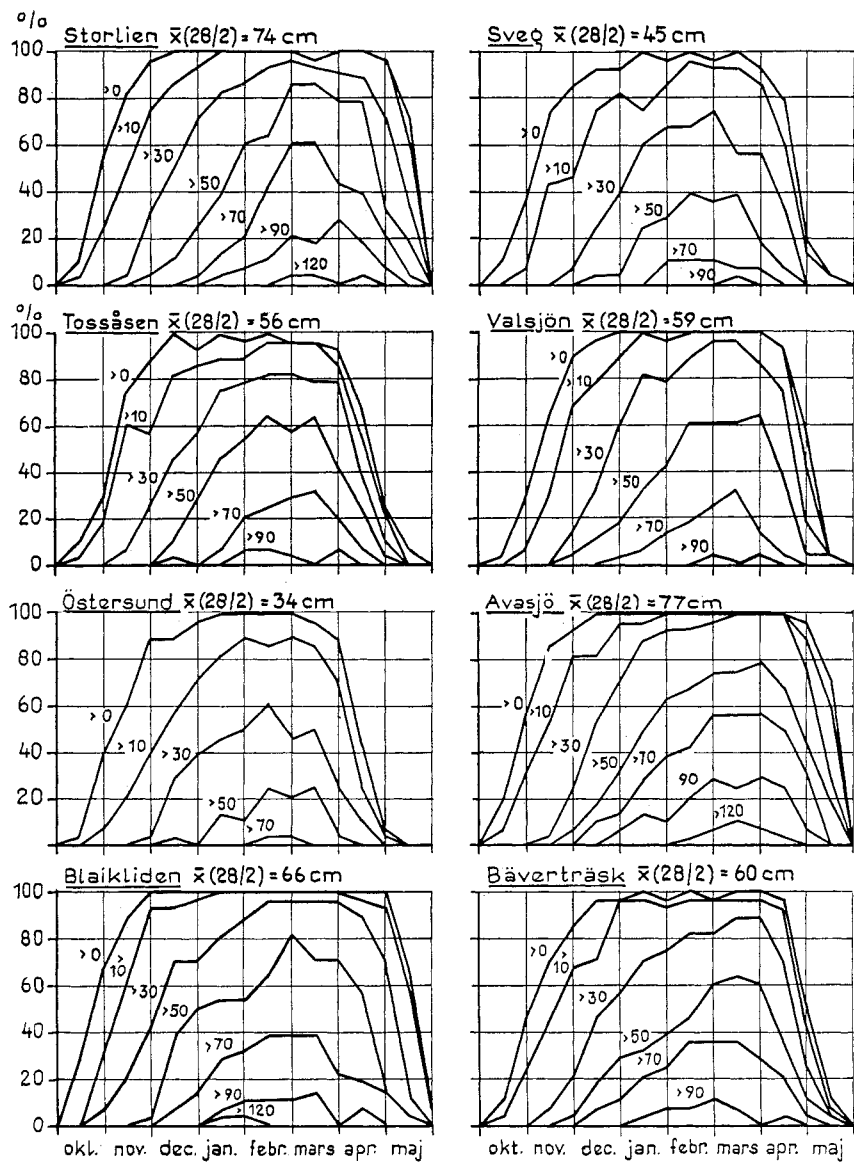


Bil. 4, forts.  
App. 4, cont'd.

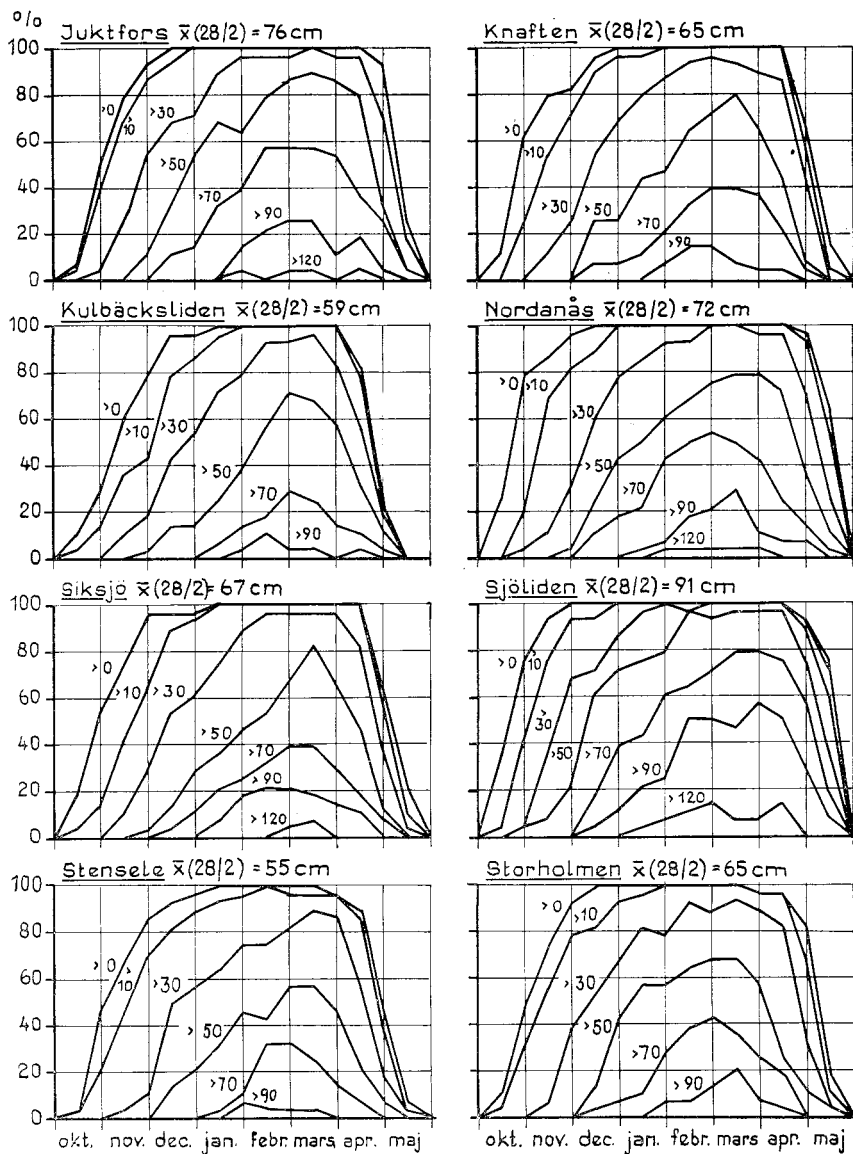


**Bil. 4, forts.**

App. 4, cont'd.

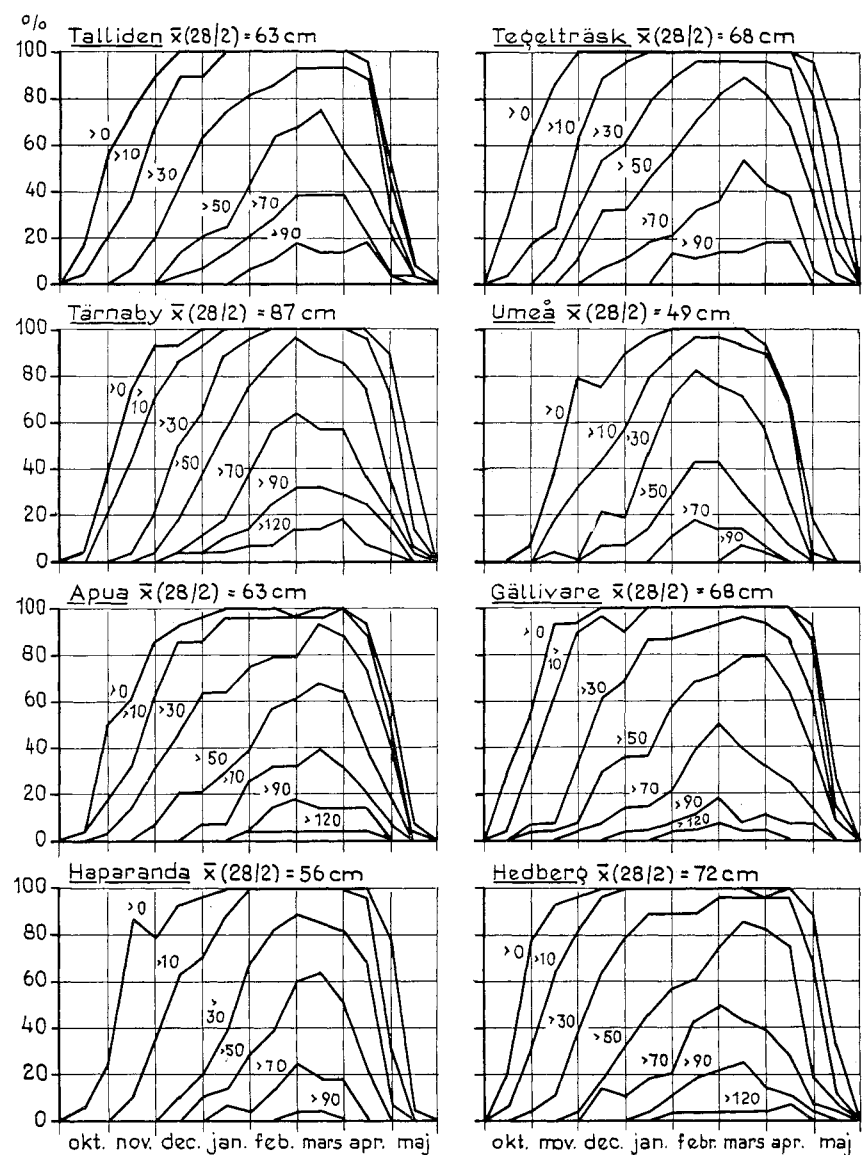


**Bil. 4, forts.**  
App. 4, cont'd.

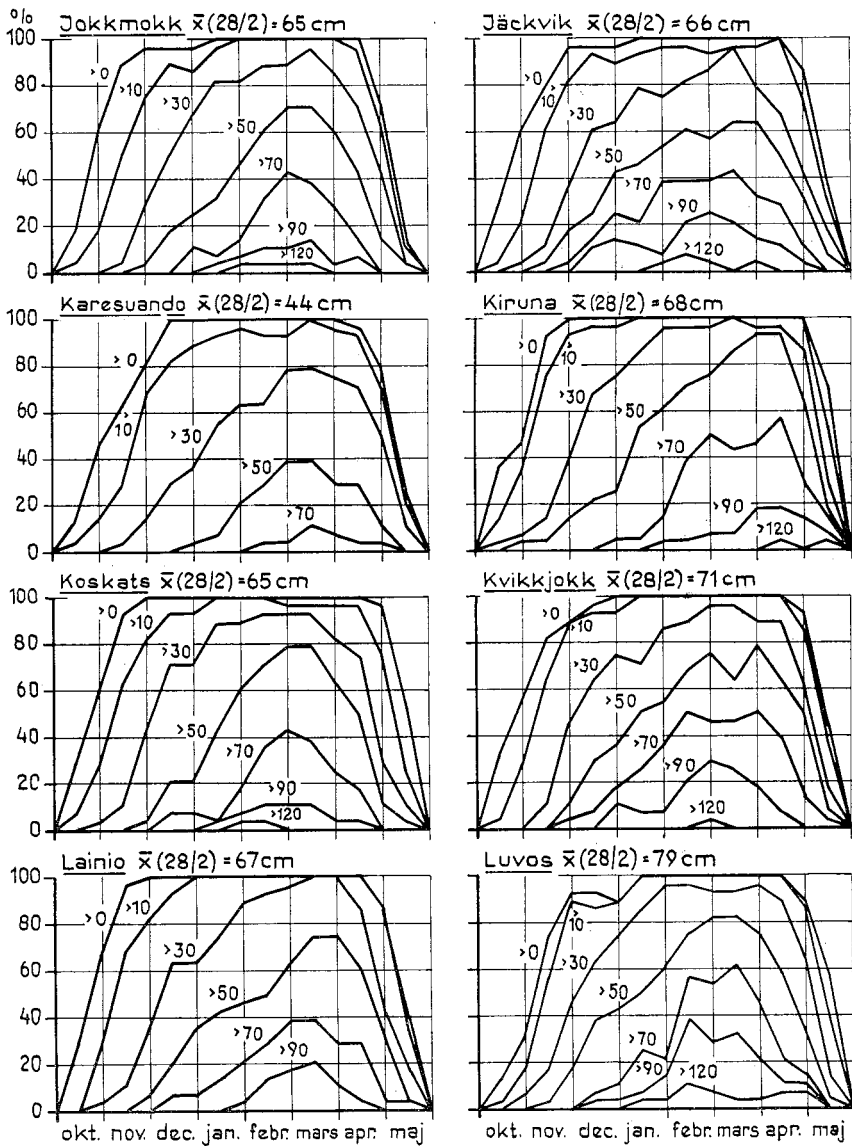


**Bil. 4, forts.**

App. 4, cont'd.

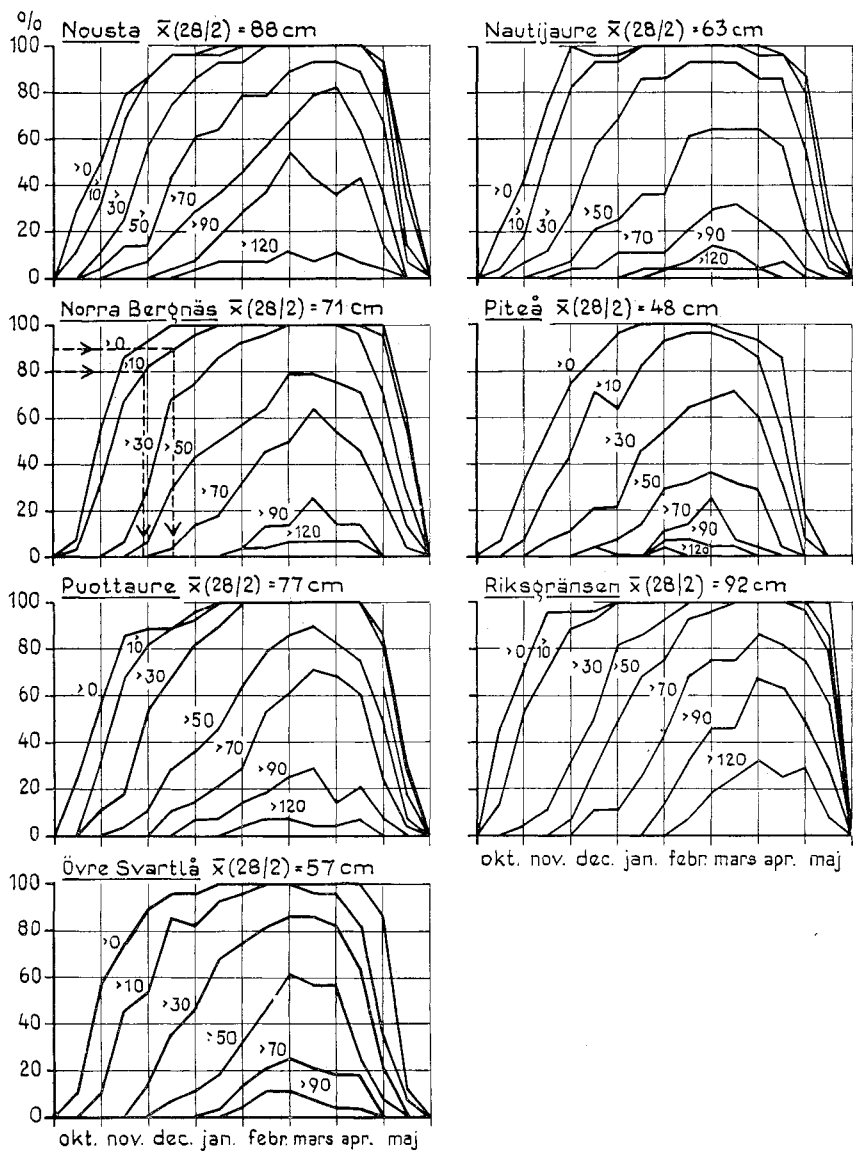


Bil. 4, forts.  
App. 4, cont'd.



**Bil. 4, forts.**

App. 4, cont'd.



Bilaga 5.  
 Appendix 5.

**Tab. 5:4 Jämförelse av snödjup vid SMHI:s stationer och vid skogstrakterna**

Comparison of snow depth at SMHI stations and at forest tracts

N	totalt antal obs.	*	signifikansnivå 95 %
	total number of observations		level of significance 95 %
$n_1$	snödjup SMHI = snödjup skogstrakt snow depth SMHI = snow depth forest tract	**	signifikansnivå 99 % level of significance 99 %
$n_2$	snödjup SMHI > snödjup skogstrakt snow depth SMHI > snow depth forest tract	***	signifikansnivå 99,9 % level of significance 99,9 % ej sign. = not sign.

Län Prov.	SMHI nr no.	Namn Name	SMHI skog % SMHI forest %	N	$n_1$	$n_2$	Sign.
S	913	Blåbärskullen.....	115	19	3	13	*
	935	Dalkarlsjöhyttan.....	87	17	3	6	*
	902	Djurskog.....	0	1	0	0	—
	924	Forshult.....	90	19	2	6	ej sign.
	922	Karlstad flyg.....	70	3	2	0	—
	012	Knon.....	95	12	3	2	ej sign.
	909	Krakstad.....	84	13	4	5	» »
	013	Malmbacka.....	89	6	2	1	—
	005	N:a Viggen.....	166	12	0	11	**
	921	Varpnäs.....	70	5	2	0	—
W	126	Dalstuga.....	75	31	0	4	***
	026	Dådran.....	95	31	0	11	ej sign.
	030	Falun.....	49	19	0	3	**
	125	Finnbacka.....	83	36	1	4	***
	023	Idkerberget.....	92	12	0	5	ej sign.
	005	Knås.....	83	23	1	6	» »
	117	Mora-Skeriol.....	59	25	1	2	***
	007	Siljansfors.....	80	23	0	7	ej sign.
	013	Skattlösberg.....	90	10	2	3	» »
	107	Särna.....	94	36	0	11	*
X	117	Bergvik.....	78	11	0	2	ej sign.
	115	Bjuråker.....	65	61	4	4	***
	101	Fågelsjö .....	87	43	1	8	***
	012	Gävle.....	93	6	0	4	ej sign.
	011	Norr sundet .....	94	4	0	2	—
	116	Strömbacka.....	98	64	5	30	ej sign.
Y	204	Fränsta.....	46	55	1	3	***
	212	Häljum.....	57	21	0	4	**
	219	Härnösand.....	33	9	0	0	**
	321	Högbränna.....	97	61	4	26	ej sign.
	312	Tjälsbyn.....	95	61	1	28	» »
Z	310	Duved .....	48	17	0	0	***
	330	Gisselås.....	79	19	2	5	ej sign.
	406	Gäddede .....	65	14	0	5	» »
	206	Ljungdalen.....	136	17	1	13	*
	221	Ljungå.....	82	52	0	9	***
	205	Myskelåsen.....	146	5	0	3	—
	101	Storfjäten .....	110	26	0	13	ej sign.
	302	Storlien .....	112	5	0	1	—

**Bil. 5, forts.**

App. 5, cont'd.

Län Prov.	SMHI nr SMHI no.	Namn Name	SMHI % skog SMHI % forest	N	n <sub>1</sub>	n <sub>2</sub>	Sign.
Z	211	Sveg.....	83	33	1	7	**
	212	Tossåsen.....	78	22	0	9	ej sign.
	407	Valsjön.....	75	9	0	1	*
	322	Östersund.....	47	15	0	0	***
	504	Blaikliden.....	76	9	0	0	**
	430	Bäverträsk.....	90	69	8	22	*
	523	Juktfors.....	92	33	1	14	ej sign.
	433	Knaften.....	96	87	8	41	" "
	465	Kulbäcksliden.....	79	46	0	11	***
	526	Nordanås.....	90	42	0	15	ej sign.
AC	426	Siksjö.....	99	71	1	30	" "
	509	Sjöläden.....	129	14	0	13	**
	522	Stensele.....	84	53	4	5	***
	422	Storholmen.....	92	32	1	11	ej sign.
	462	Talliden.....	99	41	2	18	" "
	321	Tegelträsk.....	97	86	5	38	" "
	503	Tärnaby.....	73	5	0	0	—
	367	Umeå.....	83	8	0	4	ej sign.
	667	Apua.....	115	8	1	5	" "
	721	Gällivare.....	93	7	1	1	" "
BD	522	Hedberg.....	93	64	1	29	" "
	628	Jokkmokk.....	84	27	0	4	***
	603	Jäckvik.....	86	1	0	0	—
	704	Kiruna.....	97	5	1	2	—
	631	Koskats.....	81	35	1	5	***
	604	Kvikkjokk.....	118	2	0	1	—
	707	Lainio.....	86	12	1	0	***
	623	Luvos.....	100	19	1	10	ej sign.
	626	Nousta.....	103	7	1	2	" "
	625	Nautijaire.....	95	30	2	8	*
.	622	Norra Bergnäs.....	99	10	1	3	ej sign.
	565	Piteå.....	40	15	0	0	***
	630	Puottaure.....	102	41	2	24	ej sign.
	661	Övre Svartlä	87	38	2	10	*

**Bilaga 6.**  
Appendix 6.

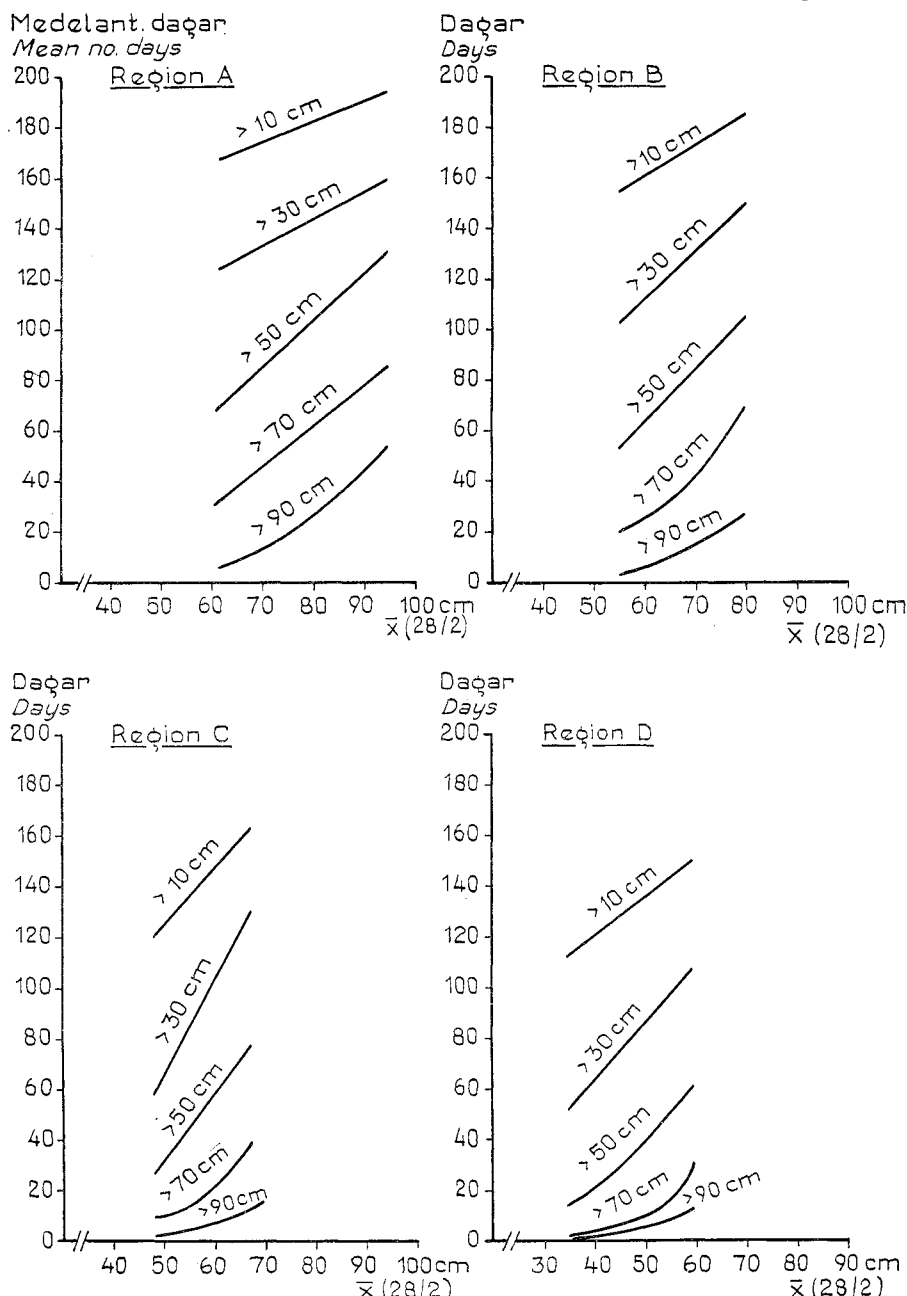
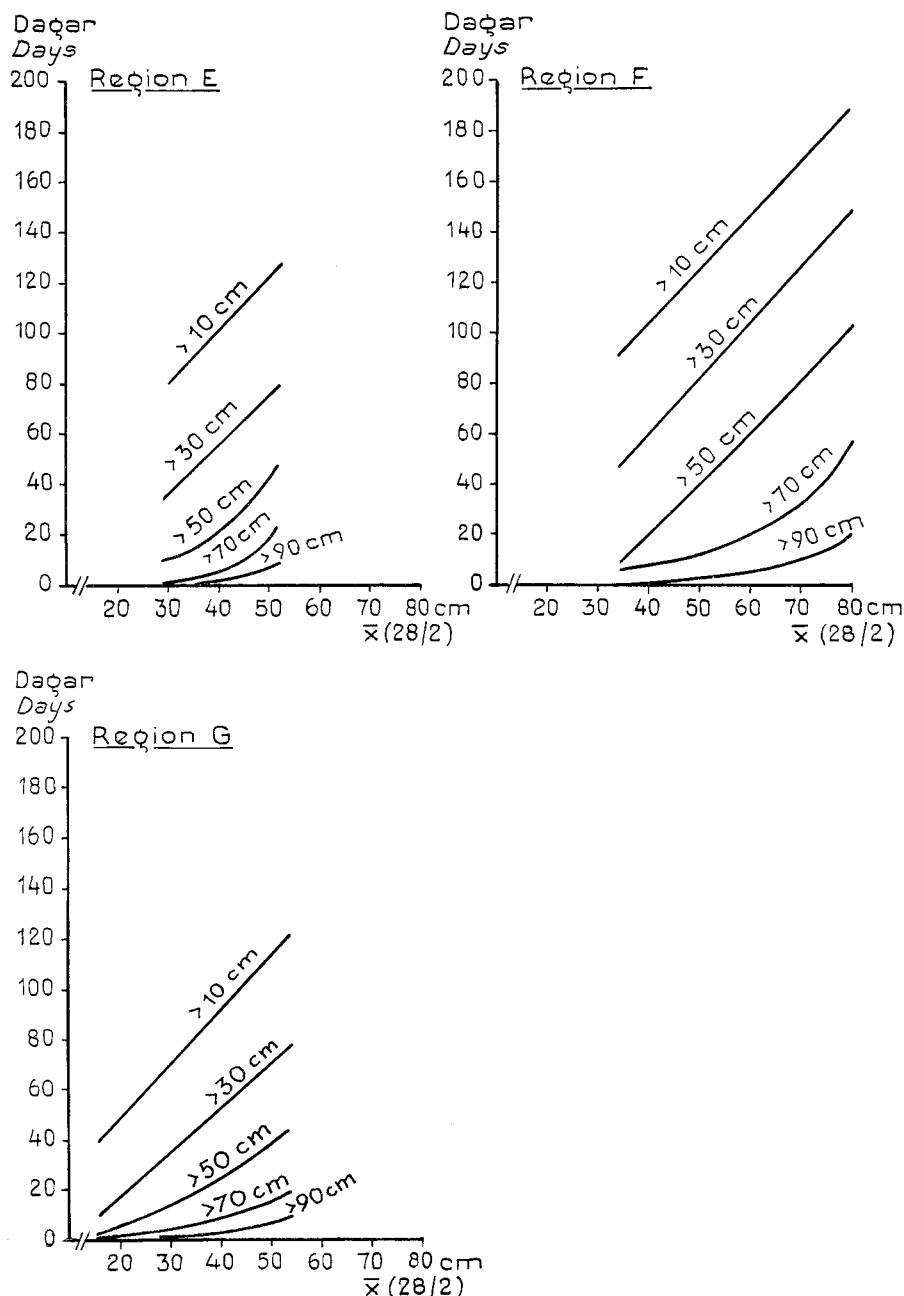


Fig. 5:8 Medelantal dagar per år med snödjup överstigande 10, 30, 50, 70 och 90 cm som funktion av medelsnödjupet ( $\bar{x}$ ) 28/2. Regioner enl. fig. 5:7.

Mean annual number of days with snow depth above 10 cm, 30 cm, 50 cm, 70 cm and 90 cm in relation to the mean snow depth on February 28th [ $\bar{x}(28/2)$ ]. Regionally according to fig. 5:7.

**Bil. 6, forts.**

App. 6, cont'd.



## **Summary**

### **Studies of the Climate in North and Central Sweden**

#### *Introduction*

In this investigation into the climate in North and Central Sweden (Norrland and the provinces of Dalarna and Värmland) preferably such criteria have been studied which significantly influence the production of men and machines and the choice of methods in logging (cutting and transportation of wood). Climatic data may provide an aid i.e. in the planning of logging operations and in the construction of logging equipment.

The basic material used in this study is mainly records made by the Swedish Meteorological and Hydrological Institute. Observations of the snow depth in forest areas carried out during a survey sponsored by the forest employers' associations in the area dealt with were also made available for this study.

It was considered necessary to have a record period of about 30 years and valuable if the international climatological standard period 1931—60 could be used. These specifications were met with as far as the wind and precipitation data were concerned. The material of temperature observations used in this investigation covers the 30-year period of 1929/30—1958/59 and the snow cover material the 28-year period of 1931/32—1958/59. The reason for this was that most of the work on snow and temperature was already carried out during 1959 and 1960. The use of only a 28-year period for snow cover data was due to the fact that going further back in the records involved considerable costs and efforts.

A complete list of tables, figures and plates presented in this thesis is to be found on page 4—7.

#### *Temperature*

Since low temperatures are especially critical for logging operations in Sweden the studies were concentrated to the period of November to April. In consideration of the amount of work of computation the diurnal maximum and minimum temperature was chosen as temperature measure.

Cumulative frequencies for the mean number of days per month with maximum or minimum temperature above or below various values have been established (fig. 2: 2). The relationship shown in fig. 2: 3 between standard deviation of the number of days and the corresponding mean (fig. 2: 2) is approximately valid for any station, month and temperature value occurring in the present study.

The frequency of years with at least one period of a certain length with temperatures below  $-10^{\circ}\text{C}$  and  $\sim 20^{\circ}\text{C}$  is related to the mean number of days per month with temperatures below these values as shown in fig. 2: 5. This relationship is approximately valid for any station in the area and any of the months of November to April.

### Precipitation

In addition to the data on precipitation reported by *Wallén* (1951, 1963), *Bergsten* (1954) and in "Atlas over Sweden" the author carried out only minor studies.

Fig. 3: 1 shows the frequency of years with various monthly precipitation at different mean monthly precipitation. These relationships are approximately valid for any month and station in the region dealt with. If the mean monthly precipitation is known (tab. 3: 1, appendix 2) the probability of getting a certain amount of precipitation in a single month can thus be estimated.

### Wind

Wind observations for the period of 1931—60 from 17 SMHI stations were analysed. At these stations wind velocity is either measured or estimated (cf. tab. 4: 1) at 10 m height above the ground three times a day (7 a.m., 2 and 9 p.m.). The frequency values reported are unweighted mean values of all three diurnal observations.

Frequencies of different wind velocities are shown in tab. 4: 2 and frequencies of different wind directions in tab. 4: 3.

### Snow cover

The snow cover has been subject to quite an extensive study since it has—in this part of the country—greater influence on logging than any other climatic factor. Snow cover observations from 79 SMHI stations and from a relatively dense network of forest tracts have been analyzed. The SMHI material consists of daily observations (of snow depth) at each station during the period of 1931/32—1958/59. The observations from the forest tracts were received from a survey carried out by the forest employers' associations in Norrland, Dalarna and Värmland. The main objective of this survey was to record production of cutters, horses and tractors in logging operations. Different factors, i.e. snow depth and type of snow, were recorded simultaneously. Observations were carried out on 60—80 tracts each winter from 1946/47 to 1955/56. Different tracts were, with minor exceptions, used each winter. Usually the period of observation on a single tract was between one and four months.

For all 79 SMHI stations the following snow cover indices are presented:

- average snow depth in the middle and at the end of each month (tab. 5: 2, appendix 3)
- frequency of years with snow depth exceeding 10, 30, 50, 70, 90 and 120 cm at various dates during the winter (fig. 5: 1, appendix 4)
- average number of days with snow depth larger than 0, 10, 20 ... 100 and 120 cm (tab. 5: 6).

The SMHI stations used in this study are generally located in the agricultural areas of the river valleys. A comparison of the snow depth at SMHI stations and on forest tracts is shown in tab. 5: 4 (appendix 5). The relative figures given are the snow depths at the SMHI stations relative to the snow depth at forest tracts within 30 kilometer distance from the station. At most of the SMHI stations the snow depth is less than on the forest tracts—on the average about 20 % lower.

The aim of this study has been to establish snow cover data valid for forested areas. About 60—80 % of the land area in this part of the country is forested (tab. 5: 1).

In order to get the relation between the 28-year record with continuous observations at the SMHI stations and the one winter records with non-continuous observations at the forest tracts the following calculations were carried out.

First of all isoline maps with mean snow depth on December 15, January 31, February 28, March 31 and April 15 were constructed. For the forest tracts the mean snow depth ( $\bar{h}_{\text{forest}}$ ) on these dates was estimated, using the expression:

$$\bar{h}_{\text{forest}} = \frac{h_{\text{forest}}}{\bar{h}_{\text{SMHI}}} \times \bar{h}_{\text{SMHI}} \text{ where}$$

$h_{\text{forest}}$  = snow depth on given date on the forest tract

$\bar{h}_{\text{SMHI}}$  = snow depth on the same date at the closest SMHI station

$\bar{h}_{\text{SMHI}}$  = mean snow depth 1931/32—1958/59 for this SMHI station

The resulting maps (fig. 5: 2 a—e) picture the snow depth in forested areas.

The greatest amount of observations at forest tracts was available for the date of February 28 (plate I A). It was also found that the following snow cover indices were closely correlated to the mean snow depth on February 28 (plate I B):

- the highest and lowest value as well as the average of the annual maximum snow depth
- the length of the period with snow depth larger than 10, 20, 50, 70 and 90 cm.

The area dealt with in this study was separated into different regions (fig. 5: 7). For each region the correlation between the indices mentioned and the mean snow depth on February 28 was then established for the SMHI material. These relationships and the maps with mean snow depth on February 28—both the isoline maps and the maps containing all points plotted—were then used to construct the isoline maps shown in fig. 5: 5 a—c and plate no. II A—E (in a pocket on the back cover).

The figures 5: 10 and 5: 11 have been established in order to show approximately the probability of getting a certain length of period with snow depth larger than a given value, during a single winter, for any locality in the area if the mean number of days with snow depth larger than this given value is known.

The relationship between snow depth and altitude is presented in figure 5: 13 for a number of forest tracts in the regions shown in fig. 5: 12.

On the forest tracts the snow cover was also classified into five rough classes with regard to its dryness and the way it affected a walking person (cf. fig. 5: 14 and tab. 5: 9).

The denotation "snow crest, not carrying a person" was used when the snow was not hard enough to carry a person but yet so hard that walking was difficult.

